

ФЕДЕРАЛЬНОЕ ГОСУДАРСТВЕННОЕ АВТОНОМНОЕ  
ОБРАЗОВАТЕЛЬНОЕ УЧРЕЖДЕНИЕ ВЫСШЕГО ОБРАЗОВАНИЯ  
«НАЦИОНАЛЬНЫЙ ИССЛЕДОВАТЕЛЬСКИЙ ЯДЕРНЫЙ  
УНИВЕРСИТЕТ «МИФИ»

На правах рукописи  
УДК xxx.xxx

Мамаев Михаил Валерьевич

**ИССЛЕДОВАНИЕ НАПРАВЛЕННОГО ПОТОКА  
ПРОТОНОВ В ЯДРО-ЯДЕРНЫХ СТОЛКНОВЕНИЯХ  
ПРИ ЭНЕРГИЯХ  $E_{KIN} = 1.2 - 4 A$  ГЭВ**

Специальность 1.3.15 —  
«Физика атомного ядра и элементарных частиц. Физика Высоких энергий»

Диссертация на соискание учёной степени  
кандидата физико-математических наук

Научный руководитель:  
к.ф-м. н., доцент  
Тараненко Аркадий Владимирович

Москва — 2024

## Оглавление

	Стр.
<b>Введение . . . . .</b>	<b>5</b>
<b>Глава 1. Коллективная азимутальная анизотропия в</b>	
<b>столкновениях тяжелых ионов . . . . .</b>	<b>11</b>
1.1 Обзор литературы по анизотропии рожденных частиц в	
столкновениях тяжелых ионов . . . . .	11
1.2 Центральность столкновения . . . . .	19
1.3 Коллективные эффекты в столкновениях тяжелых ядер . . . . .	20
1.4 Основыне определения . . . . .	23
1.5 Методы плоскости события и скалярного произведеления . . . . .	24
1.6 Разрешение плоскости симметрии . . . . .	25
1.7 Метод случайных подсобытий . . . . .	26
1.8 Метод трех подсобытий . . . . .	27
1.9 Влияние эффективности на измеренный $v_n$ . . . . .	28
1.10 Влияние азимутальной неоднородности аксептанса детектора . . . . .	29
1.11 Вычисление $Q_1$ при помощи модульных детекторов . . . . .	30
1.12 Выводы к главе 1 . . . . .	31
<b>Глава 2. Экспериментальные установки HADES и BM@N . . . . .</b>	<b>33</b>
2.1 Эксперимент HADES . . . . .	33
2.2 Ускорительный комплекс SIS-18 . . . . .	34
2.2.1 Мишень . . . . .	34
2.2.2 Магнитный спектрометр . . . . .	35
2.2.3 Магнит . . . . .	36
2.2.4 Камеры MDC . . . . .	36
2.2.5 START и VETO детекторы . . . . .	37
2.3 Времяпролётный детекторы TOF и RPC . . . . .	37
2.4 . . . . .	38
2.4.1 Трекинговая система . . . . .	38
2.4.2 Эффективность реконструкции протонов . . . . .	38

2.4.3	Идентификация протонов времяпролётным методом . . . . .	40
2.4.4	Центральность столкновения . . . . .	42
2.4.5	Передний гадоскоп Forward Wall . . . . .	43
2.5	Описание экспериментальной установки BM@N . . . . .	46
2.5.1	Схема установки . . . . .	46
2.5.2	Трекинговая система . . . . .	47
2.5.3	Определение центральности . . . . .	48
2.5.4	Времяпролётные детекторы TOF-400 и TOF-700 . . . . .	49
2.5.5	Передний адронный калориметр FHCAL . . . . .	50
2.6	Выводы к главе 2 . . . . .	52
<b>Глава 3. Экспериментальные методы измерения коллективной анизотропии . . . . .</b>		<b>56</b>
3.1	Эксперимент HADES . . . . .	56
3.1.1	Кинематические области используемые для определения $Q_1$ векторов . . . . .	56
3.1.2	Коррекция азимутальной анизотропии аксептанса детектора . . . . .	56
3.1.3	Вычисление поправочного коэффициента разрешения $R_1$ . .	58
3.2	Эксперимент BM@N . . . . .	61
3.2.1	Кинематические окна, в которых были определены $Q_1$ -вектора . . . . .	61
3.3	Выводы к главе 3 . . . . .	62
<b>Глава 4. Результаты анализа коллективной анизотропии . . . . .</b>		<b>63</b>
4.1	Результаты анализа экспериментальных данных HADES . . . . .	63
4.2	Оценка вклада непотоковых корреляций в значения поправочного коэффициента разрешения $R_1$ . . . . .	63
4.2.1	Сравнение методов плоскости события и скалярного произведения . . . . .	65
4.2.2	Сравнение методов случайных подсобытий и метода трёх подсобытий . . . . .	66
4.2.3	Оценка итоговой систематики в значения $v_1$ от непотоковых корреляций . . . . .	66

4.2.4 Сравнение результатов для $v_1$ протонов с опубликованными данными . . . . .	67
4.2.5 Направленный поток $v_1$ протонов как функции быстроты и поперечного импульса в столкновениях Au + Au и Ag + Ag . . . . .	67
4.2.6 Проверка теоретических предсказаний эффектов масштабирования $v_1$ протонов в реалистичной модели Jet A-A Model (JAM) . . . . .	68
4.2.7 Проверка эффектов масштабирования наклона направленного потока протонов в средних быстротах $dv_1/dy _{y=0}$ . . . . .	69
4.2.8 Эффекты масштабирования для направленного потока $v_1$ протонов как функция поперечного импульса . . . . .	71
4.2.9 Сравнение измеренного наклона направленного потока протонов в средних быстротах с мировыми данными . . . . .	72
4.3 Результаты анализа Монте-Карло моделирования эксперимента BM@N . . . . .	73
4.3.1 Коррекция на азимутальную неоднородность акцептанса установки . . . . .	73
4.3.2 Вычисление разрешения плоскости симметрии . . . . .	74
4.3.3 Исследование возможности измерения направленного и эллиптического потоков в эксперименте BM@N . . . . .	75
4.4 Выводы к главе 4 . . . . .	76
<b>Заключение</b> . . . . .	<b>79</b>
<b>Словарь терминов</b> . . . . .	<b>80</b>
<b>Список литературы</b> . . . . .	<b>82</b>
<b>Список рисунков</b> . . . . .	<b>86</b>
<b>Список таблиц</b> . . . . .	<b>92</b>

## Введение

Уравнение состояния (EOS) - описывает фундаментальные свойства ядерной материи, ее макроскопические свойства, обусловленные лежащими в основе сильными взаимодействиями. Вблизи плотности насыщения ядерной материи  $\rho_0$ ,  $\rho_0 = 0.16^{-3}$ , EOS контролирует структуру ядер через энергию связи и несжимаемость  $K_{nm}$  [B 1]. EOS также определяет толщину нейтронной оболочки в нейтронно-избыточных ядрах, а также свойства ядерной материи при экстремальных плотностях и/или температурах, соответствующих условиям, возникающим в экспериментах со столкновением релятивистских тяжелых ядер или наблюдаемым в нейтронных звездах и слияниях нейтронных звезд. Более того, исследования показывают, что столкновения тяжелых ионов при энергиях пучка  $E_{kin}=1.23-10A$  ГэВ (соответствующих энергиям в системе центра масс  $\sqrt{s_{NN}} = 2.4-5$  ГэВ) и слияния нейтронных звезд обнаруживают сходные температуры ( $T \sim 50-100$  МэВ) и плотности барионов  $\rho \sim (2 - 5)\rho_0$  [2; 3]. Не ограничиваясь описанием свойств материи, состоящей только из протонов и нейтронов, EOS может также отражать появление новых степеней свободы, например, странных частиц в ядрах нейтронных звезд или кварков и глюонов в ультрарелятивистских столкновениях тяжелых ионов. Считается, что столкновения ультра-релятивистских тяжелых ионов на Большом адронном коллайдере (LHC) и релятивистском коллайдере тяжелых ионов (RHIC), где плотность барионов крайне мала, привели к образованию новой формы материи с партонными степенями свободы, обычно называемой сильносвязанной кварк-глюонной материей (КГМ) [4]. После открытия КГМ на коллайдере RHIC в 2005 году изучение уравнения состояния квантовой хромодинамики (КХД) в области высоких барионных плотностей стали главной целью программ сканирования по энергии в экспериментах: STAR на коллайдере RHIC ( $\sqrt{s_{NN}} = 3 - 27$  ГэВ), NA61/SHINE на ускорителе SPS ( $\sqrt{s_{NN}} = 5.2 - 17$  ГэВ) [5], BM@N на ускорителе Nuclotron ( $\sqrt{s_{NN}} = 2.3 - 3.5$  ГэВ) [6] и HADES на ускорителе SIS18 ( $\sqrt{s_{NN}} = 2.3 - 2.55$  ГэВ) [7]. Строящиеся ускорители FAIR ( $\sqrt{s_{NN}} = 3 - 5$  ГэВ) и NICA ( $\sqrt{s_{NN}} = 4 - 11$  ГэВ) позволят изучить область высоких барионных плотностей еще более детально.

Ключевую роль в открытии КГМ и определении ее ключевых транспортных свойств сыграли измерения анизотропных коллективных потоков рожденных адронов. Величина анизотропных потоков определяется коэффициентами ряда Фурье  $v_n$  в разложении азимутального распределения частиц относительно угла плоскости реакции  $\Psi_{RP}$ , определяемой осью пучка и вектором прицельного параметра [8]:

$$\frac{dN}{d\varphi} \propto 1 + 2 \sum_{n=1} v_n \cos(n(\varphi - \Psi_{RP})), \quad (1)$$

где  $n$  – порядок гармоники и  $\varphi$  – азимутальный угол импульса частиц. Коэффициенты потоков  $v_n$  можно определить путем усреднения косинуса разности углов  $(\varphi - \Psi_{RP})$  по частицам и событиям:  $v_n = \langle \cos(n(\varphi - \Psi_{RP})) \rangle$ . Благодаря своей чувствительности к деталям начального состояния сильновзаимодействующей материи и ранним временам столкновения, первые два коэффициента разложения Фурье  $v_1$  (направленный поток) и  $v_2$  (эллиптический поток) являются одними из самых чувствительных к EOS сигналами. Основополагающее ограничение на значения несжимаемости  $K_{nm}$  ядерной материи в диапазоне плотностей  $(2\text{--}5)\rho_0$  было получено путем сравнения измерений направленного ( $v_1$ ) и эллиптического ( $v_2$ ) потоков протонов в Au+Au столкновениях при энергиях  $E_{kin} = 2\text{--}8A$  ГэВ ( $\sqrt{s_{NN}} = 2.7\text{--}4.3$  ГэВ), выполненных экспериментом E895 на ускорителе AGS, с теоретическими предсказаниями [9–11]. Однако, интерпретация данных направленного потока  $v_1$  протонов требует включения в модель “мягкого” EOS с коэффициентом несжимаемости  $K_{nm} \sim 210$  МэВ. Значения для эллиптического потока  $v_2$  лучше согласуются с более “жестким” уравнением состояния  $K_{nm} \sim 380$  МэВ [1]. В дополнение, новые экспериментальные измерения первых двух гармоник коллективных потоков протонов, выполненные экспериментом STAR на коллайдере RHIC для данных энергий, не согласуются с результатами эксперимента E895. Одна из возможных причин различия в результатах измерений может заключаться в том, что стандартный метод плоскости событий для измерений потоков, использовавшийся 15–20 лет назад экспериментом E895, не учитывал влияние непотоковых корреляций на измерения  $v_n$ . К непотоковым корреляциям можно отнести следующие эффекты: адронные резонансы и вклад вторичных частиц, сохранение полного(поперечного) импульса, фемтоскопические корреляции. Высокоточные измерения направленного и эл-

липтического потоков в этой области энергий современными методами анализа подавляющими вклад непотоковых корреляций важны для дальнейшего ограничения значения EOS симметричной сильно-взаимодействующей материи. В 2019 году эксперимент HADES (High Acceptance Di-Electron Spectrometer) [7], расположенный на ускорителе SIS-18 в GSI, набрал порядка 2 млрд событий столкновений Ag+Ag при энергиях  $E_{kin} = 1.23$  АГэВ и  $1.58$  АГэВ ( $\sqrt{s_{NN}} = 2.4$  ГэВ и  $2.55$  ГэВ), которые дополнили существующие данные для столкновений Au+Au при энергии  $E_{kin} = 1.23$  АГэВ. Это позволило впервые провести высокоточные измерения направленного потока  $v_1$  протонов используя современные методики подавляющие вклад непотоковых корреляций. Ожидается, что сравнение результатов измерений для различных сталкивающихся систем при различных энергиях поможет оценить вклад взаимодействия рожденных частиц с нуклонами-спектаторами в наблюдаемые коллективные потоки и получить новые ограничения на значения EOS симметричной материи. В феврале 2023 года закончился набор данных на первом в России эксперименте по изучению столкновений релятивистских ядер BM@N (Барионная Материя на Нуклотроне) на новом ускорительном комплексе NICA (ОИЯИ, Дубна), в ходе которого было набрано порядка 500 М событий столкновений ядер Xe+Cs(I) при энергии  $E_{kin} = 3.8$  АГэВ. Данная работа впервые показала возможности измерения коллективных потоков в эксперименте BM@N, что значительно расширило его физическую программу по изучению EOS материи в области высоких барионных плотностей.

**Целью** работы является экспериментальное исследование коллективной анизотропии протонов в ядро-ядерных столкновениях Au+Au и Ag+Ag при энергиях  $E_{kin}=1.23\text{--}1.58A$  ГэВ ( $\sqrt{s_{NN}}=2.4\text{--}2.55$  ГэВ) в эксперименте HADES (GSI), а также изучение возможности проведения измерений коллективной анизотропии в эксперименте BM@N (NICA, ОИЯИ). Для достижения поставленной цели необходимо решить следующие **задачи**:

1. Усовершенствовать и применить на практике метод измерения коллективных потоков в экспериментах с фиксированной мишенью с учетом неоднородности азимутального аксептанса установки.
2. Разработать метод учета корреляций не связанных с коллективным движением рожденных частиц (непотоковых корреляций) и изучить их влияние на результаты измерения коллективных потоков.

3. Исследовать характеристики направленного потока  $v_1$  протонов в столкновениях Au+Au и Ag+Ag при энергиях  $E_{kin}=1.23\text{--}1.58A$  ГэВ ( $\sqrt{s_{NN}}=2.4\text{--}2.55$  ГэВ) в эксперименте HADES.
4. Произвести сравнение полученных результатов измерения  $v_1$  протонов с теоретическими моделями и данными других экспериментов.
5. Исследовать влияние спектаторов налетающего ядра на формирование  $v_1$  протонов с помощью проверки законов масштабирования коллективных потоков с энергией и геометрией столкновения.
6. Изучить возможности измерения коллективных потоков протонов в эксперименте BM@N.

**Основные положения, выносимые на защиту:**

1. Зависимости коэффициента направленного потока  $v_1$  протонов от центральности столкновения, поперечного импульса ( $p_T$ ) и быстроты ( $y_{cm}$ ) для столкновений Au+Au и Ag+Ag при энергиях  $E_{kin}=1.23\text{--}1.58A$  ГэВ ( $\sqrt{s_{NN}}=2.4\text{--}2.55$  ГэВ) в эксперименте HADES.
2. Метод учета вклада непотоковых корреляций и изучения их влияния на измеренные значения коэффициентов потоков  $v_n$  для экспериментов с фиксированной мишенью в условиях сильной неоднородности азимутального акспектанса установки.
3. Результаты сравнения измеренных значений направленного потока ( $v_1$ ) с расчетами в рамках современных моделей ядро-ядерных столкновений, проверка эффекта масштабирования  $v_1$  с энергией столкновения и геометрией области перекрытия.
4. Получена оценка эффективности измерения коллективных потоков на экспериментальной установке BM@N.

**Научная новизна:**

1. Впервые для экспериментов на фиксированной мишени разработаны и апробированы методы коррекции результатов измерения направленного потока на азимутальную неоднородность акспектанса установки и учета корреляций не связанных с коллективным движением рожденных частиц.
2. Впервые получены новые экспериментальные измерения направленного потока  $v_1$  протонов с учетом вклада непотоковых корреляций для ядро-ядерных столкновений (Au + Au, Ag + Ag) при энергиях  $E_{kin}$

= 1.23-1.58A ГэВ ( $\sqrt{s_{NN}}=2.4\text{-}2.55$  ГэВ), позволяющие оценить вклад нуклонов-спектаторов в коллективную анизотропию частиц.

**Научная и практическая значимость** данной работы заключается в том, что новые прецизионные результаты измерения направленного потока  $v_1$  протонов современными методами анализа позволяющими оценить вклад непотоковых корреляций являются принципиально важными для проверки и дальнейшего развития теоретических моделей ядро-ядерных столкновений, получению новых ограничений на значения EOS симметричной сильно-взаимодействующей материи в области максимальной барионной плотности. Методика измерения коллективных анизотропных потоков, опробованная впервые в эксперименте HADES (ГСИ, Дармштадт), была адаптирована к условиям установки BM@N (NICA, ОИЯИ), и усовершенствована с целью уменьшения систематической ошибки измерения. Методика была апробирована на основе моделирования детектора BM@N и анализа первых физических данных эксперимента по изучению Xe+Cs(I) столкновений при энергии  $E_{kin} = 3.8$  АГэВ. Данные результаты важны и для будущего эксперимента MPD (NICA), который также может работать в mode эксперимента на фиксированной мишени.

**Степень достоверности** полученных результатов подтверждается их согласованностью с опубликованными данными для измерения  $v_1$  протонов в столкновениях Au + Au при энергии 1.23A ГэВ. Результаты измерения для наклона направленного потока  $dv_1/dy|_{y=0}$  в области средних быстрот находятся в хорошем согласии со значениями с других экспериментов (STAR, FOPI) и следуют зависимости от энергии столкновения и законам масштабирования коллективных потоков в данной области энергий. Зависимости направленного потока ( $v_1$ ) протонов от быстроты и поперечного импульса также согласуются с расчетами Монте-Карло моделей со импульсно-зависимым потенциалом [12], такими как JAM и UrQMD. Для разработанных методов измерения коллективных анизотропных потоков была исследована эффективность их измерений в эксперименте BM@N с помощью Монте-Карло моделирования и последующий полной реконструкции событий. Хорошее согласие между величинами  $v_n$ , полученными из анализа полностью реконструированных в BM@N частиц и модельных данных, говорит о высокой эффективности установки для измерения коллективных потоков.

**Апробация работы.** Основные результаты работы докладывались на российских и международных конференциях: Международная конференция «Ядро» (2020, 2021, 2024, Россия), Международный Семинар «Исследования возможностей физических установок на FAIR и NICA» (2021, Россия), Международная научная конференция молодых учёных и специалистов «AYSS» (2022, 2023, ОИЯИ), Международная конференция по физике элементарных частиц и астрофизике «ICPPA» (2020, 2022, Россия), Ломоносовская конференция по физике элементарных частиц (2023, Россия), XXV Международный Балдинский семинар по проблемам физики высоких энергий (2023, ОИЯИ), Международный Семинар «NICA» (2022, 2023, Россия).

**Личный вклад.** Диссертация основана на работах, выполненных автором в рамках международных коллабораций: HADES (GSI) в 2019-2022 гг и BM@N (ОИЯИ) в 2022-2024 гг. Из работ, выполненных в соавторстве, в диссертацию включены результаты, полученные лично автором или при его определяющем участии в постановке задач, разработке методов их решения, анализе данных, а также в подготовке результатов измерений для публикации от лица коллабораций HADES и BM@N. Кроме того, диссидентант принимал участие в наборе экспериментальных данных и контроле их качества.

**Публикации.** Основные результаты по теме диссертации изложены в 8 статьях, которые опубликованы в периодических научных журналах, входящих в базы данных Web of Science и Scopus.

**Объем и структура работы.** Диссертация состоит из введения, четырёх глав, заключения и двух приложений. Полный объём диссертации составляет 92 страницы с 45 рисунками и 0 таблицами. Список литературы содержит 42 наименования.

# Глава 1. Коллективная азимутальная анизотропия в столкновениях тяжелых ионов

## 1.1 Обзор литературы по анизотропии рожденных частиц в столкновениях тяжелых ионов

Уравнение состояния (EOS) - описывает фундаментальные свойства ядерной материи, ее эмерджентные макроскопические свойства, обусловленные лежащими в основе сильными взаимодействиями. Вблизи плотности насыщения ядерной материи  $\rho_0$ ,  $\rho_0 = 0.16^{-3}$ , EOS контролирует структуру ядер через энергию связи и несжимаемость  $K_{nm}$  [1]. EOS также определяет толщину нейтронной оболочки в нейтронно-избыточных ядрах, а также свойства ядерной материи при экстремальных плотностях и/или температурах, соответствующих условиям, возникающим в экспериментах со столкновением релятивистских тяжелых ядер или наблюдаемым в нейтронных звездах и слияниях нейтронных звезд. Более того, исследования показывают, что столкновения тяжелых ионов при энергиях пучка  $E_{kin}=1.23\text{--}10A$  ГэВ (соответствующих энергиям в системе центра масс  $\sqrt{s_{NN}} = 2.4\text{--}5$  ГэВ) и слияния нейтронных звезд обнаруживают сходные температуры ( $T \sim 50\text{--}100$  МэВ) и плотности барионов  $\rho \sim (2\text{--}5)\rho_0$  [2; 3]. Не ограничиваясь описанием свойств материи, состоящей только из протонов и нейtronов, EOS может также отражать появление новых степеней свободы, например, странных частиц в ядрах нейтронных звезд или кварков и глюонов в ультрарелятивистских столкновениях тяжелых ионов. Считается, что столкновения ультра-релятивистских тяжелых ионов на Большом адронном коллайдере (LHC) и релятивистском коллайдере тяжелых ионов (RHIC), где плотность барионов крайне мала, привели к образованию новой формы материи с партонными степенями свободы, обычно называемой сильносвязанной кварк-глюонной материей (КГМ) [4]. Расчеты квантовой хромодинамики (КХД) на решетке указывают на то, что при нулевом значении барионного химического потенциала  $\mu_B = 0$  и температуре порядка  $T \sim 150\text{--}160$  МэВ происходит плавный фазовый переход типа “кроссовер” из состояния адронного газа в состояние КГМ.

В 1955 году Ландау и Беленький [13] впервые применили подход вязкой гидродинамики для описания столкновений тяжелых ионов. В середине 1970-х годов было выдвинуто предположение что динамика столкновений подвержена влиянию "ударных волн которые формируются при пересечении сталкивающихся ионов [14]. Шилд, Мюллер и Грайнер впервые обратили внимание на значимость расширения области перекрытия в направлении поперечном направлению пучка в работе [15]. Авторы пришли к заключению, что образованная материя выталкивается перпендикулярно направлению движения сталкивающихся ионов. Эффекты коллективного движения частиц проявляются относительно плоскости симметрии, определенной направлением прицельного параметра  $b$  и оси пучка  $z$ . Эта плоскость получила название плоскости реакции и общепринятое обозначение  $\Psi_{RP}$ .

Эффект наличия у рожденных в столкновении частиц преимущественно го направления вылета впервые был экспериментально обнаружен на установке Plastic Ball/Wall на Линейном ускорителе Беркли [16]. Ненулевой средний поперечный импульс рожденных частиц направлен в плоскости реакции, перпендикулярно изначальному движению сталкиваемых ионов. Этот эффект получил название "бокового потока"(sideflow).

Преобладание вылета рожденных частиц перпендикулярно плоскости реакции, вдоль оси  $y$  впервые был зафиксирован на эксперименте Diogene в столкновениях с неоновым пучком при энергии  $E_{kin} = 800A$  МэВ [17]. В дальнейшем коллаборация Plastic Ball произвела систематическое исследование этого явления в столкновениях Au + Au при различных энергиях [18; 19].

Средний приобретённый импульс рожденных в столкновении частиц может быть охарактеризован наклоном функции в средних быстротах  $F = d\langle p_x/A \rangle / dy|_{y=0}$ . В последующие годы экспериментальные измерения среднего импульса были выполнены на множестве экспериментальных установок (EOS, FOPI, E877, E917, E895, NA49 и WA98) в большом диапазоне энергий. Коллаборация FOPI произвела систематическое исследование направленного и эллиптического потоков для 25 комбинаций систем (Ca+Ca, Ni+Ni, Xe+CsI, Ru+Ru, Zr+Zr, Au+Au) и энергий ( $E_{kin} = 0.09 - 1.5A$  ГэВ) [20]. На рис. 1.1 приведена экспериментальная зависимость  $F_y$  от энергии столкновения [21]. Наблюдается резкое падение коллективного потока с ростом энергии. Пунктирная линия описывает простое предположение зависимости наклона от времени пролёта

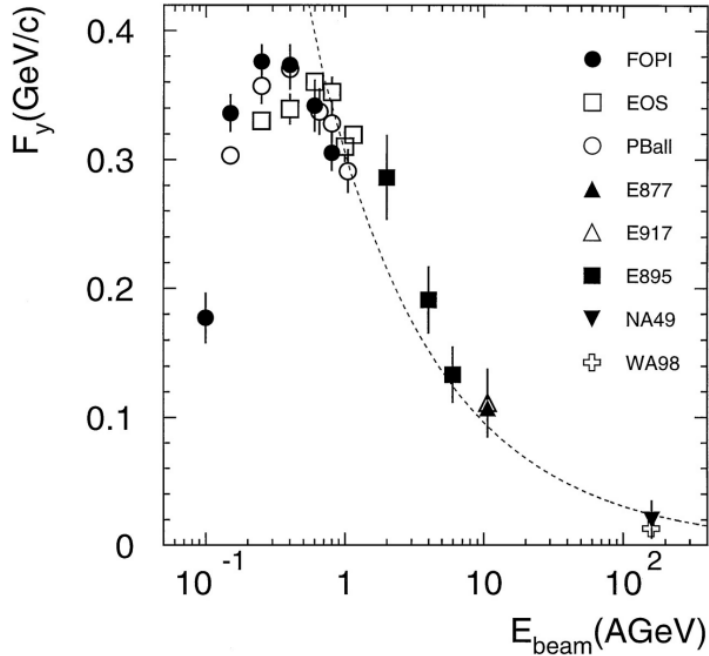


Рисунок 1.1 — Наклон  $F = d\langle p_x/A \rangle/dy|_{y=0}$  как функция энергии столкновения для симметричных систем [21].

столкивающихся ядер:

$$F(y) = P_{eff} \times S \times t_{pass}, \quad (1.1)$$

где  $P_{eff}$  — среднее эффективное давление,  $S$  — площадь эффективной расширяющейся поверхности и  $t_{pass}$  — время пролета. Теоретическое предсказание построено на предположении, что действующая сила  $P_{eff} \times S$  постоянна, а уменьшение передачи импульса происходит только из-за сокращения времени пролёта  $t_{pass}$ . Эта гипотеза довольно хорошо описывает экспериментальные данные при высоких энергиях, однако не учитывает влияние спектаторов, которое существенно при низких.

Волошин и Жанг [22, 23] предложили исследовать импульсную анизотропию рожденных частиц путём разложения азимутального распределения частиц в ряд Фурье:

$$\frac{1}{p_T} \frac{d^3 N}{dp_T dy d\phi} = \frac{1}{2\pi p_T} \frac{d^2 N}{dp_T dy} \left\{ 1 + 2 \sum_{n=1}^{\infty} v_n(p_T, y) \cos[n(\phi - \Psi_R)] \right\}, \quad (1.2)$$

где  $\phi$  — азимутальный угол частицы,  $\Psi_R$  — угол плоскости реакции, определенный вектором при цельного параметра и направлением пучка,  $p_T$  — поперечный импульс и  $y$  — быстрота частицы. Коэффициенты разложения определяются

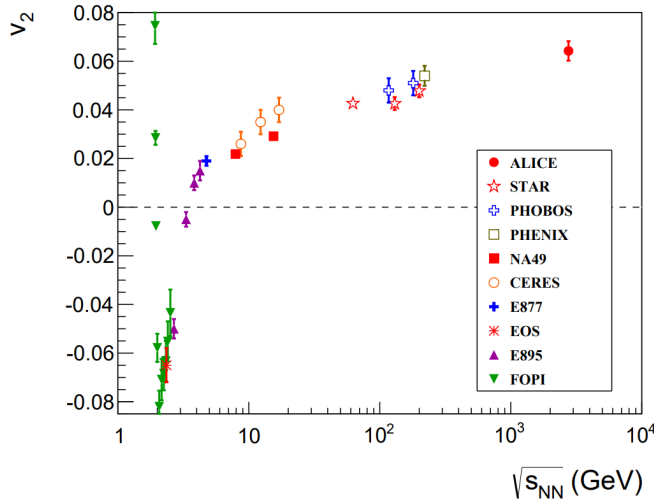


Рисунок 1.2 — Эллиптический поток как функция энергии столкновения [24].

как

$$v_n(p_T, y) = \langle \cos[n(\phi - \Psi_R)] \rangle, \quad (1.3)$$

где угловые скобки означают усреднение по всем частицам и всем событиям.

На рис. 1.2 показана зависимость эллиптического потока  $v_2$  от энергии столкновения для энергий от нескольких МэВ до нескольких ТэВ.  $v_2$  претерпевает две смены знака, начинаясь с положительных значений в области энергий в несколько МэВ на нуклон налетающего ядра. Затем очень быстро снижается, достигая минимума в отрицательных значениях, где доминирует эффект "squeeze-out" из-за взаимодействия области перекрытия с остатками сталкивающихся ядер. С уменьшением времени взаимодействия ( $t_{pass}$ ) области перекрытия со спектаторами и увеличением энергии столкновения,  $v_2$  достигает положительных значений.

После открытия КГМ на коллайдере RHIC в 2005 году изучение природы фазового перехода от адронной материи к КГМ и уравнения состояния квантовой хромодинамики (КХД) в области высоких барионных плотностей стали главной целью программ сканирования по энергии в экспериментах: STAR на коллайдере RHIC ( $\sqrt{s_{NN}} = 3 - 27$  ГэВ), NA61/SHINE на ускорителе SPS ( $\sqrt{s_{NN}} = 5.2 - 17$  ГэВ) [5], BM@N на ускорителе Nuclotron ( $\sqrt{s_{NN}} = 2.3 - 3.5$  ГэВ) [6] и HADES на ускорителе SIS18 ( $\sqrt{s_{NN}} = 2.3 - 2.55$  ГэВ) [7]. Строящиеся ускорители FAIR в GSI ( $\sqrt{s_{NN}} = 3 - 5$  ГэВ) (Дармштадт) и NICA в ОИЯИ ( $\sqrt{s_{NN}} = 4 - 11$  ГэВ) (Дубна) позволяют изучить область высоких барионных плотностей еще более детально.

Транспортные модели описывают распространение частиц в образованной материи при помощи одночастичного потенциала  $U(\rho, p)$ , где  $\rho$  и  $p$  — плотность материи достигнутая в столкновении и импульс частицы. Этот потенциал часто выражается в виде параметризации Скёрма без импульсной зависимости:

$$U(\rho) = a(\rho/\rho_0) + b(\rho/\rho_0)^\sigma \quad (1.4)$$

Параметры  $a$ ,  $b$  и  $\sigma$  подбираются таким образом, чтобы отвечать свойствам системы: энергия связи на нуклон плотность насыщения и несжимаемость материи  $K$ . Несжимаемость материи в ядерной физике определяется следующим образом:

$$K = R^2 \frac{d^2 e / \rho}{d^2 R}, \quad (1.5)$$

где вторая производная берётся в предположении постоянного числа нуклонов и энтропии,  $e$  — плотность энергии и  $R$  — радиус ядра. Предполагается, что коллективное расширение области перекрытия чувствительно к коэффициенту несжимаемости материи  $K$ .

Сравнение теоретических предсказаний с потенциалом (1.4) для среднего импульса  $\langle p_x/A \rangle$  с экспериментальными данными показывает лучшее согласие для очень больших значений  $K \geq 380$  MeV [25; 26]. В то же самое время феноменологический подход с импульсно-зависимым потенциалом, описанный в [27—30] показывает хорошее согласие с данными при относительно небольшой несжимаемости  $K = 215$  МэВ. Хотя теоретические модели с импульсно- зависимым потенциалом  $U(\rho, p)$  довольно хорошо описывают равновесные свойства ядерной материи, они могут довольно сильно различаться между собой в неравновесной фазе столкновения, которая доминирует в начальные моменты реакции. Это может влиять на более поздние этапы столкновения и приводить к различной достигнутой плотности.

Благодаря своей чувствительности к деталям начального состояния сильновзаимодействующей материи и ранним временам столкновения, первые два коэффициента разложения Фурье  $v_1$  (направленный поток) и  $v_2$  (эллиптический поток) являются одними из самых чувствительных к EOS сигналами. При высоких энергиях столкновения  $\sqrt{s_{NN}} > 25$  ГэВ, когда время прохождения сталкивающихся ядер ( $t_{pass} < 1$  фм/с) меньше типичного времени расширение материи в области перекрытия ядер ( $t_{exp}$ ), в гармониках потока доминирует кол-

лективное расширение начального распределения партонной плотности. Время прохождения  $t_{pass}$  зависит от энергии столкновения и размера сталкивающейся системы и его можно оценить как  $t_{pass} = 2R/y_{beam}$ , где  $R$  – радиус ядра и  $y_{beam}$  – быстрота пучка. Для столкновений Au+Au при уменьшении энергии столкновения с  $\sqrt{s_{NN}}=25$  ГэВ до 2.4 ГэВ  $t_{pass}$  увеличивается с 1 фм/с до 18 фм/с. Это увеличивает время взаимодействия рожденных частиц с нуклонами-спектаторами, которые разлетаются преимущественно в плоскости реакции. Время расширения материи  $t_{exp} \sim R/c_s$  определяется ее фундаментальной характеристикой – скоростью звука  $c_s$ , которая определяет связь с EOS. При энергиях  $\sqrt{s_{NN}}=5\text{--}2.4$  ГэВ ( $E_{kin} = 1.23\text{--}10A$  ГэВ) вклад взаимодействия рожденных частиц с нуклонами-спектаторами в наблюдаемые потоки становится значительным. Это приводит к росту сигнала направленного потока  $v_1$  и уменьшению сигнала эллиптического потока  $v_2$  нуклонов с уменьшением энергии столкновения. Величина эллиптического потока, а также энергия, при которой  $v_2$  меняет знак с положительного на отрицательный, неразрывно связаны с жесткостью EOS ( $K_{nm} = 9dp/d\rho|_{s/\rho}$ ): например, более “жесткий” EOS приводит как к более быстрому расширению материи в области перекрытия ядер, так и к более сильному блокированию частиц спектаторами, что приводит к большему выдавливанию материи перпендикулярно плоскости реакции и более отрицательному  $v_2$ . Зависимость направленного потока  $v_1(y)$  от быстроты частиц  $y$  также чувствительна к EOS, поскольку она измеряет степень отклонения нуклонов-спектаторов в плоскости реакции из-за взаимодействия с матерней в области перекрытия. Более “мягкий” EOS приводит к меньшему отклонению и меньшему наклону  $v_1(y)$  в области средних быстрот. Поскольку направленный поток является доминирующим сигналом в области энергий нескольких ГэВ на нуклон и не меняет свой знак, измерения потоков более высоких гармоник часто выполняется относительно плоскости симметрии первого порядка. Основополагающее ограничение на симметричную часть EOS ядерной материи в диапазоне плотностей  $(2\text{--}4.5)\rho_0$  было получено путем сравнения измерений, выполненных экспериментом E895 на ускорителе AGS с теоретическими предсказаниями. Коллективные потоки протонов в Au+Au столкновениях при энергиях пучка  $E_{kin} = 2\text{--}8A$  ГэВ (соответствующих энергиям  $\sqrt{s_{NN}} = 2.7\text{--}4.3$  ГэВ) сравнивались с результатами моделирования адронного транспорта с использованием EOS с различными значениями несжимаемости  $K_{nm}$  [9–11]. Попытка извлечь значение коэффициента

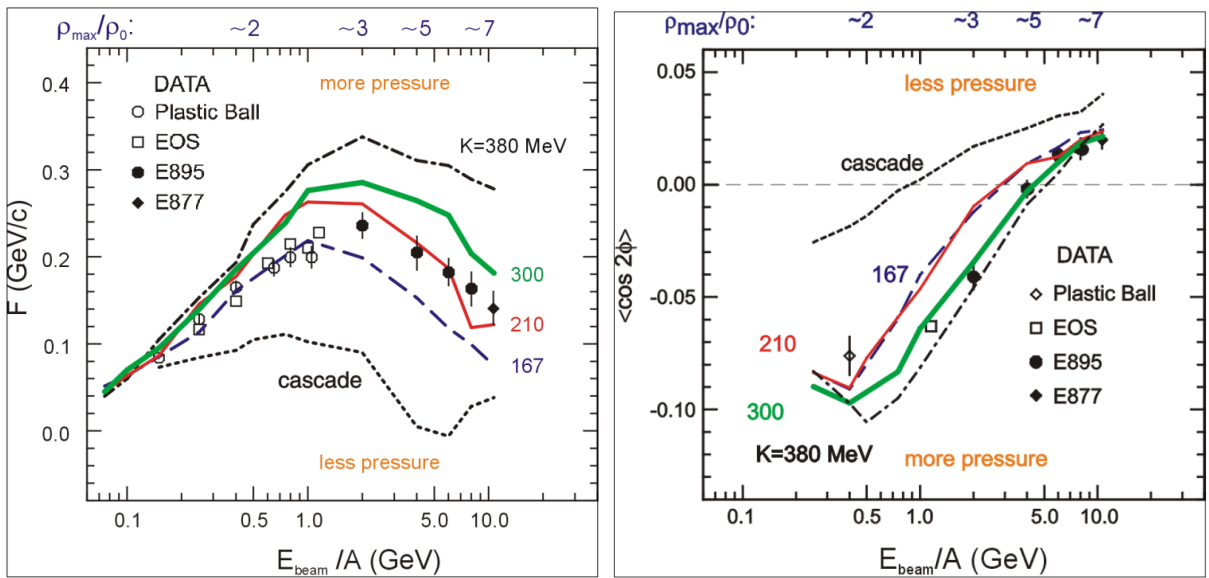


Рисунок 1.3 — Сравнение данных для наклона бокового потока (слева) и эллиптического потока (справа) как функция энергии с теоретическими расчетами для разных значений коэффициента несжимаемости [1].

несжимаемости из данных коллективных потоков была предпринята Данилевичем, Лейси и Линчем в 2002 году [1]. Экспериментальные данные для наклона бокового потока и эллиптического потока были сопоставлены с теоретическими предсказаниями для различных коэффициентов несжимаемости материи  $K$ . Сравнение показано на рис. 1.3. Экспериментальные данные позволили отсечь экстремальные значения коэффициента несжимаемости  $K$ .

Однако, интерпретация данных направленного потока  $v_1$  протонов требует включения в модель “мягкого” EOS с коэффициентом несжимаемости  $K_{nm} \sim 210$  МэВ. Значения для эллиптического потока  $v_2$  лучше согласуются с более “жестким” уравнением состояния  $K_{nm} \sim 210$  МэВ [1]. В дополнение, новые экспериментальные измерения первых двух гармоник коллективных потоков протонов, выполненные экспериментом STAR на коллайдере RHIC для данных энергий, не согласуются с результатами эксперимента E895. Одна из причин различия в результатах измерений может заключаться в том, что стандартный метод плоскости событий для измерения анизотропного потока, использовавшийся 15–20 лет назад экспериментом E895, не учитывал влияние непотоковых корреляций на измерения  $v_n$ . К непотоковым корреляциям можно отнести следующие эффекты: адронные резонансы и вклад вторичных частиц, сохранение полного(поперечного) импульса, фемтоскопические корреляции. Измерение направленного и эллиптического потока в этой области энергий совре-

менными методиками подавляющими вклад непотоковых корреляций важны для того чтобы разрешить имеющуюся неоднозначность. Поэтому высокоточные измерения направленного и эллиптического потока в этой области энергий современными методами анализа подавляющими вклад непотоковых корреляций важны для дальнейшего ограничения значения EOS симметричной сильно-взаимодействующей материи.

В 2017 году эксперимент HADES (High Acceptance Di-Electron Spectrometer) [7], расположенный на ускорителе SIS-18 в GSI, Дармштадт провел набор данных для изучения столкновений Au+Au при кинетической энергии пучка  $E_{kin}=1.23A$  ГэВ ( $\sqrt{s_{NN}} = 2.4$  ГэВ). В дальнейшем в 2019 году эти измерения были дополнены данными по изучению столкновений Ag+Ag при энергиях пучка  $E_{kin}=1.23$  и  $1.58A$  ГэВ. Это позволило впервые провести высокоточные измерения направленного потока  $v_1$  протонов используя современные методики подавляющие вклад непотоковых корреляций. Ожидается, что сравнение результатов измерения направленного потока  $v_1$  протонов для различных сталкивающихся систем при различных энергиях поможет оценить вклад взаимодействия рожденных частиц с нуклонами-спектаторами в наблюдаемые коллективные потоки и получить новые ограничения на значения EOS симметричной материи. В феврале 2023 года закончился набор данных на первом в России эксперименте по изучению столкновений релятивистских ядер на новом ускорительном комплексе NUCLOTRON-NICA (ОИЯИ, Дубна): "Барионная Материя на Нуклотроне"(BM@N), в ходе которого было набрано порядка 500 М событий столкновений ядер Xe+CsI при кинетической энергии пучка  $E_{kin} = 1.23$  АГэВ. Данная работа впервые показала возможности измерения коллективных потоков в эксперименте BM@N, что значительно расширило его физическую программу по изучению EOS материи в области высоких барионных плотностей. Показано, что разработанные и проверенные на экспериментальных данных HADES методики могут быть применены для измерения коллективной анизотропии рожденных частиц на установке BM@N.

## 1.2 Центральность столкновения

В результате столкновения тяжелых ионов, в области перекрытия образуется сильно взаимодействующая материя, свойства которой сильно зависят от размера сталкивающихся ядер, и от энергии столкновения. При столкновении тяжелых ядер, при энергиях в несколько ГэВ на нуклон налетающего ядра, время пролёта ионов сравнимо со временем существования материи в области перекрытия. Процесс столкновения двух ядер можно условно разделить на несколько этапов.

Начальная фаза определяет геометрию столкновения, а именно прицельный параметр  $b$  — расстояние между центрами сталкивающихся ядер, пространственное распределение нуклонов, число нуклонов-партиципантов, испытывающих в ходе столкновения неупругие рассеяния и число нуклонов-спектаторов, взаимодействующих лишь упруго. Экспериментальное измерение прицельного параметра невозможно, поэтому необходима физическая наблюдаемая, по которой можно судить о геометрии столкновения. Этой наблюдаемой является центральность столкновения, как отношение группы событий к данной части полного неупругого сечения взаимодействия:

$$C_S = \frac{1}{\sigma_{inel}^{AA}} \int_{S_1}^{S_2} \frac{d\sigma}{dS} dS, \quad (1.6)$$

где  $C_S$  — центральность столкновения по выбранному эстиматору центральности,  $\sigma_{inel}^{AA}$  — полное сечение неупругого взаимодействия двух ядер,  $S_{1,2}$  — границы класса центральности. В качестве эстиматора класса центральности в эксперименте часто выбирается множественность частиц, либо величина пропорциональная ей. При помощи метода Монте-Карло Глаубера разыгрываются геометрические параметры столкновения, такие как прицельный параметр  $b$ , число партиципантов  $N_{part}$ , число бинарных неупругих рассеяний  $N_{col}$ . Используя отрицательное биномиальное распределение и выход Монте-Карло Глаубера моделирования подбирается множественность рожденных частиц, которая будет аппроксимировать экспериментальное распределение множественности. На основании этого затем определяются классы центральности и извлекаются средние значения геометрических параметров для каждого класса.

### 1.3 Коллективные эффекты в столкновениях тяжелых ядер

При скоростях налетающего ядра, превышающих скорость звука в ядерной материи при обычных условиях ( $\beta_S = 0.2$ ) [31], нуклоны не могут покинуть область перекрытия достаточно быстро, и образуется зона высокой плотности. В зависимости от уравнения состояния, которое связывает давление с плотностью и температурой, материя в зоне перекрытия может достигать условий, которые описываются средней плотностью и температурой. В этих условиях могут быть созданы новые частицы, а их число и характер эмиссии могут быть использованы для исследования глобальных свойств вещества. Отклонение плотным веществом в области перекрытия, остатков налетающего ядра с положительной быстротой происходит в направлении  $+x$ , что приводит к  $\langle p_x \rangle > 0$ , а остатки ядра с отрицательной быстротой отклоняются в направлении  $-x$ , таким образом, имея  $\langle p_x \rangle < 0$ . Таким образом, направленный поток остатков налетающего ядра является положительным для частиц с положительной быстротой и отрицательным для частиц с отрицательной быстротой. Измерения направленного потока частиц, относительно плоскости симметрии определенной спектаторами даёт информацию о времени взаимодействия рожденных частиц с областью перекрытия. Положительный направленный поток частиц относительно плоскости симметрии остатков налетающего ядра говорит о довольно большом времени взаимодействия, при котором материя в области перекрытия успевает смешаться с холодной спектаторной материей. Эллиптический поток  $v_2$  несёт информацию о давлении в области перекрытия сталкивающихся ионов. При энергиях порядка 1 ГэВ, значения  $v_2$  отрицательные относительно плоскости симметрии спектаторов. Остатки сталкивающихся ядер блокируют вылет частиц в плоскости реакции, что определяет вылет частиц перпендикулярно плоскости реакции. Чем выше давление, достигаемое в области перекрытия, тем выше будут значения  $v_2$ . Схематически эти механизмы изображены на рис. 1.4.

Партиципанты, или нуклоны сталкивающихся ядер претерпевают многократные рассеяния. В результате рождаются новые частицы и изменяются импульсы частиц, составляющих материю в области перекрытия. Если время взаимодействия достаточно велико, то материю в области перекрытия можно опи-

$E_{CM}$  small :

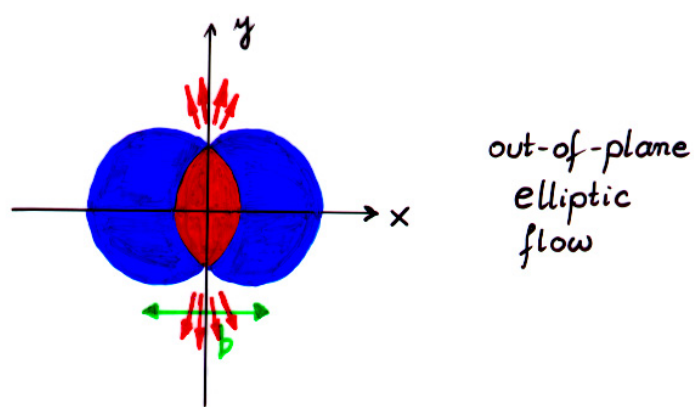
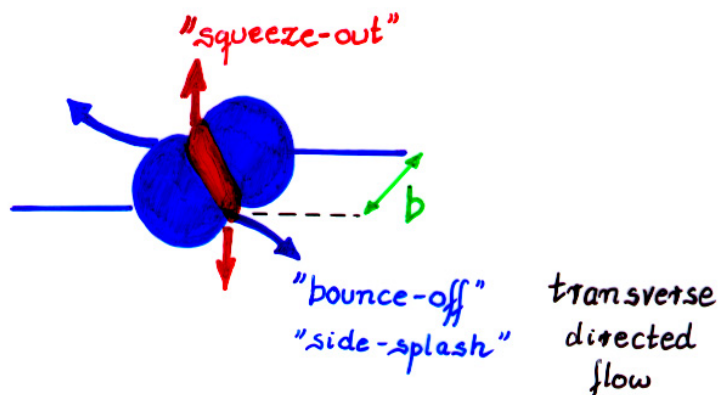


Рисунок 1.4 — Схематичное изображение механизмов рождения направленного (bounce-off) эллиптического (squeeze-out) потоков.

сать при помощи статистических величин: средняя плотность, средняя температура и т.д.. При многократном рассеянии частиц, составляющих материю в области перекрытия, может происходить подпороговое рождение частиц. Сравнивая коллективные потоки различных типов частиц, рожденных в области перекрытия можно судить о степени термализации или релаксации энергии в области перекрытия. Чем ближе потоки различных типов сталкивающихся частиц к среднему значению, тем больше степень термализации материи. По степени термализации можно судить о времени существования материи в области перекрытия.

Реакция и развитие коллективных эффектов останавливаются на стадии столкновения, обычно называемой фриз-аут. В этой фазе плотности достаточно малы, чтобы в течение типичной длины пролета больше не происходило взаимо-

действия. Хотя многие наблюдаемые (например, спектры рожденных частиц) теряют память о начальных условиях во время процесса эволюции, ожидается, что коллективные потоки адронов несут информацию о самых ранних этапах эволюции [21]. Коллективные потоки рожденных в столкновении адронов сильно зависят от начальной геометрии столкновения. Коллективное движение рожденных адронов обусловлено взаимодействием частиц составляющих материю в области перекрытия. Характер этого взаимодействия обусловлен свойствами материи, которые описываются уравнением состояния. Поэтому зная изначальную геометрию столкновения, которая определяется центральностью и измеряя итоговую анизотропию рожденных частиц можно извлечь уравнение состояния сильновзаимодействующей материи.

Коллективное движение частиц приводит к корреляции импульсов рожденных адронов. Таким образом, изучая эту корреляцию, можно количественно оценить коллективные эффекты. Однако это не единственный канал, по которому импульсы рожденных частиц могут быть скоррелированы. К примеру, импульсы частиц, рожденных в слабом или сильном распаде резонанса относятся следующим образом:

$$P = P_1 + P_2, \quad (1.7)$$

где  $P$  — 4-импульс резонанса,  $P_{1,2}$  — импульсы рожденных в распаде частиц. Также в силу сохранения поперечного (полного) импульса системы справедливо следующее соотношение:

$$\sum_{k=1}^N \vec{p_T}^k = 0, \quad (1.8)$$

где  $N$  — множественность рожденных частиц,  $\vec{p_T}^k$  — поперечный импульс  $k$ -й частицы. Корреляция импульсов частиц, рожденной в бинарном столкновении частиц, составляющих материю тоже подчиняется законам сохранения импульса:

$$P_1 + P_2 = P_3 + P_4 + P_5. \quad (1.9)$$

Описанные выше эффекты не имеют отношения к коллективному движению частиц, однако обеспечивают корреляцию импульсов. Такие эффекты носят название непотоковых корреляций и осложняют измерение коллективных эффектов. Поэтому для подавления непотоковых эффектов чаще всего рассматривается корреляция большого количества частиц. Также для подав-

ления корреляций не связанных с коллективным движением частиц можно рассматривать корреляцию областей со значительными разделением по кинематике. Оценка вклада остаточных непотоковых корреляций является важной задачей при измерении коллективных эффектов.

## 1.4 Основные определения

Методы измерения коллективных потоков довольно просто описать в терминах векторов. Для измерения азимутальных потоков каждой частице ставится в соответствие единичный вектор  $\vec{u}_n$  в плоскости поперечной плоскости пучка на основании импульса частицы:

$$\vec{u}_n = (x_n, y_n) = (\cos n\varphi, \sin n\varphi), \quad (1.10)$$

где  $\varphi$  — азимутальный угол частицы,  $n$  — порядок гармоники. При очень большом количестве частиц в одном событии ( $N \gg 1$ ), сумму по всем частицам можно заменить на интеграл:

$$\langle \vec{u}_n \rangle = \sum_{k=1}^N \vec{u}_n = \int_{-\pi}^{\pi} \vec{u}_n \rho[n(\phi - \Psi^R)] d\phi \quad (1.11)$$

Рассмотрим интеграл по  $x$ -компоненте  $u_n$  вектора:

$$\int_{-\pi}^{\pi} x_n \rho[n(\phi - \Psi^R)] d\phi = \int_{-\pi}^{\pi} \cos n(\phi - \Psi^R + \Psi^R) \rho[n(\phi - \Psi^R)] d\phi = V_n \cos(n\Psi^R), \quad (1.12)$$

где  $V_n$  пропорционален множественности частиц  $N$  и значению  $v_n$  для данной группы частиц в данном событии. Аналогичные преобразования можно выполнить и для  $y$ -компоненты  $u_n$ -вектора, получив  $V_n \sin(n\Psi^R)$ . Таким образом, сумма  $u_n$ -векторов в одном событии даёт оценку плоскости реакции события.

Эта оценка, определяемая суммой единичных векторов частиц носит название  $Q_n$ -вектора:

$$\vec{Q}_n = \frac{1}{C} \sum_{k=1}^N w_k u_n^k = \frac{|Q_n|}{C} (\cos(n\Psi_n), \sin(n\Psi_n)), \quad (1.13)$$

где  $k$  — индекс частицы в группе,  $w_k$  — вес  $k$ -го вектора,  $N$  — множественность частиц в группе,  $\Psi_n$  — угол плоскости симметрии данного события и данной гармоники  $n$ ,  $|Q_n|$  — модуль  $Q_n$ -вектора и  $C$  — нормировочный коэффициент. Чем больше число частиц в событии  $N$ , тем ближе оценка угла плоскости симметрии к реальной ориентации плоскости реакции:

$$\lim_{N \rightarrow \infty} \frac{1}{C} \sum_{k=1}^N w_k u_n^k = \frac{|Q_n|}{C} (\cos n(\Psi^R), \sin n(\Psi^R)). \quad (1.14)$$

## 1.5 Методы плоскости события и скалярного произведения

Выбор значения нормировочного коэффициента определяет метод измерения направленного потока. В работе исследуются два метода: плоскости события (EP) и скалярного произведения (SP) [32].

Метод плоскости события (EP) требует такую нормировку, что модуль каждого  $Q_1$ -вектора был равен 1, что соответствует  $C = |Q_n|$ . В работах [33; 34] было показано, что в таком случае, измеренное значение потока  $v_n\{EP\}$  нелинейно зависит от множественности частиц, использованных для вычисления  $Q_n$ -вектора, а также от значения самого потока. В пределе большого количества частиц и большого значения потока ( $v_n\sqrt{M} \gg 1$ ), измеренные значения стремятся к среднему значению  $v_n$ :  $v_n\{EP\} \rightarrow \langle v_n \rangle$ . В случае малого числа частиц, использованных для построения  $Q_n$ -вектора, а также малых значениях потока ( $v_n\sqrt{M} \ll 1$ ), измерения стремятся к корню среднего квадрата  $v_n\{EP\} \rightarrow \sqrt{\langle v_n^2 \rangle}$ . Экспериментально измеренные значения  $v_1\{EP\}$  находятся между двумя пределами:  $\langle v_n \rangle \leq v_n\{EP\} \leq \sqrt{\langle v_n^2 \rangle}$ . В зависимости от реального значения  $v_n$  (который определяется энергией столкновения и размером сталкивающихся ядер) и множественности частиц (которая зависит от энергии, разме-

ра ядер и аксептанса установки), измеренные значения  $v_n\{EP\}$  могут лежать ближе к правому или левому пределам.

Второй метод, скалярного произведения (SP), требует нормировку на сумму весов  $C = \sum_{k=1}^N w_k$ . Модуль  $Q_n$ -вектора сохраняет информацию о множественности частиц, использованных для его построения, а также их  $v_n$ :  $|Q_n| \propto v_n M$ . Использование такой нормировки дает значения  $v_n\{SP\} \rightarrow \sqrt{\langle v_n^2 \rangle}$  независимо от измеренной множественности частиц, а также их  $v_n$ .

Несмотря на известные недостатки метода плоскости события, он до сих пор активно используется, поскольку более прост в реализации. В частности, измерения коэффициентов коллективных потоков  $v_n$  в коллаборации HADES [35] были выполнены методом плоскости события. В работе была произведена оценка систематической ошибки на измеренные  $v_n$ , путём сравнения результатов полученных методами скалярного произведения и плоскости события [32].

## 1.6 Разрешение плоскости симметрии

Экспериментально направленный поток можно определить как проекцию  $u_n$ -вектора частиц на плоскость симметрии события:

$$v'_n = \langle u_n Q_n \rangle = V_n \langle \cos(n\phi) \cos(n\Psi_n) \rangle + V_n \langle \sin(n\phi) \sin(n\Psi_n) \rangle, \quad (1.15)$$

где диагональные члены равны нулю в силу симметрии столкновения, а коэффициент  $V_n$  появляется в силу усреднения модулей вектора  $Q_n$ . Раскрывая тригонометрические выражения в угловых скобках, можно получить:

$$\langle \cos(n\phi) \cos(n\Psi_n) \rangle = \langle \cos n(\phi - \Psi_n) \rangle = \langle \cos n(\phi - \Psi_n + \Psi^R - \Psi^R) \rangle = \langle \cos n(\phi - \Psi^R) \cos n(\Psi_n - \Psi^R) \rangle. \quad (1.16)$$

Аналогичные преобразования можно выполнить и для синусов. Измеренные значения направленного потока имеют вид:

$$v'_n = \langle u_n Q_n \rangle = V_n \langle \cos n(\phi - \Psi_n) \cos n(\Psi_n - \Psi^R) \rangle. \quad (1.17)$$

Поскольку вычисленная плоскость симметрии столкновения  $\Psi_n$  лишь приблизительно описывает ориентацию плоскости реакции  $\Psi^R$ , значение  $\langle \cos(\Psi_n - \Psi^R) \rangle \neq 1$ . Флуктуации распределения энергии в сталкивающихся ядрах приводят к систематической разнице плоскостей симметрии и реакции, как показано на рис. 1.5. Поэтому измеренные значения  $v'_n$  будут отличаться от действительных. Для коррекции этого эффекта, необходимо ввести поправочный коэффициент разрешения:

$$R_n = V_n \langle \cos n(\Psi_n - \Psi^R) \rangle. \quad (1.18)$$

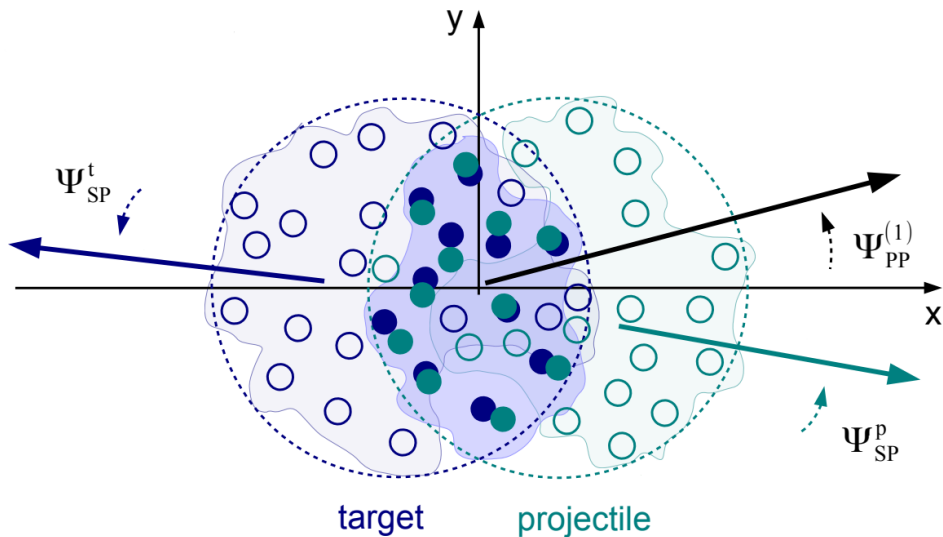


Рисунок 1.5 — Схематическое представление сталкивающихся ядер в плоскости перпендикулярной направлению пучка.

Скорректированные на разрешение значения  $v_1$  могут быть записаны следующим образом:

$$v_n = \frac{\langle u_n Q_n \rangle}{R_n}, \quad (1.19)$$

## 1.7 Метод случайных подсобытий

Для вычисления  $R_n$  в эксперименте, можно воспользоваться попарными корреляциями  $Q_n$ -векторов (преобразование выполнено аналогично уравнению

(1.17)):

$$\langle Q_n^a Q_n^b \rangle = V_n^a V_n^b \langle \cos n(\Psi_n^a - \Psi^R) \cos(\Psi_n^b - \Psi^R) \rangle, \quad (1.20)$$

где индексами  $a$  и  $b$  обозначены две различных группы частиц, в каждой из которых  $Q_n$ -вектор вычислялся независимо.

Наиболее простым методом вычисления разрешения является метод двух подсобытий:

$$R_n\{a,b\} = \sqrt{\langle Q_n^a Q_n^b \rangle} = \sqrt{V_n^2 \langle \cos^2(\Psi_n^{a,b} - \Psi_R) \rangle}, \quad (1.21)$$

где индексами  $a$  и  $b$  обозначены две группы частиц, идентичные по множественности и значению  $v_n$ , в которых  $Q_n$ -вектор вычислялся независимо. В колайдерных экспериментах, в качестве подсобытий  $a$  и  $b$  могут быть выбраны частицы в диапазонах по быстроте, симметричных относительно нуля. В экспериментах с фиксированной мишенью, где такое выполнить невозможно, иногда пользуются методом, называемым метод случайных подсобытий. Подсобытия  $a$  и  $b$  набираются случайным образом из частиц в данном кинематическом окне. Этот метод прост в исполнении, однако корреляция  $Q_1$ -векторов из одной кинематической области может быть подвержена довольно большому вкладу непотоковых корреляций [32]. Экспериментальные значения  $v_n$ , полученные коллаборацией HADES [35] измерены, используя метод случайных подсобытий для коррекции на разрешение плоскости симметрии. Вычисляя  $R_n$  отличным от использованного коллаборацией HADES методом, предлагается оценить вклад непотоковых корреляций в измеренные значения  $v_n$  [Мамаев:2020; 32].

## 1.8 Метод трех подсобытий

Комбинируя различные попарные корреляции векторов, можно вычислить разрешение плоскости симметрии для данного  $Q_n$ -вектора:

$$R_n\{a(b,c)\} = \sqrt{\frac{\langle Q_n^a Q_n^b \rangle \langle Q_n^a Q_n^c \rangle}{\langle Q_n^b Q_n^c \rangle}}, \quad (1.22)$$

где  $a$ ,  $b$  и  $c$  — три различных группы частиц, в каждой из которых  $Q_1$ -вектор вычислялся независимо. Этот метод вычисления  $R_n$  носит название метод трёх подсобытий. Метод трёх подсобытий не накладывает ограничений на множественность частиц в каждой группе, что даёт большую свободу в выборе кинематических диапазонов для определения  $Q_n$ . Корреляции  $Q_n$ , рассчитанных в близких кинематических диапазонах всё еще могут быть подвержены вкладу корреляций, не относящихся к коллективному движению частиц. Это может приводить к неверному расчету значений поправочного коэффициента  $R_n$ . Автором предлагается исследовать связанные с этим систематическую ошибку путем сравнения  $R_n$ , полученного с использованием различных комбинаций  $Q_1$  (к примеру  $R_1\{a(b,c)\}$  и  $R_1\{a(b,d)\}$ ). Эффекты не связанные с коллективным движением частиц могут вносить вклад в корреляцию между  $u_n$ -векторами частиц и  $Q_n$ -векторами плоскости симметрии. Сравнения  $v_n$ , полученные относительно различных плоскостей симметрии (к примеру,  $v_n\{a\}$  и  $v_n\{b\}$ ), предлагаются вычислить вклад непотоковых корреляций в результаты для коллективного потока [36—39].

## 1.9 Влияние эффективности на измеренный $v_n$

Коллективная анизотропия рожденных в столкновении частиц обычно измеряется дифференциально как функция центральности, поперечного и быстроты. Неоднородная эффективность детектора в зависимости от этих переменных может приводить к неправильным значениям потоков при усреднении по этим переменным: К примеру, при интегрировании по поперечному импульсу в границах  $p_T^{1,2}$ , при наличии неоднородной эффективности по поперечному импульсу  $e(p_T)$  не будет совпадать с реальным значением потока:

$$v_n(p_T^1, p_T^2) \neq \int_{p_T^1}^{p_T^2} e(p_T) v_n(p_T) dp_T \quad (1.23)$$

Для коррекции на этот эффект, обычно функция  $e(p_T, y)$  вычисляется из реалистичного Монте-Карло моделирования детектора и значения потока расчи-

тываются с весом, обратным этой эффективности:

$$v_n = \frac{\int dp_T \int dy v_n(p_T, y) \frac{1}{e(p_T, y)}}{\int dp_T \int dy \frac{1}{e(p_T, y)}} \quad (1.24)$$

## 1.10 Влияние азимутальной неоднородности аксептанса детектора

Значительный вклад в результаты измерения азимутальных потоков может вносить неоднородность аксептанса детектора. Азимутальная анизотропия аксептанса искажает распределение  $u_1 Q_1$ -векторов, которые в идеальном случае должны быть равномерными. Для коррекции этого эффекта был использован метод, описанный в работе [40]. Поскольку плоскость реакции распределена равномерно, в пределах большого количества столкновений формулу (1.25) можно преобразовать следующим образом:

$$v_n = 2 \frac{\langle x_n X_n \rangle}{R_n^X} = 2 \frac{\langle y_n Y_n \rangle}{R_n^Y}, \quad (1.25)$$

где  $x_n$  и  $y_n$  — компоненты  $u_n$ -вектора,  $X_n$  и  $Y_n$  — компоненты  $Q_n$ -вектора и  $R_n^{X,Y}$  — разрешение плоскости симметрии, вычисленное при помощи корреляций компонент  $Q_n$ -векторов. Азимутальная неоднородность детектора нарушает это равенство.

Основные эффекты, вызываемые неоднородностью аксептанса могут быть выражены в следующем:

1. Сдвиг  $u_1 (Q_1)$  вектора из-за ненулевых средних значений компонент:

$$\langle x_1 \rangle \neq 0, \langle y_1 \rangle \neq 0 \quad (1.26)$$

Коррекция на этот эффект носит название перецентровки.

2. Поворот  $u_1 (Q_1)$  векторов. Коррекция на этот эффект называется коррекцией поворота
3. Сужение/Расширение распределения компонент  $u_1 (Q_1)$  вектора. Коррекция носит название ремасштабирования.

Ранее описанные выше методы коррекции применялись лишь на коллайдерных экспериментах с относительно однородным акцептантом. Впервые коррекции рецентровки, поворота и ремасштабирования будут применяться автором для коррекции сильно неоднородного акцептанса установок HADES и BM@N. Систематический вклад остаточной азимутальной неоднородности акцептанса детектора предлагается оценить путём сравнением результатов полученных с использованием различных компонент  $u_1$  и  $Q_1$ -векторов [36; 38].

## 1.11 Вычисление $Q_1$ при помощи модульных детекторов

В данной работе для восстановления плоскости симметрии используются фрагменты ядра, которые взаимодействовали с областью перекрытия лишь упруго (спектаторы). Спектаторные фрагменты отталкиваются областью перекрытия в плоскости реакции (см. 1.5), поэтому могут быть использованы для реконструкции плоскости симметрии. Часто в экспериментах по столкновению тяжёлых ионов регистрация спектаторных частиц выполняется при помощи передних детекторов, имеющих модульную структуру. В таком случае  $Q_n$ -вектор будет определяться суммарной азимутальной анизотропией распределения сигнала по модулям:

$$Q_n = \frac{1}{C} \sum_{k=1}^M w_k (\cos n\varphi, \sin n\varphi), \quad (1.27)$$

где  $k$  — индекс модуля,  $M$  — число модулей, использованных в построении  $Q_n$ -вектора,  $w_k$  — сигнал в данном модуле,  $\varphi$  — азимутальный угол данного модуля. Нормировочный коэффициент  $C$  может также принимать значения  $C = |Q_1|$  (метод плоскости события) или  $C = \sum_{k=1}^M w_k$  (метод скалярного произведения). Взвешивание на сигнал в данном модуле необходимо, поскольку в один и тот же модуль могут попасть более одной частицы. Корреляции между  $Q_n$ -векторами, определёнными из разных групп модулей одного детектора также могут быть подвержены непотоковым корреляциям. К примеру, между соседними модулями может происходить перетекание сигнала вследствие конструкционных особенностей детектора (например, в адронных калориметрах присутствует поперечное распространение ливней). Также при распаде оскол-

ков сталкивающихся ядер, фрагменты могут вызвать отклик соседних модулей, что снова приведёт к корреляциям между модулями, которые не относятся к коллективному движению частиц. Такие корреляции могут искажать значения разрешения  $R_n$ , полученного лишь при помощи  $Q_n$ -векторов из передних детекторов. Автором предлагается дополнительно определить определить  $Q_n$ -вектора из треков рожденных частиц. Это позволит внести значительное разделение между  $Q_n$ -векторами из передних детекторов и треков частиц. Комбинируя различные группы  $Q_n$ -векторов, возможно оценить вклад непотоковых корреляций в значения  $R_n$  для плоскостей симметрии спектаторов [37–39].

## 1.12 Выводы к главе 1

В главе был приведён обзор существующей литературы по коллективной анизотропии рожденных в столкновении частиц. Были описаны основные механизмы образования коллективной анизотропии и представлены обоснования необходимости ее измерения. В главе изложены основные методы измерения коллективной анизотропии рожденных в столкновении частиц. Определены единичный вектор частиц  $u_n$  и вектор плоскости симметрии события  $Q_n$ . Приведены экспериментальные методы оценки плоскости реакции и измерения коэффициентов коллективного потока  $v_n$  в терминах  $u_n$  и  $Q_n$  векторов. В главе обсуждаются преимущества и недостатки методов плоскости события и скалярного произведения для оценки коллективных потоков. Автором предлагается оценить систематическую ошибку измерения коэффициентов  $v_n$  методом плоскости события, полученных коллаборацией HADES, путём сравнения со значениями, полученными методом скалярного произведения. Описаны методы вычисления поправочного коэффициента разрешения, такие как метод случайных подсобытий и метод трёх подсобытий. В главе обсуждается вклад непотоковых корреляций в вычисленные значения  $R_n$  для методов случайного подсобытия и метода трёх подсобытий. Автор диссертации предлагает сравнивать разрешение  $R_n$ , полученное с использованием различных комбинаций  $Q_n$ -векторов для оценки и минимизации вклада непотоковых корреляций в коэффициент разрешения. Сравнивая  $v_n$ , полученный относительно различных плоскостей симметрии  $Q_n$

предлагается оценить систематическую ошибку для измеренных значений коллективных потоков. В главе обсуждается влияние неоднородности азимутального акцептанса детектора в измерения  $v_n$ . Автором предлагается использовать коррекции, ранее опробованные на относительно однородном акцептансе колайдерных установок, для устранения эффектов сильно неоднородного акцептанса экспериментов с фиксированной мишенью. Автор диссертации излагает особенности оценки плоскости реакции при помощи спектаторных передних детекторов, имеющих модульную структуру. Приводится описание эффектов, влияющих на корреляцию между  $Q_n$ -векторами из модульных детекторов. Автором предлагается метод учёта этих эффектов при вычислении коэффициента разрешения  $R_n$ .

## Глава 2. Экспериментальные установки HADES и BM@N

### 2.1 Эксперимент HADES

HADES (High Acceptance DiElectron Spectrometer) является многофункциональной экспериментальной установкой на фиксированной мишени. Установка базируется на отдельном выводе ускорителя SIS-18 в центре по изучению тяжелых ионов имени Гельмгольца ГСИ, в городе Дармштадт. Физическая программа установки состоит из экспериментов по столкновению как адронов так и тяжелых ядер и направлена на изучение механизмов образования странных частиц и роли барионных резонансов в этих процессах. Схема экспериментальной установки приведена на рис. 2.1 [7]. Эксперимент состоит из 6 секторов, которые расположены радиально симметрично относительно оси пучка.

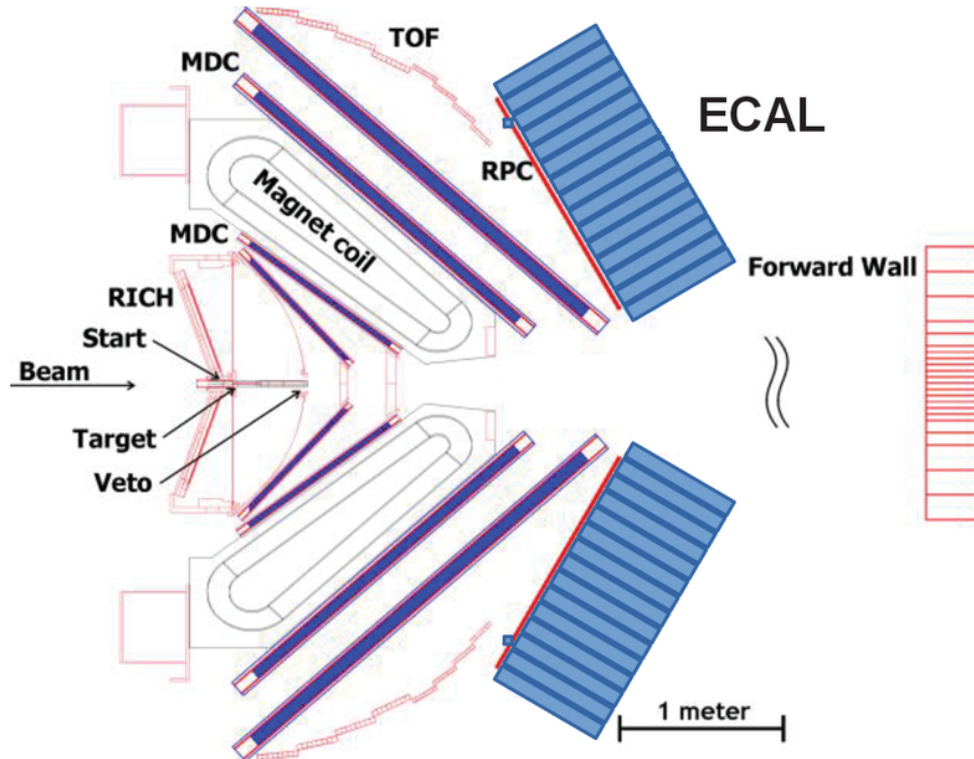


Рисунок 2.1 — Схема эксперимента HADES

## 2.2 Ускорительный комплекс SIS-18

Ускорительный комплекс SIS-18 состоит из линейного ускорителя UNILAC и синхротрона тяжелых ионов SIS-18. Линейный ускоритель UNILAC способен разгонять ионы в широком диапазоне массовых чисел: от протонов до ядер урана. Ускоритель оборудован инжектором ионов VARIS (Vacuum Arc Ion Source), способного достигать силы тока ионов до 6 мА. При помощи вакуумно-дугового разряда тяжелые ионы испаряются с поверхности источника, а затем разделяются с помощью масс-спектрометра в подсистеме LEBT (Low Energy Beam Transport system). Затем ионы тяжелых ядер с энергией 2.2A кэВ транспортируются в инжектор High Current Injector, в котором они разгоняются до энергий 1.4A МэВ и полностью лишаются электронной оболочки с помощью сверхзвукового потока газа. В дальнейшем полностью ионизированные тяжелые ядра при энергии 11.4A МэВ подаются на вход синхротрона SIS-18.

Максимальная магнитная жесткость синхротрона достигает 18 Тм, что позволяет разогнать ядра  $Au^{69+}$  до 1.25A ГэВ,  $Ag^{47+}$  до 1.5A ГэВ и протоны до 4.5A ГэВ. Длина синхротронного кольца составляет 217 м. Кольцо разделено на 12 идентичных секций. Каждая секция состоит из двух дипольных магнитов для отклонения пучка, трех квадрупольных магнитов и одного секступольного магнита для фокусировки пучка. После синхротрона ускоренные тяжелые ядра подаются на вход эксперимента HADES.

### 2.2.1 Мишень

Мишень, на которой происходит взаимодействия ускоренных ядер представляет из себя 15 каптоновых полосок, закрепленных на углеволоконной трубке. На каптоновые полоски толщиной 7 мкм наклеены диски из золота (серебра) толщиной 25 мкм. Расстояние между полосками составляет 4 мм. Общая толщина мишени — 375 мкм, что соответствует общей вероятности взаимодействия в 1.5%. Фотография мишени приведена на рис. 2.2.

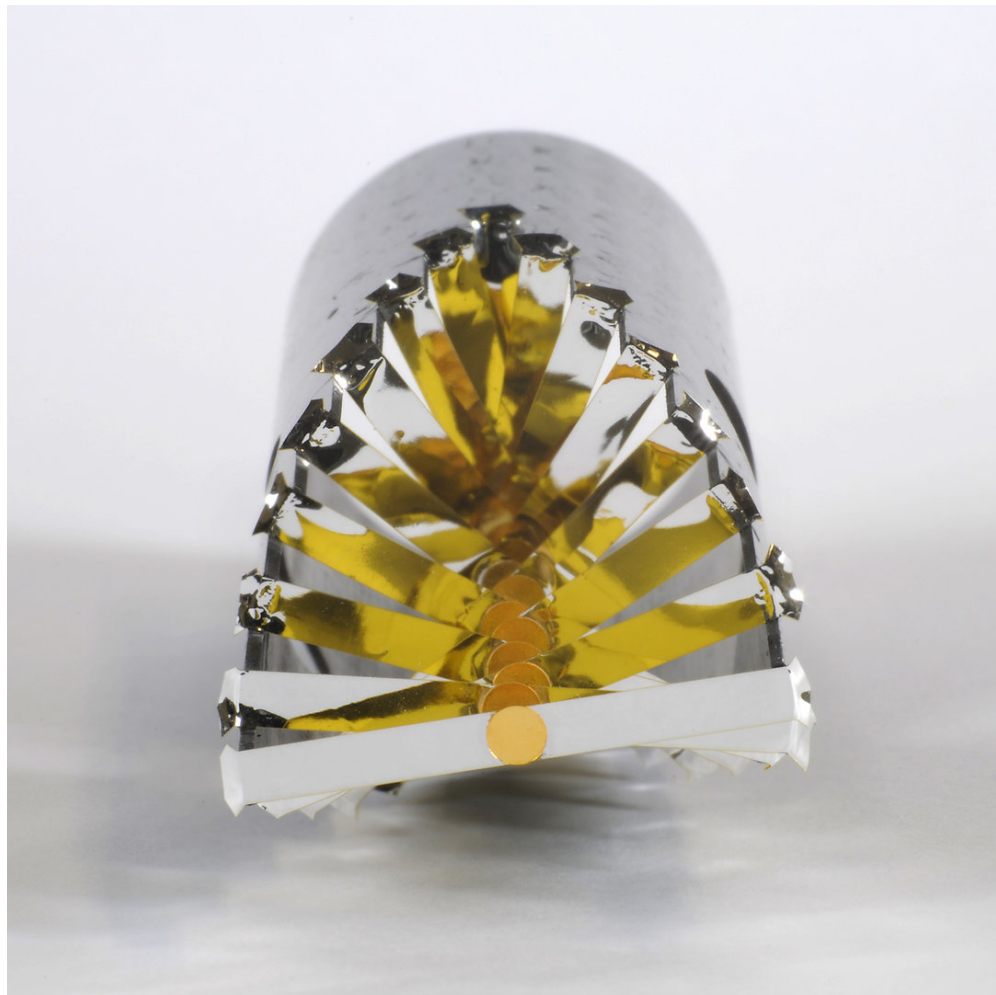


Рисунок 2.2 — Фотография мишени для

### 2.2.2 Магнитный спектрометр

Магнитный спектрометр состоит из 6 тороидальных сверхпроводящих магнитов и 24 многопроволочных камер (MDC). В каждом из 6 секторов две плоскости MDC располагаются до магнита и 2 — после. Реконструкция импульса производится посредством итеративного решения уравнения движения частиц в локальном магнитном поле при помощи метода Рунге-Кутта. Заряд частицы определяется по отклонению частицы в магнитном поле: положительно заряженные частицы отклоняются в сторону оси Z, отрицательно заряженные — против. Реконструкция импульса может выполняться для большого окна полярных углов в широком диапазоне  $p$ : от 0.1 до 2 ГэВ/с. Магнитное поле позволяет измерять импульсы заряженных частиц с разрешением для электронов с энергией 0.15 МэВ  $\Delta p/p \sim 2\%$  и протонов с энергией около 1 ГэВ  $\Delta p/p \sim 4\%$ .

### 2.2.3 Магнит

Магнитное поле создаётся при помощи сверхпроводящего магнита ISLE, который состоит из 6 секторов, которые в первом приближении отклоняют заряженные частицы в полярном направлении. При максимальной силе тока  $I=3500$  А максимум магнитного поля в 3 Тл достигается на краях магнита, а в центре сектора составляет 0.9 Тл. Магнит фокусирует положительно заряженные частицы в направлении оси Z. Сверхпроводящие катушки состоят из ниобий-титанового сплава, инкапсулированного в медную матрицу. Медная матрица необходима для механической стабильности конструкции. Вся сборка упакована в катушки, окруженные аллюминиевым корпусом, который предотвращает механические повреждения в случае внезапного отключения магнитного поля. Катушки окружены системой охлаждения работающей на жидком азоте при температуре 85 К. Токопроводящие элементы дополнительно охлаждаются однофазным гелием при температуре 4.7 К при давлении 2.8 бар.

### 2.2.4 Камеры MDC

Площадь чувствительного материала внутренних камер составляет  $0.35\text{ m}^2$ , а внешних —  $3.21\text{ m}^2$ . Наименьшая чувствительная единица называется чувствительной ячейкой и представляет из себя плоскость с одним чувствительным и двумя потенциальными проволоками. Катод и анод сделаны из отожженного аллюминия, а чувствительная проволока — из покрытого золотом вольфрама. Каждая секция состоит из порядка 1100 чувствительных ячеек, организованных в 6 слоёв, каждый из которых повернут на 20 градусов друг относительно друга ( $\pm 0^\circ$ ,  $\pm 20^\circ$ ,  $\pm 40^\circ$ ). Такая организация чувствительного объема позволяет достичь равномерного разрешения по азимутальному ( $85\text{-}125\text{ мкм}$ ) и полярному ( $35\text{-}50\text{ мкм}$ ) углам. Первый слой MDC заполнен смесью газов Ar+CO<sub>2</sub> в пропорциях 70:30. Оставшиеся три слоя работают на смеси аргона и изобутана. Заряженная частица, пролетая через чувствительную зону детектора ионизирует газ, и высвобожденные электроны дрейфуют в сторону чувствительной прово-

локи. Собранный заряд детектируется и восстанавливается пространственная координата в которой произошла ионизация газа.

### 2.2.5 START и VETO детекторы

START и VETO детекторы предназначены для детектирования событий столкновения ядер. START и VETO используются для регистрации времени столкновения  $T_0$  и выработки триггеров. Совместно с времяпролётными детекторами TOF и RPC, START и VETO позволяют измерять время пролёта заряженных частиц. Детектор VETO был разработан для подавления эффекта pile-up, когда на мишени происходит более одного взаимодействия. Детектор имеет малую толщину, приблизительно 60 мкм, и состоит из алмазов, покрытых тонкой плёнкой металла. START детектор в свою очередь собран из алмазов с металлическим напылением, нанесенных тонким слоем на полоски из хромированного золота. Всего 16 полосок шириной 200 мкм с интервалом в 90 мкм обеспечивают высокую точность регистрации налетающего ядра по  $x$  и  $y$ .

## 2.3 Времяпролётный детекторы TOF и RPC

Времяпролётный детектор TOF состоит из 384 сцинтилярных стержней из поливинилтолуола, который обладает малой длиной ослабления света, высоким сцинтиляционным выходом и коротким временем распада. Поперечные размеры внутренних стержней составляют  $20 \times 20$  мм<sup>2</sup> и внешних –  $30 \times 30$  мм<sup>2</sup>. Проходя через сцинтиляционный стержень, заряженная частица возбуждает атомы чувствительного материала, которые затем возвращаются в основное состояние через эмиссию света. Излученный свет распространяется в оба конца детектора, где считывается при помощи двух фотоумножителей. По разности времён регистрации света на двух концах сцинтиляционного стержня затем рассчитывается  $x$ -координата попадания частицы. Также по амплитуде сигна-

ла рассчитываются энергопотери заряженной частицы при прохождении через материал детектора.

## 2.4

### 2.4.1 Трекинговая система

Трекинговая система HADES, предназначенная для реконструкции траекторий заряженных частиц, состоит из четырёх плоскостей многопроволочных дрейфовых камер (MDC). Для измерения импульса заряженных частиц, между второй и третьей плоскостями, располагается сверхпроводящий магнит, отклоняющий проходящие через него частицы. На рис. 2.3 схематически изображена трекинговая система эксперимента HADES. Треки заряженных частиц совмещаются из траекторий в плоскостях I и II, и III и IV методом Рунге-Кутта. Импульс заряженной частицы восстанавливается по отклонению в магнитном поле между плоскостями II и III

Азимутальный аксептанс трекинговой системы в зависимости от быстроты частицы приведён на рис. 2.4. Азимутальный аксептанс трекинговой системы не является однородным, поскольку стыки секций трекинговой системы не способны регистрировать заряженные частицы. Неоднородность увеличивается с ростом быстроты, поскольку площадь нечувствительного объёма по отношению к чувствительному уменьшается с ростом полярного угла  $\theta$ .

### 2.4.2 Эффективность реконструкции протонов

Эффективность реконструкции протонов была рассчитана при помощи Монте-Карло моделирования отклика детектора. В качестве входных данных использовалась физическая модель DCM-QGSM-SMM. Реалистичный отклик детекторов был смоделирован при помощи программного пакета GEANT3. Да-

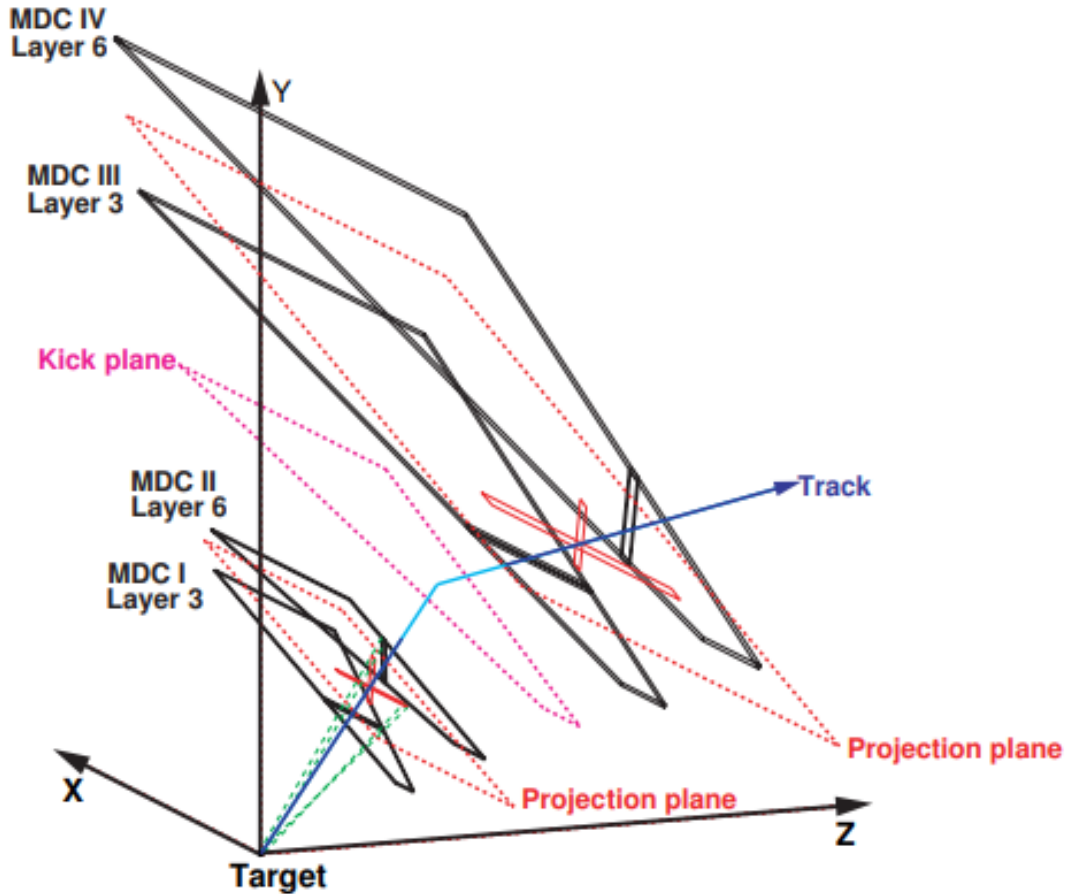


Рисунок 2.3 — Схематическое изображение трекинговой системы эксперимента HADES.

лее по модели отклика детектора была произведена реалистичная реконструкция. Эффективность реконструкции определяется формулой:

$$e(y, p_T) = \frac{N_{rec}(y, p_T)}{N_{sim}(y, p_T)}, \quad (2.1)$$

где  $e(y, p_T)$  — эффективность реконструкции для данных значений поперечного импульса ( $p_T$ ) и быстроты ( $y$ ),  $N_{rec}$  — число реконструированных частиц,  $N_{sim}$  — число смоделированных частиц. На рис. 2.5 представлена эффективность реконструкции протонов как функция быстроты ( $y$ ) и поперечного импульса ( $p_T$ ) для столкновений Au + Au при энергии  $E_{kin}=1.23A$  ГэВ (слева), Ag + Ag при энергии  $E_{kin}=1.23A$  ГэВ (в центре) и  $E_{kin}=1.58A$  ГэВ (справа).

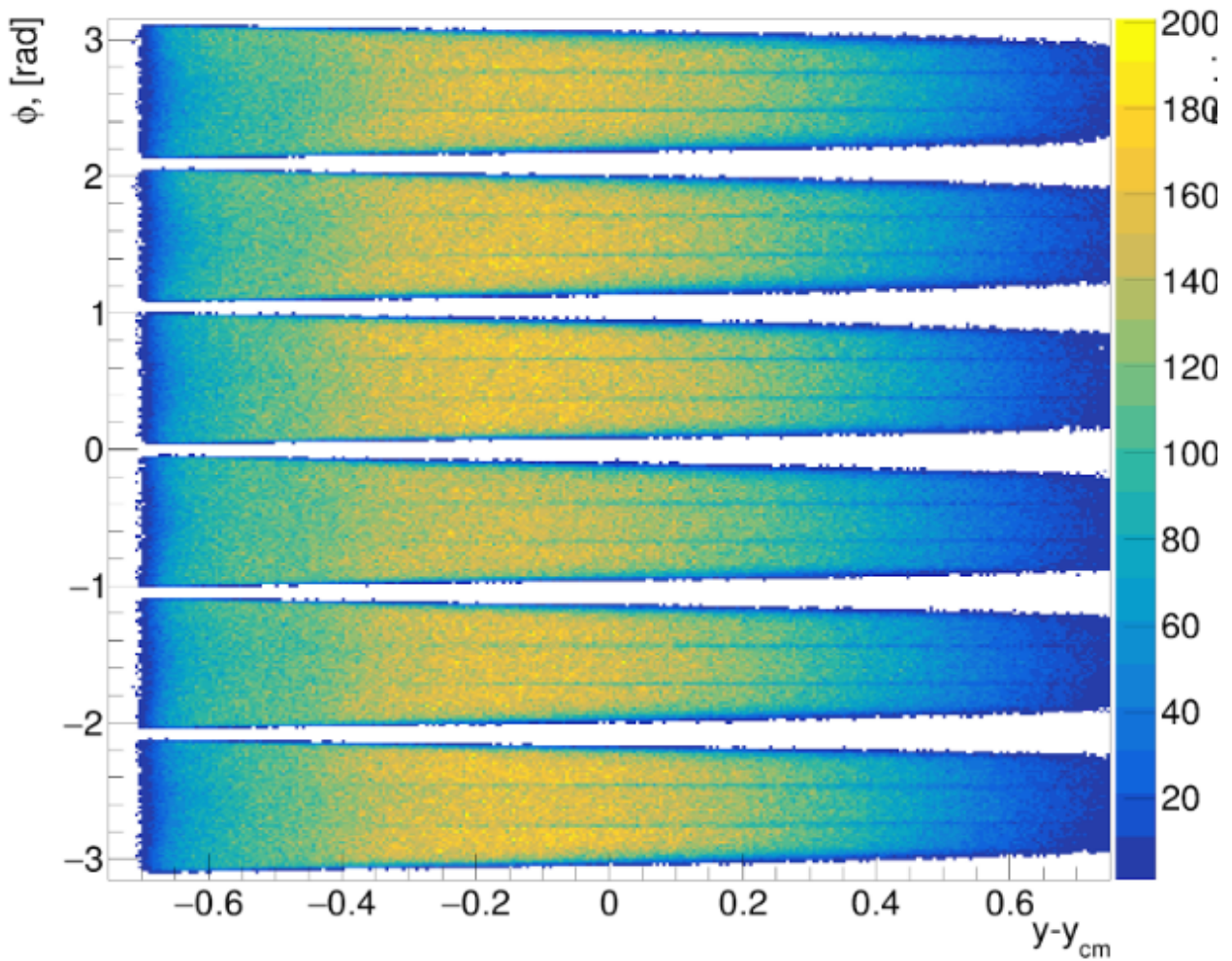


Рисунок 2.4 — Азимутальный акцептанс трекинговой системы эксперимента HADES в зависимости от быстроты частицы.

### 2.4.3 Идентификация протонов времяпролётным методом

Для измерения времени пролёта, установка HADES оборудована времяпролётными системами TOF и RPC, которые располагаются за трекинговой системой (см. рис. 2.1). Детектор TOF состоит из сцинтиляционных стержней, ориентированных радиально. Детекторная подсистема RPC представляет из себя набор резистивных камер. Идентификация частиц проводилась одновременно времяпролётным методом и по энерговыделению в камерах MDC. На рис. 2.6 представлено распределение заряженных частиц, зарегистрированных трекинговой системой HADES по относительной скорости  $\beta$  и импульсу делённому на

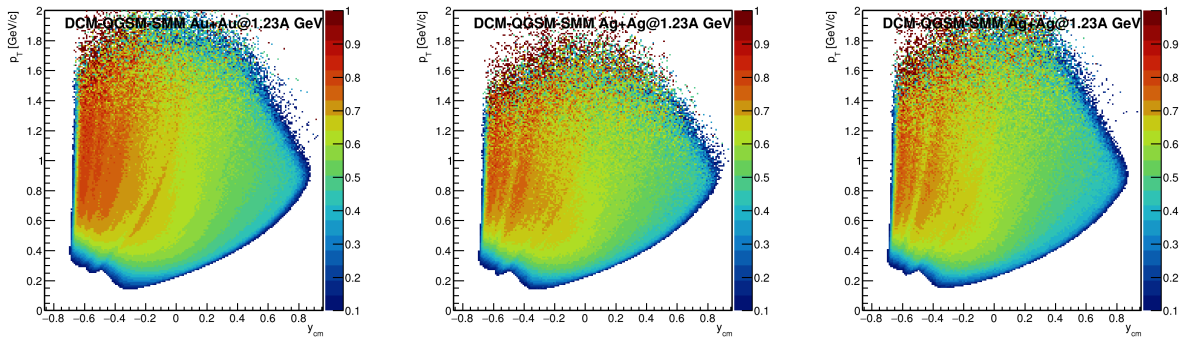


Рисунок 2.5 – Эффективность реконструкции протонов как функция быстроты ( $y$ ) и поперечного импульса ( $p_T$ ) для столкновений Au + Au при энергии  $E_{kin}=1.23A$  ГэВ (слева), Ag + Ag при энергии  $E_{kin}=1.23A$  ГэВ (посередине) и  $E_{kin}=1.58A$  ГэВ (справа).

заряд  $p/q$ . Используя соотношение:

$$p = \frac{m\beta}{\sqrt{1 - \beta^2}}, \quad (2.2)$$

где  $p$  — импульс частицы,  $m$  — ее масса,  $\beta = v/c$ , ее относительная скорость, можно рассчитать массу частицы.

Распределение заряженных частиц, зарегистрированных трекинговой системой HADES по квадрату массы  $m^2$  и импульсу делённому на заряд  $p/q$  представлено на рис. 2.7 (слева). Ожидается, что массы рожденных частиц, измеренные времяпролётным методом будут распределены согласно нормальному распределению. Среднее этого распределения для каждого типа частиц не должно зависеть от импульса частицы, однако в эксперименте наблюдается сдвиг в сторону меньших значений для протонного пика. Этот систематический сдвиг может быть объяснён ошибкой при измерении частиц с малыми импульсами. Большая кривизна траектории может приводить к ошибкам при ее реконструкции. Ширина распределения для каждого вида частиц увеличивается с ростом импульса. Этот эффект объясняется ограниченным разрешением времяпролётной системы, в которой при больших импульсах время пролёта восстанавливается с большей относительной ошибкой. Каждый из пиков для разных типов частиц аппроксимируется функцией гаусса в узких диапазонах импульса. Затем на основании этих аппроксимаций происходит отбор кандидатов в частицы для каждого типа. Отобранные протоны представлены на рис. 2.7 (справа).

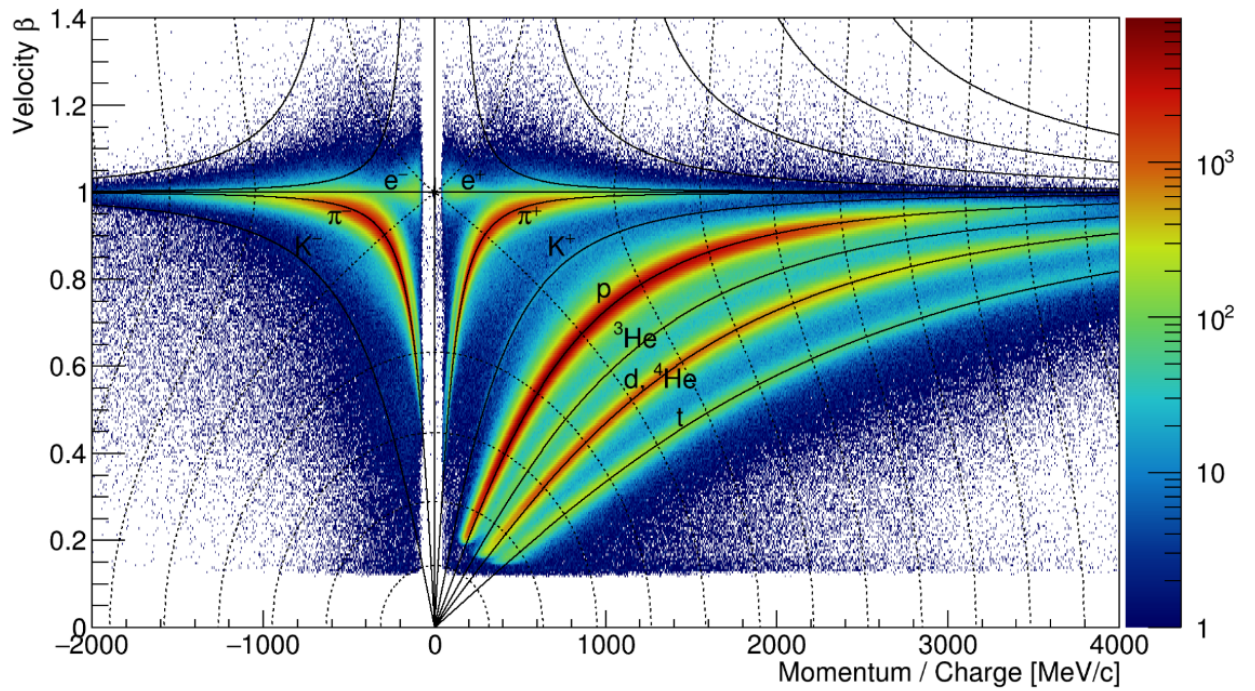


Рисунок 2.6 — Распределение заряженных частиц, зарегистрированных трекинговой системой HADES по относительной скорости  $\beta$  и импульсу делённому на заряд  $p/q$ .

#### 2.4.4 Центральность столкновения

Центральность столкновений в эксперименте HADES была определена на основе количества срабатываний времязадержки системы. Метод Монте-Карло Глаубера был использован для восстановления распределения геометрических параметров столкновения, таких как средний прицельный параметр, числа нуклонов-спектаторов и числа нуклонов-партиципантов (для деталей см. [41]). На рис. 2.8 представлено Распределение множественности срабатываний времязадержки системы в столкновениях Au + Au при энергии  $E_{kin}=1.23A$  ГэВ и Ag + Ag при  $E_{kin}=1.23A$  ГэВ и  $E_{kin}=1.58A$  ГэВ. Наибольшая множественность наблюдается в столкновениях Au + Au, поскольку число нуклов в ядрах золота почти в 2 раза больше.

Для каждой из анализируемых систем методом Монте-Карло Глаубера была измерена центральность столкновения. На рис. 2.9 представлено Распределение множественности срабатываний во времязадержке системе в столкновениях Ag + Ag при энергии  $E_{kin}=1.58A$  ГэВ. Вертикальными линиями обозначены

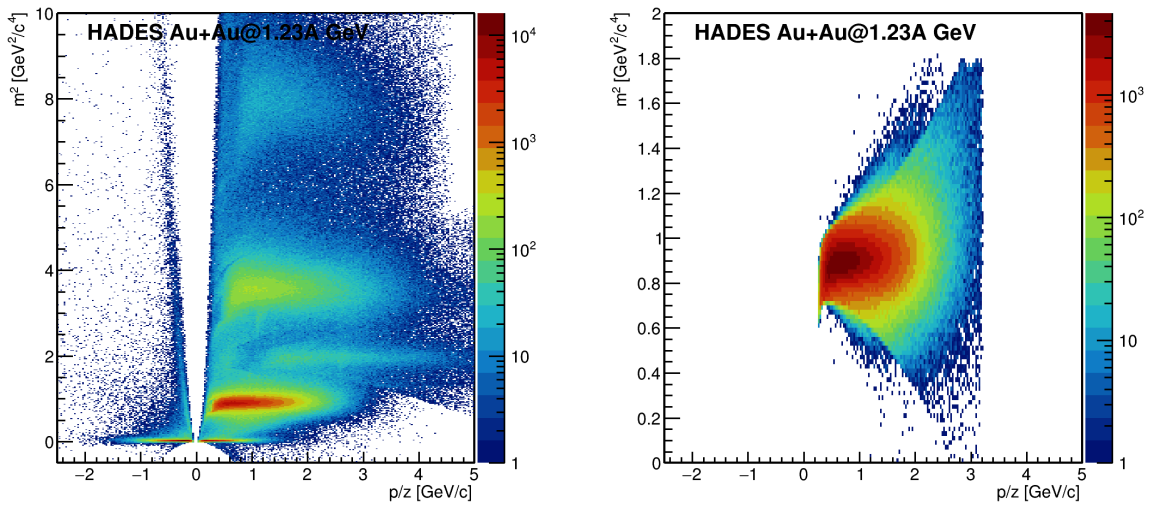


Рисунок 2.7 — Распределение заряженных частиц, зарегистрированных трекинговой системой HADES по квадрату массы  $m^2$  и импульсу делённому на заряд  $p/q$ : Для всех заряженных частиц (слева), для отобранных протонов (справа).

значены границы классов центральности. Аппроксимация множественности методом Монте-Карло Глаубера довольно хорошо описывает экспериментальное распределение в классе центральности 0-30%. Дальнейшее расхождение объясняется эффективностью центрального триггера. Регистрация столкновения в эксперименте происходит по величине, пропорциональной множественности рожденных частиц. Поэтому события с маленькой множественностью могут быть отброшены системой отбора событий столкновения. Таким образом, экспериментальное распределение множественности частиц, рожденных в столкновении систематически смещено в область более высоких множественностей. Монте-Карло розыгрыш множественности при помощи метода Глаубера и отрицательного биномиального распределения помогают оценить эту сдвигку и восстановить реальное распределение множественности.

#### 2.4.5 Передний годоскоп Forward Wall

Для регистрации фрагментов сталкивающихся ядер, взаимодействовавших с областью перекрытия лишь упруго (спектаторы), спектрометр HADES

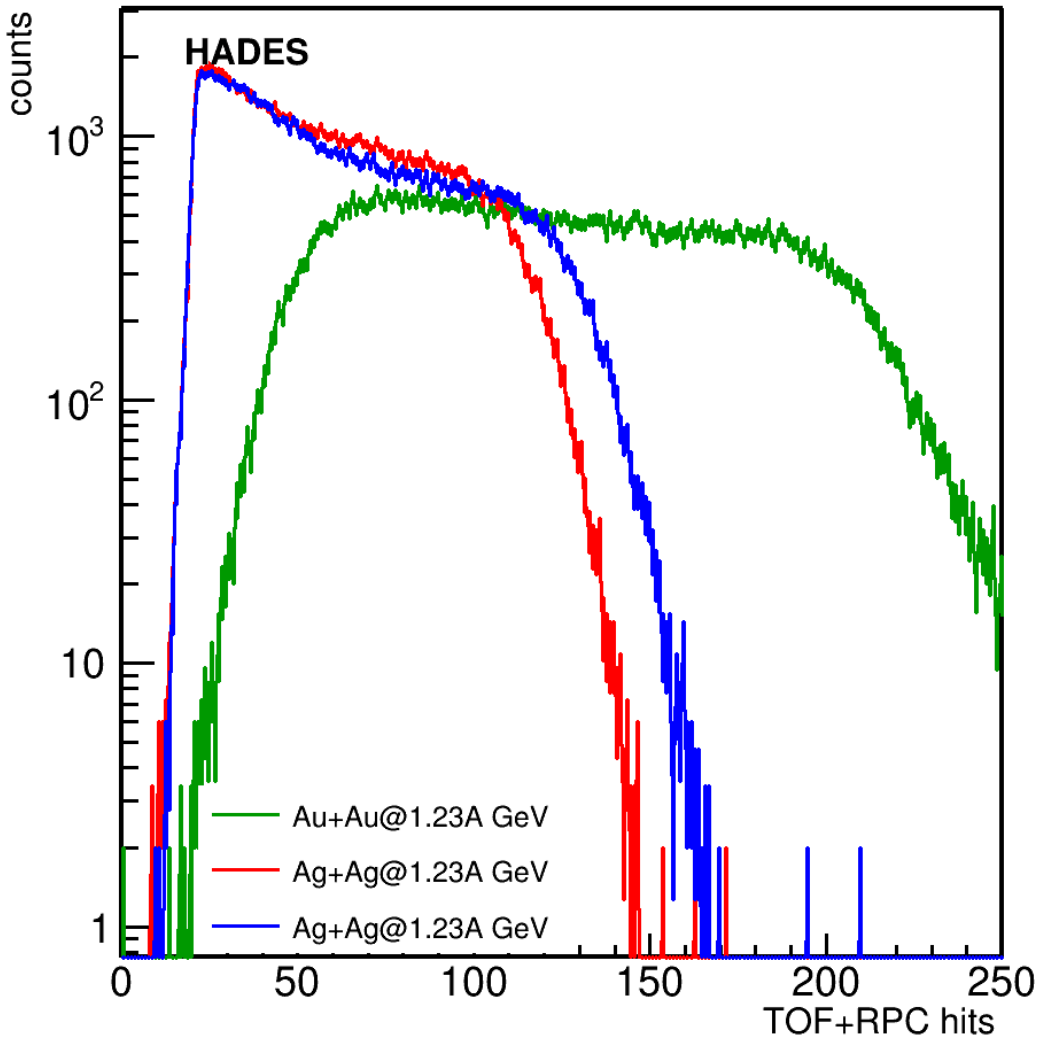


Рисунок 2.8 — Распределение множественности заряженных срабатываний времязролетной системы в столкновениях Au + Au при энергии  $E_{kin}=1.23A$  ГэВ и Ag + Ag при  $E_{kin}=1.23A$  ГэВ и  $E_{kin}=1.58A$  ГэВ.

оборудован гаммоскопом FW. Детектор имеет модульную структуру и способен измерять заряд фрагментов-спектаторов. Размер модулей гаммоскопа увеличивается от центральных к периферическим и составляет 40 × 40, 80 × 80 и 160 × 160 мм соответственно. Схематично, расположение модулей в гаммоскопе представлено на рис. 2.10.

На рис. 2.11 представлено распределение сигнала в модулях сцинтиляционной стенки FW для столкновений Au + Au при  $E_{kin}=1.23A$  ГэВ (слева), Ag + Ag при  $E_{kin}=1.23A$  ГэВ (посередине) и  $E_{kin}=1.58A$  ГэВ (справа). Наиболее выраженный пик отвечает заряду  $Z = 1$  (charge=100). Также наблюдаются пики

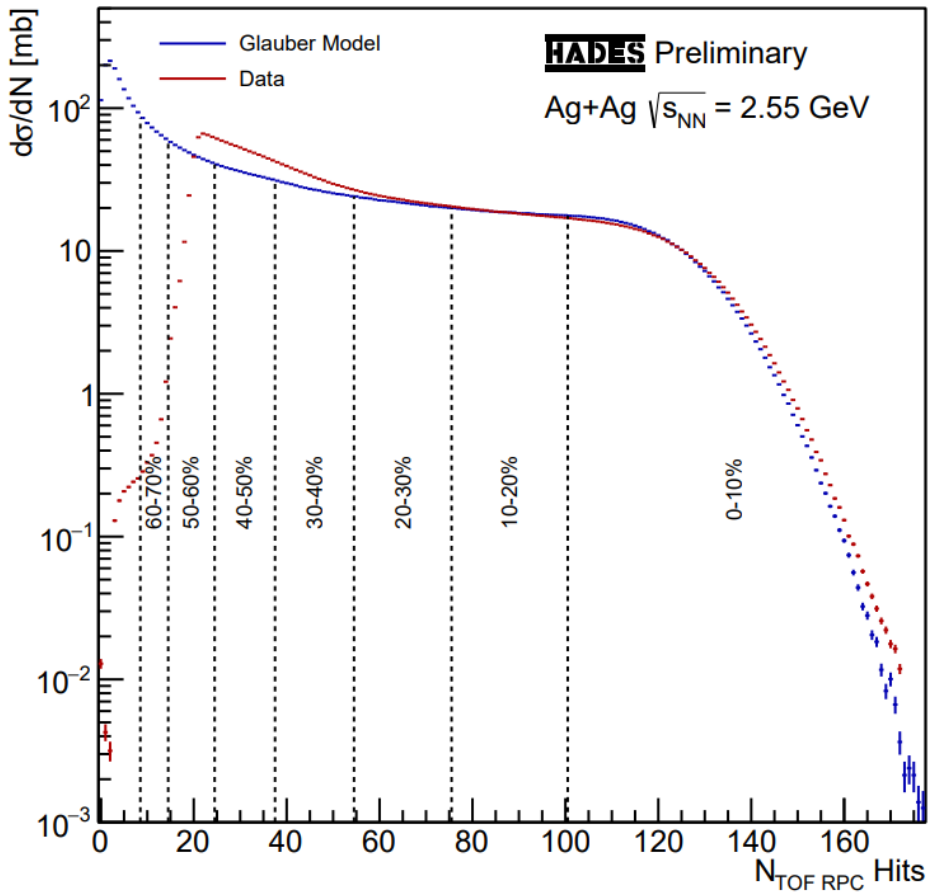


Рисунок 2.9 — Распределение множественности заряженных срабатываний времязролетной системы в столкновениях  $\text{Ag} + \text{Ag}$  при энергии  $E_{kin}=1.58A$  ГэВ. Вертикальными линиями обозначены границы классов центральности.

для зарядов  $Z = 2$  и  $Z = 3$ . События срабатывания модулей стенки с большими зарядами фрагментов редки.

В работе приводятся результаты анализа экспериментальных данных, полученные из столкновений ядер  $\text{Au}+\text{Au}$  при энергии  $E_{kin} = 1.23A$  ГэВ а также ядер  $\text{Ag}+\text{Ag}$  при энергиях  $E_{kin} = 1.23A$  и  $1.58A$  ГэВ, полученные на установке HADES. Всего было проанализировано около 100 миллионов столкновений  $\text{Au}+\text{Au}$  и по 500 миллионов столкновений для  $\text{Ag}+\text{Ag}$  при обеих энергиях. Для исследования использовались столкновения разделенные по времени и восстановленной вершиной лежащей в области мишени. Траектории заряженных частиц были отобраны на основании качества аппроксимации трека. Для отбора первичных частиц использовался критерий на минимальное расстояние между ее траекторией и первичной вершиной.

209	210	211	212	213	214	215	216	217	218	219
220	221	222	223	224	225	226	227	228	229	230
231	232	233	234	235	236	237	238	239	240	241
242	243	244	145	146	147	148	149	150	151	152
			155	156	157	158	159	160	161	162
248	249	250	165	166	1 2 3 4 5 6 7 8 9 10 11 12			167	168	
			169	170	25 28 27 28 29 30 31 32 33 34 35 36			171	172	
254	255	256	173	174	49 50 51 52 53 54 55 56 57 58 59 60			175	176	
			177	178	61 62 63 64 65 66 67 68 69 70 71 72			179	180	
260	261	262	181	182	73 74 75 76 77 78 79 80 81 82 83 84			183	184	
			185	186	85 86 87 88 89 90 91 92 93 94 95 96			187	188	
266	267	268	189	190	97 98 99 100 101 102 103 104 105 106 107 108			269	270	271
			199	200	109 110 111 112 113 114 115 116 117 118 119 120					
272	273	274	275	276	121 122 123 124 125 126 127 128 129 130 131 132			280	281	282
283	284	285	286	287	133 134 135 136 137 138 139 140 141 142 143 144			291	292	293
294	295	296	297	298	195 196			301	302	303
					197 198					304

Рисунок 2.10 — Схема расположения модулей переднего гадоскопа FW.

## 2.5 Описание экспериментальной установки BM@N

### 2.5.1 Схема установки

Эксперимент Барионная Материя на Нуклотроне (BM@N) располагается на выделенном пучке ускорителя Nuclotron ускорительного комплекса NICA в ОИЯИ, Дубна. BM@N является экспериментом с фиксированной мишенью. Схема экспериментальной установке представлена на рис. 2.12.

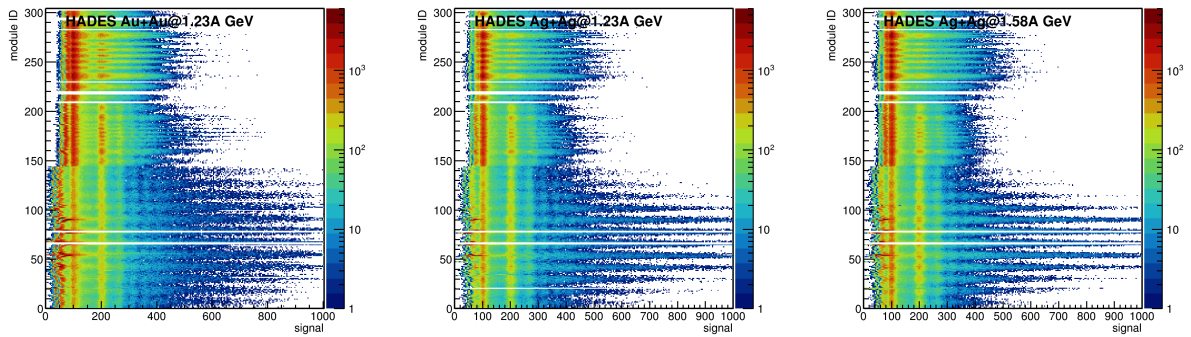


Рисунок 2.11 — Распределение сигнала в модулях сцинтиляционной стенки FW для столкновений Au + Au при  $E_{kin}=1.23\text{A ГэВ}$  (слева), Ag + Ag при  $E_{kin}=1.23\text{A ГэВ}$  (посередине) и Ad + Ad при  $E_{kin}=1.58\text{A ГэВ}$  (справа).

### 2.5.2 Трекинговая система

Система реконструкции траекторий заряженных частиц в эксперименте BM@N состоит из четырех станций кремниевых детекторов (Silicon) и семи станций газо-электронных умножителей (GEM). В отличие от HADES, трекинговая система целиком находится в магнитном поле дипольного магнита что позволяет с большой точностью восстанавливать импульсы рожденных в столкновении заряженных частиц. На рис. 2.13 представлено схематическое изображение трекинговой системы в эксперименте BM@N. Траектории заряженных частиц отклоняются магнитным полем дипольного магнита, что позволяет восстанавливать импульс заряженных частиц. Вакуумная пучковая труба позволяет минимизировать столкновения ядер цезия с атомами азота, кислорода и прочими примесями. Поскольку вакуумная труба также расположена в магнитном поле, она имеет искривлённую форму для свободного прохождения невзаимодействующих ядер пучка.

В плоскости поперечной направлению пучка аксептанс установки имеет прямоугольную форму, что ведёт к значительной неоднородности аксептанса. На рис. 2.14 представлен азимутальный аксептанс заряженных частиц в зависимости от псевдобыстроты.

На рис. 2.15 показано импульсное разрешение трекинговой системы как функция импульса частицы. Различными цветами и маркерами показаны различные энергии столкновения ядер Xe и Cs. Разрешение падает с уменьше-

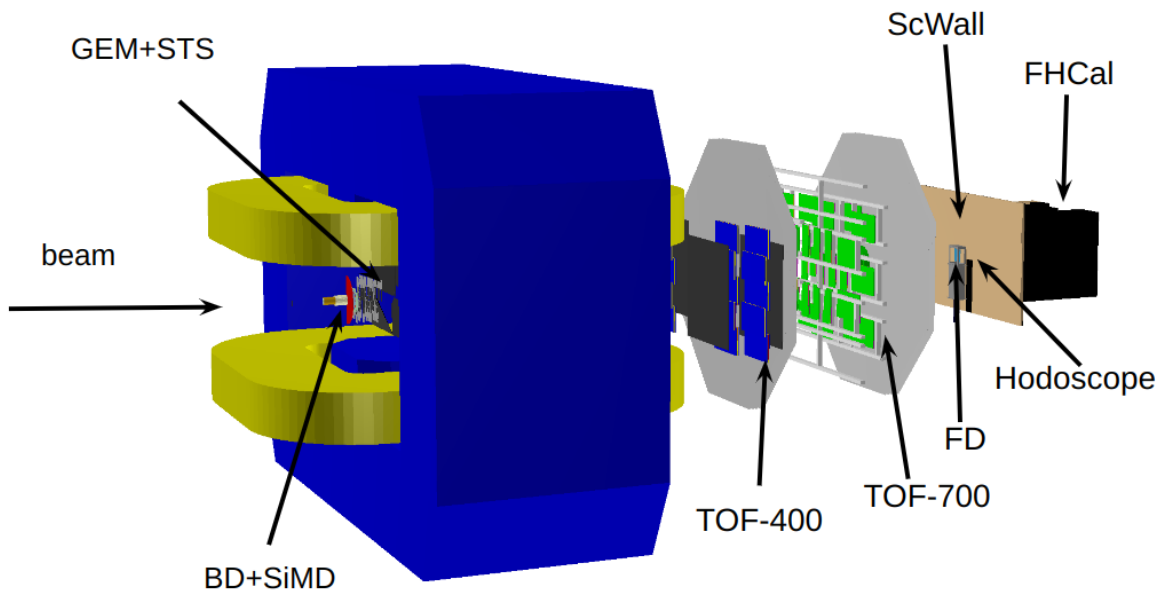


Рисунок 2.12 – Схема эксперимента BM@N.

нием энергии столкновения. Этот эффект связан с уменьшением магнитного поля, при уменьшении энергии столкновения. При энергии  $E_{kin}=2A$  ГэВ, экспериментальная установка работает с магнитным полем 0.4 Тл, при энергии  $E_{kin}=3A$  ГэВ магнитное поле 0.6 Тл и при энергии  $E_{kin}=4A$  ГэВ – 0.8 Тл.

### 2.5.3 Определение центральности

В эксперименте BM@N центральность также была определена при помощи метода Монте-Карло Глаубера, однако в качестве множественности использовалось число восстановленных траекторий заряженных частиц. На рис. 2.16 представлено распределение множественности заряженных частиц для Монте-Карло моделирования столкновений Xe+Cs(I) при энергии  $E_{kin}=4A$  ГэВ. Вертикальными линиями обозначены границы классов центральности. Модель Монте-Карло Глаубера хорошо описывает распределение множественности в границах 0-60% класса центральности.

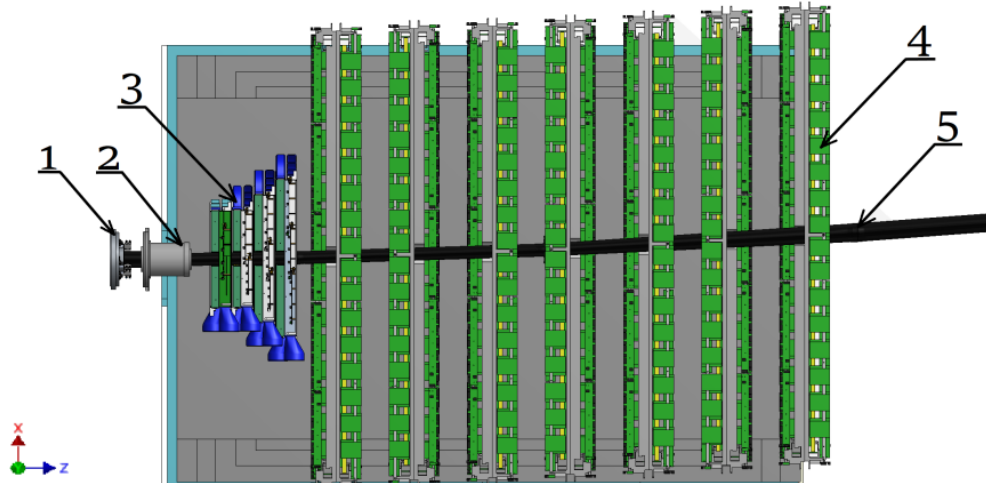


Рисунок 2.13 — Схематическое изображение трекинговой системы в эксперименте BM@N. Цифрами (1) обозначена мишень, (2) — Barell Detector, (3) — STS, (4) — GEM, (5) — Beam Pipe

#### 2.5.4 Времяпролётные детекторы TOF-400 и TOF-700

В эксперименте BM@N идентификация заряженных частиц может выполняться только времяпролётным методом, используя информацию с двух станций времяпролётных детекторов, расположенных на расстоянии 400 и 700 см от мишени (TOF-400 и TOF-700 соответственно). На рис. 2.17 показано распределение заряженных частиц по относительной скорости  $\beta = v/c$  и импульсу, деленному на заряд  $p/q$ .

Для каждого из детекторов была построена зависимость квадрата массы  $m^2$  от импульса  $p/q$ . На рис. 2.18 сверху, представлено распределение квадрата массы заряженной частицы в зависимости от импульса  $p/q$  для TOF-400 (слева) и TOF-700 (справа). В узких диапазонах поперечного импульса распределение частиц по квадрату массы было аппроксимировано гауссовой функцией. На рис. 2.18 снизу, представлены кандидаты в протоны, которые лежат не дальше  $2\sigma$  от пика квадрата массы.

На рис. 2.19 представлено распределение протонов по быстроте  $y_{cm}$  и поперечному импульсу  $p_T$  идентифицированных при помощи TOF-400 (слева сверху), TOF-700 (слева снизу), с использованием обоих TOF-детекторов (справа).

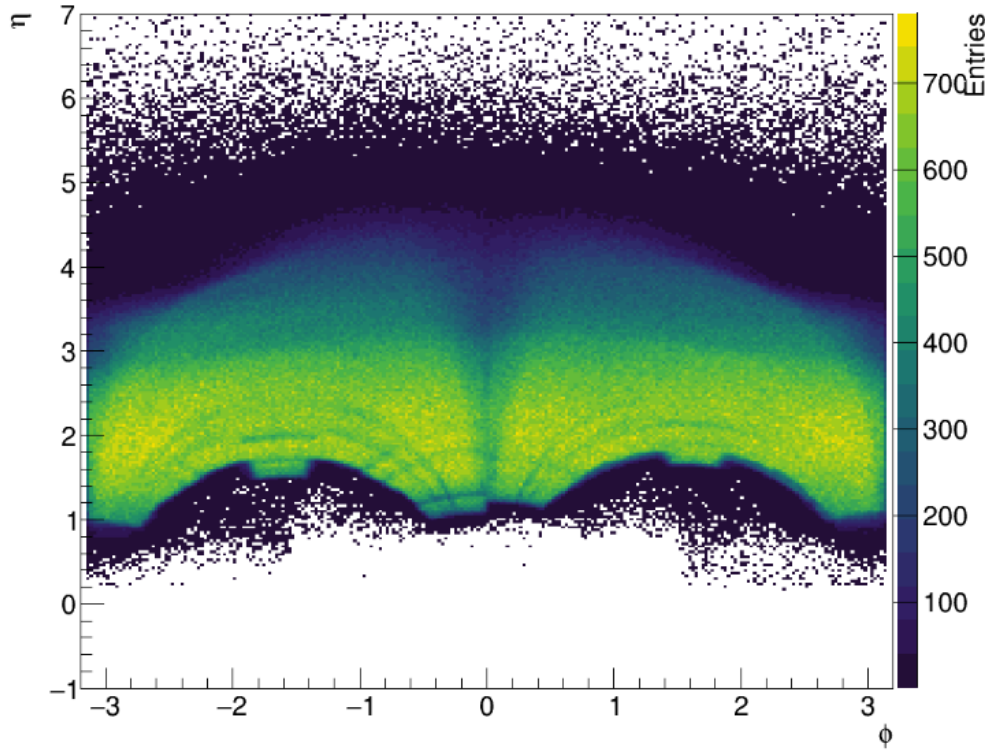


Рисунок 2.14 — Азимутальный акцептанс заряженных частиц в зависимости от псевдобыстроты.

### 2.5.5 Передний адронный калориметр FHCAL

В эксперименте BM@N измеряется энерговыделение спектаторных фрагментов при помощи переднего адронного калориметра FHCAL. Адронный калориметр состоит из 54 модулей, их размеры —  $15 \times 15$  и  $20 \times 20$  см соответственно. Схема расположения модулей калориметра представлена на рис. 2.20 справа. Большие модули ( $20 \times 20$  см) обозначены желтым цветом, малые модули ( $15 \times 15$ ) обозначены синим цветом.

Разработанная физическая программа измерения коллективных потоков в эксперименте BM@N была проверена на реалистичном Монте-Карло моделировании отклика детектора, в качестве входных данных моделирования были использованы две физические модели столкновения тяжелых ионов. Модель DCM-QGSM-SMM (Dubna Cascade Model, Quark-Gluon String Model, Statistical Multifragmentation Model) реалистично описывает выход спектаторных фрагментов, однако неудовлетворительно воспроизводит коллективную анизотропию рожденных частиц. Эта модель была использована для проверки разра-

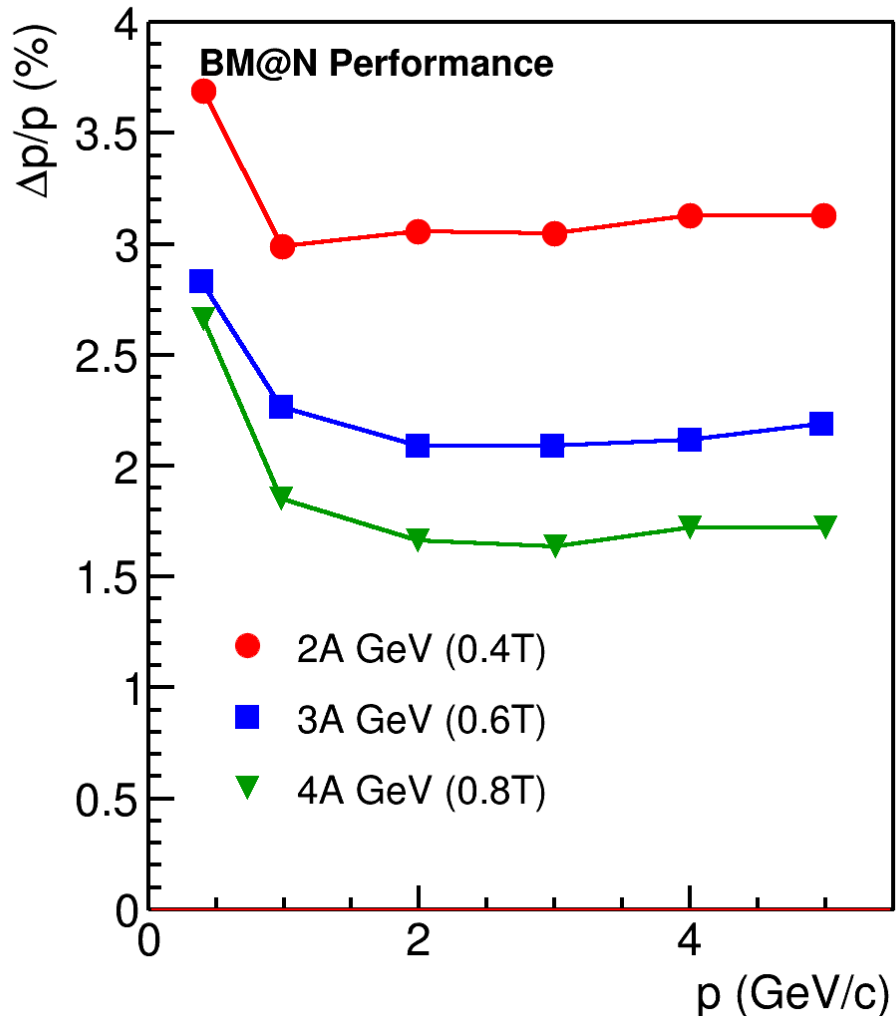


Рисунок 2.15 — Разрешение трекинговой системы по импульсу в эксперименте BM@N. Различными цветами и маркерами показана различная энергия столкновения.

ботанных методов вычисления поправочного коэффициента разрешения в эксперименте BM@N.

Модель JAM (Jet-A-A Model) с импульсно-зависимым потенциалом дает реалистичный сигнал коллективной анизотропии рожденных барионов, однако в модели отсутствуют фрагменты с массовым номером  $A > 1$ . Данная модель была использована для проверки коррекций на неоднородность детектора и возможности алгоритмов реконструкции восстановить сигнал коллективной анизотропии.

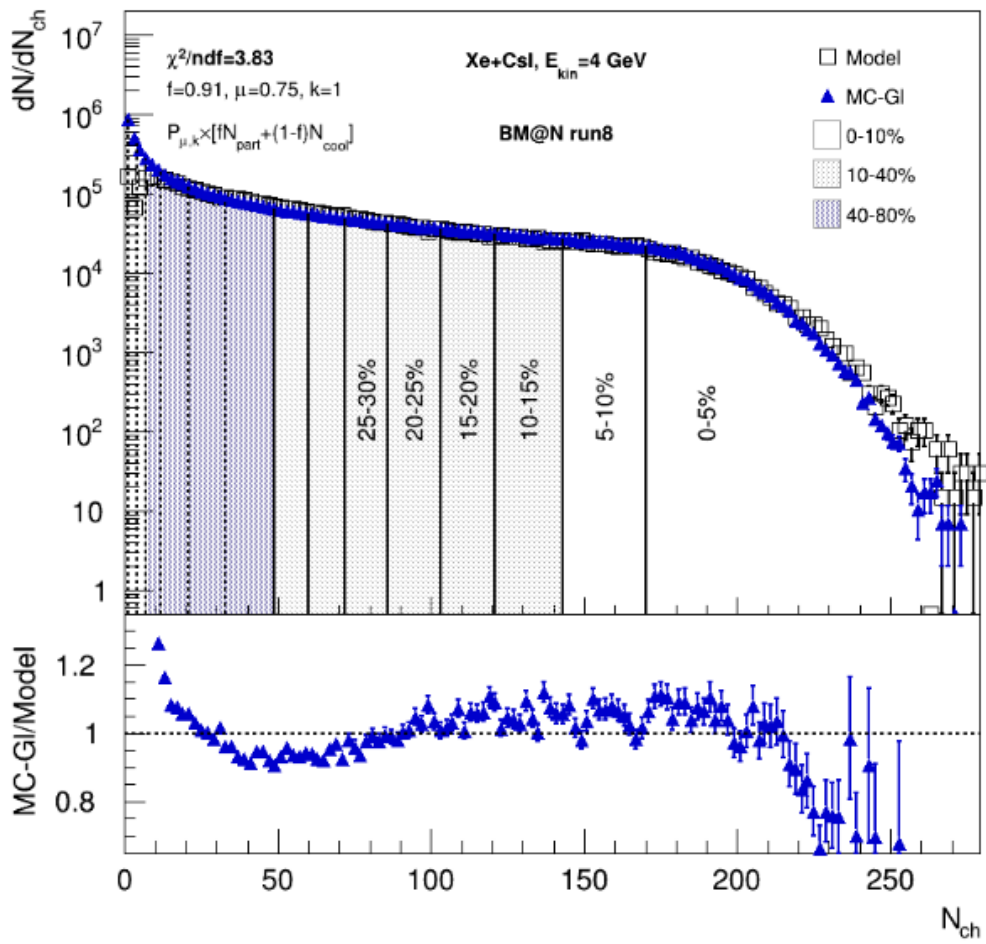


Рисунок 2.16 – Распределение множественности заряженных частиц в эксперименте BM@N. Вертикальными линиями изображены границы классов центральности.

## 2.6 Выводы к главе 2

В главе описывается устройство экспериментальной установки HADES. Рассмотрены принципы работы основных детекторных подсистем. В главе описаны методы определения центральности и идентификации протонов с помощью экспериментальной установки HADES. Представлены критерии отбора столкновений Au+Au и Ag+Ag а также заряженных частиц, рожденных в этих столкновениях. Описаны способы вычисления эффективности реконструкции протонов при помощи программного пакета GEANT3. В главе приведено краткое описание установки BM@N и ее детекторных подсистем. Описываются методы измерения центральности столкновения по числу треков заряженных

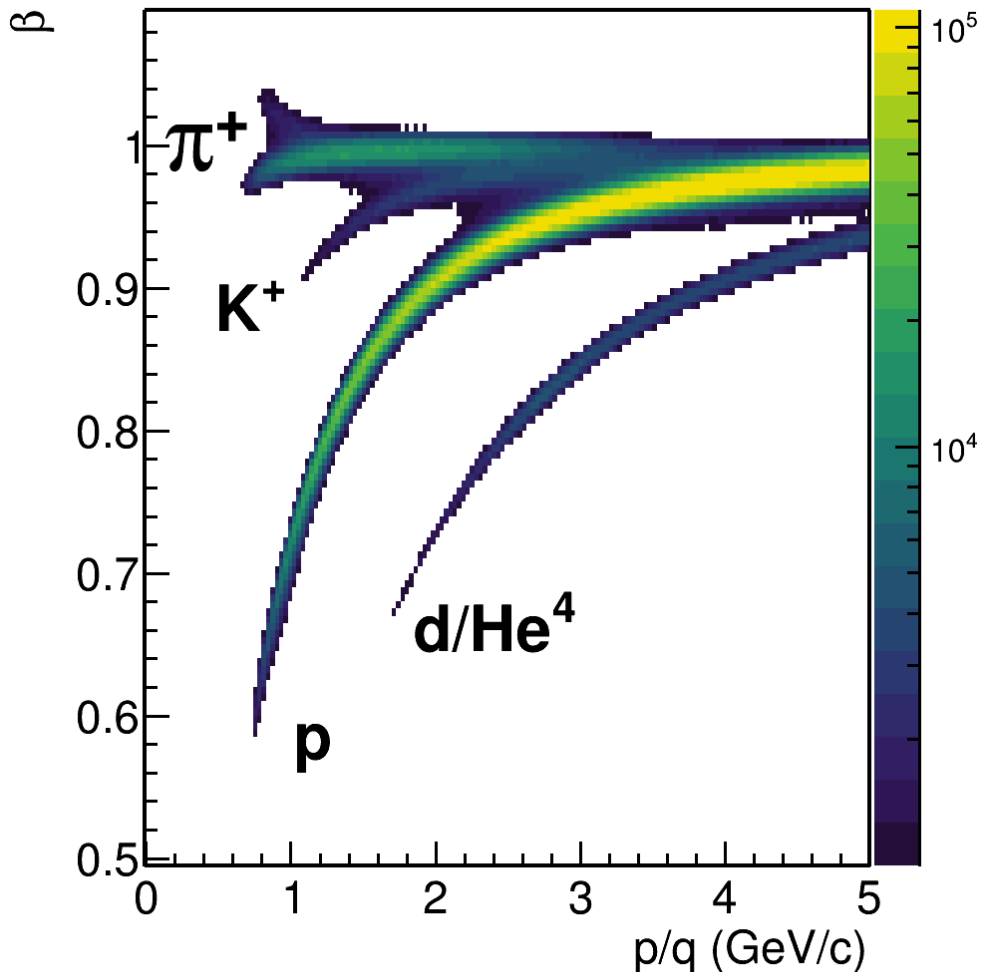


Рисунок 2.17 — Распределение заряженных частиц по относительной скорости  $\beta = v/c$  и импульсу деленному на заряд  $p/q$ .

частиц. В главе обсуждаются способы измерения производительности установки BM@N для измерения направленного и эллиптического потоков протонов с помощью физических Монте-Карло моделей столкновений тяжелых ионов и программного пакета GEANT4.

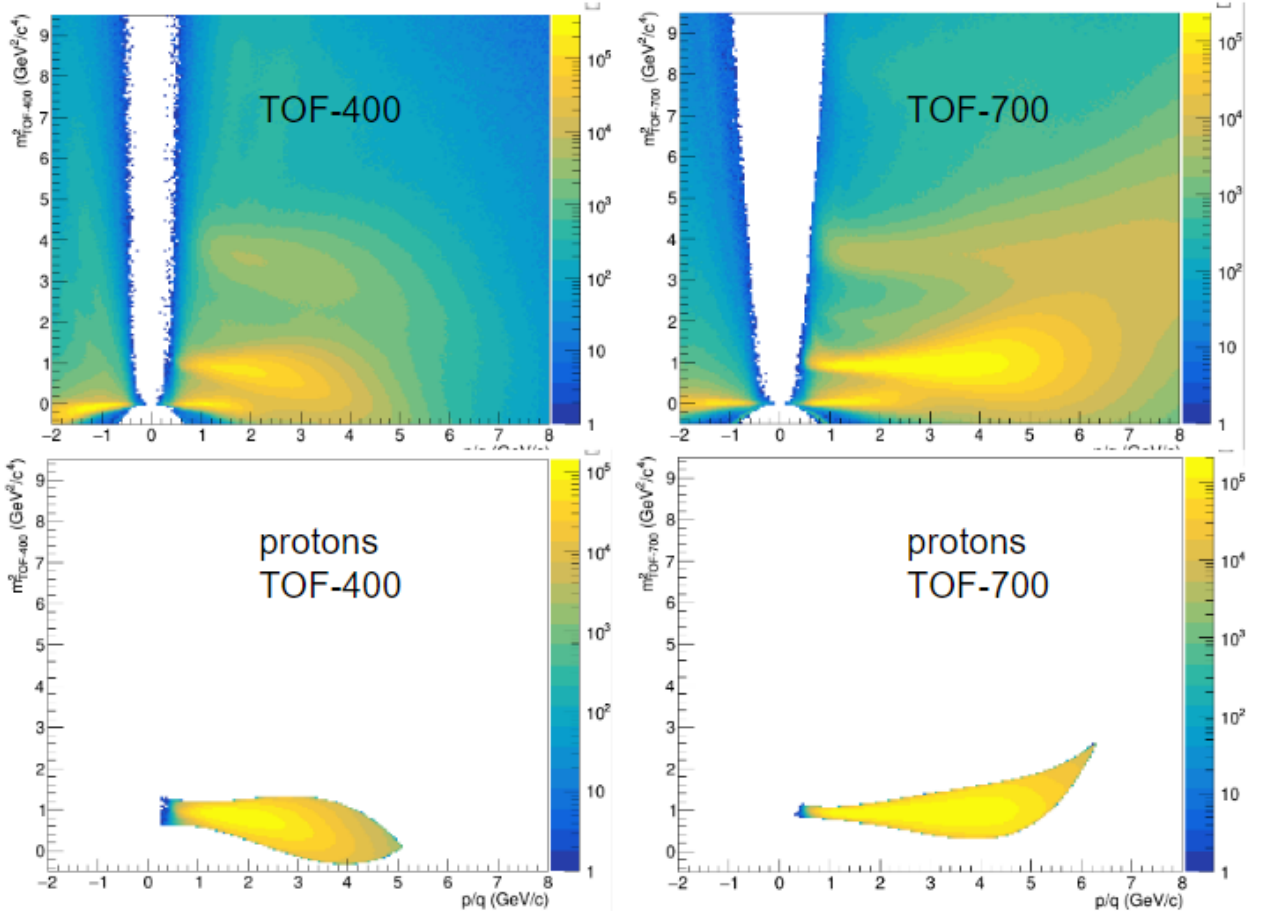


Рисунок 2.18 — Распределение квадрата массы заряженной частицы в зависимости от импульса  $p/q$  для TOF-400 (слева) и TOF-700 (справа). Сверху представлены распределения для всех заряженных частиц, снизу — для отобранных протонов.

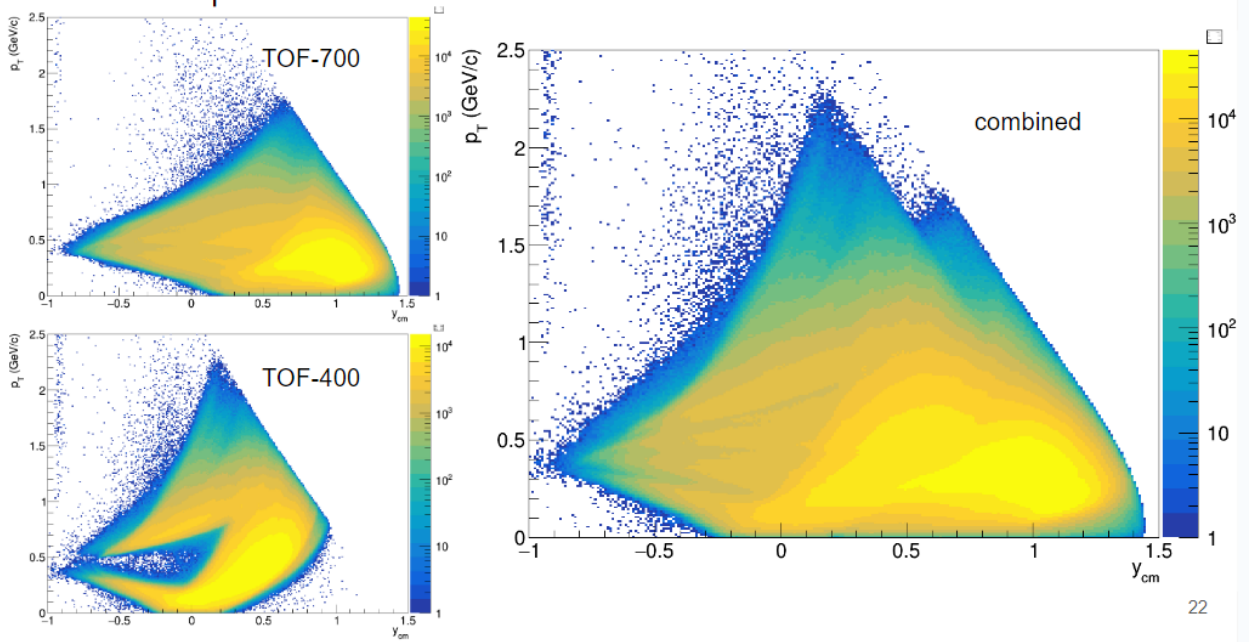


Рисунок 2.19 — Распределение протонов по быстроте  $y_{cm}$  и поперечному импульсу  $p_T$ , идентифицированных при помощи TOF-400 (слева сверху), TOF-700 (слева снизу), с использованием обоих TOF-детекторов (справа).

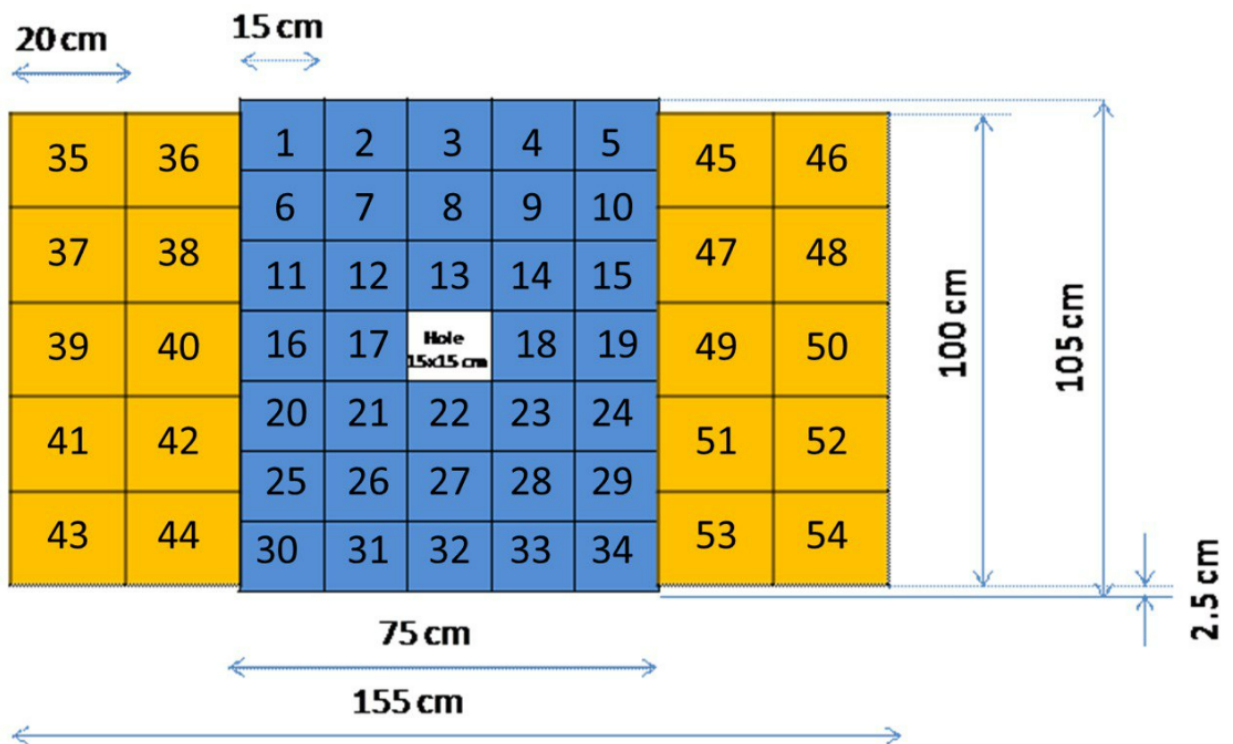


Рисунок 2.20 — Схема расположения модулей переднего адронного калориметра FHCAL.

## Глава 3. Экспериментальные методы измерения коллективной анизотропии

### 3.1 Эксперимент HADES

#### 3.1.1 Кинематические области используемые для определения $Q_1$ векторов

Для анализа использовались события столкновений тяжелых ядер, вершина которых лежала в следующих границах:  $\sqrt{x_v^2 + y_v^2} < 3$  мм и  $z_v \in (-60, 0)$  мм. Для измерения направленного потока использовались траектории заряженных частиц которые были экстраполированы в вершину столкновения. Траектории которые имели расстояние до восстановленной точки взаимодействия  $> 10$  мм не использовались в анализе. Протоны идентифицировались при помощи информации из времяз-пролетной системы TOF.

Оценка плоскости симметрии в работе производилась по асимметрии распределения заряда спектаторов в детекторе FW. Для оценки систематической ошибки вызванной непотоковыми корреляциями были введены 2 дополнительных  $Q_1$ -вектора из треков заряженных частиц. Векторы  $Q_1$  были построены из протонов с поперечным импульсом  $p_T < 2.0$  ГэВ с быстротами  $0.35 < y_{cm} < 0.55$  (Mf) и  $-0.55 < y_{cm} < -0.35$  (Mb). Модули детектора FW были разделены на 3 группы: центральные (W1), средние (W2) и периферические (W3). Схематически расположение полученных векторов в плоскости  $\eta$ - $p_T$  изображено на рис 3.1.

#### 3.1.2 Коррекция азимутальной анизотропии акцептанса детектора

Для коррекции на азимутальную неоднородность акцептанса был использован метод, предложенный в [40]. Данный метод основан на предположении, что азимутальное распределение частиц, рожденных в столкновении должно

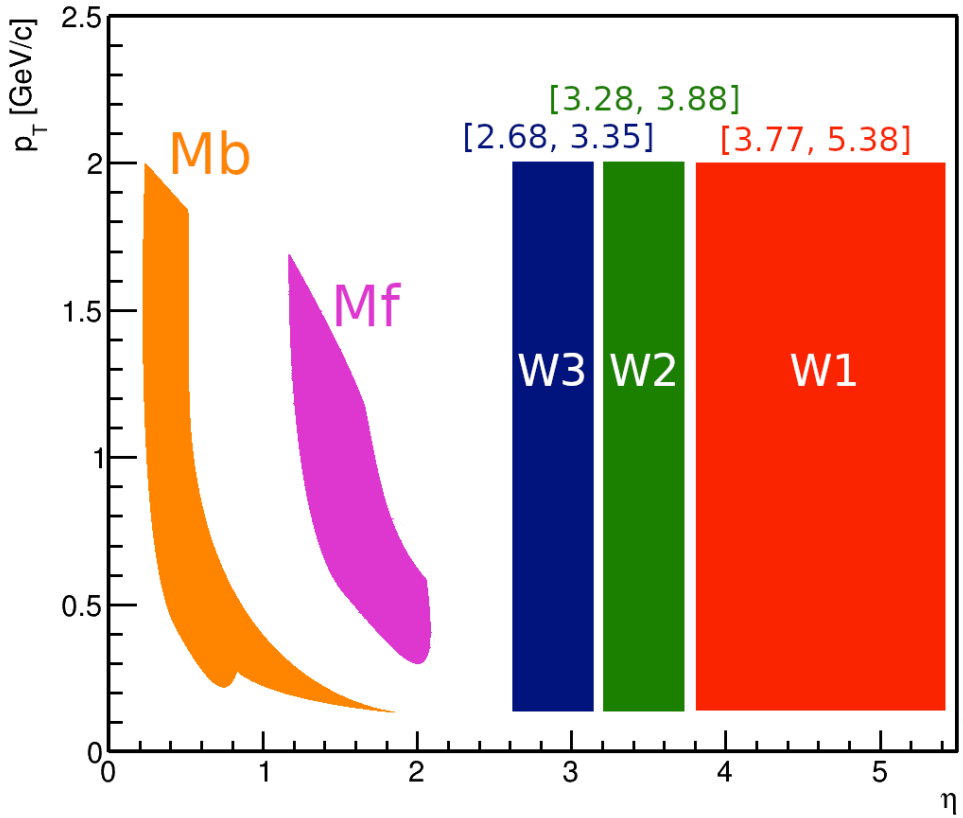


Рисунок 3.1 — Аксептанс по псевдобыстроте  $\eta$  для подсобытий из FW и поперечному импульсу  $p_T$  для подсобытий из MDC, использованных для расчета направленного потока протонов в столкновениях ядер золота и серебра.

быть изотропным, поскольку угол плоскости реакции от события к событию распределен равномерно. Азимутальная неоднородность чувствительного объема детектора вносит искажения в азимутальное распределение частиц. Для коррекции на этот эффект, в статье [40] вводятся поправки перецентровки, поворота и ремасштабирования. Схематически, действие этих поправок представлено на рис. 3.2.

Описанные выше поправки применялись для коррекции азимутальной неоднородности аксептанса детектора мультидифференциально. Для  $Q_1$ -векторов коррекции применялись в каждом классе центральности от 0% до 40% с шагом 5%. Для поправок на азимутальную неоднородность трекинга, коррекции на  $u_1$ -вектор применялись аналогично в каждом классе центральности а также дифференциально по поперечному импульсу  $p_T$  и быстроте  $y_{cm}$ .

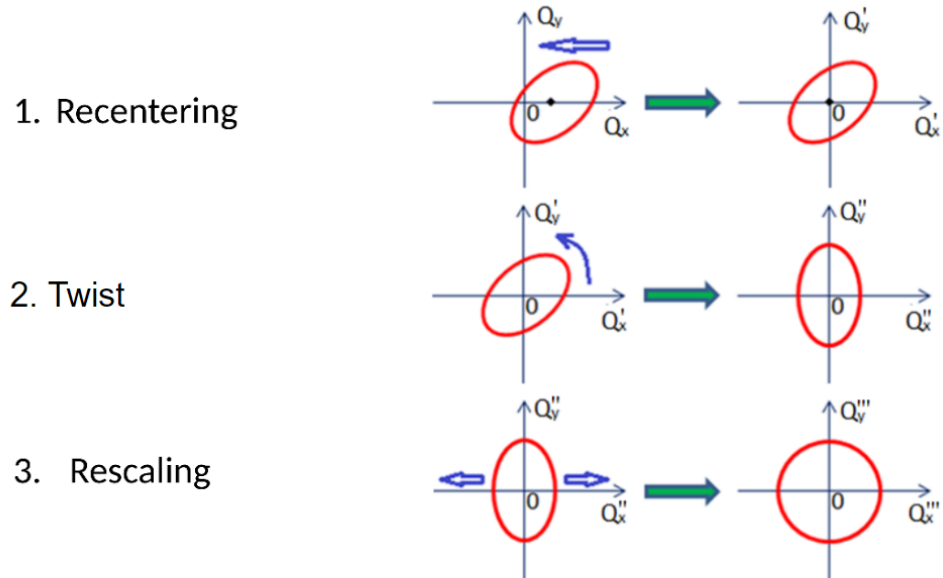


Рисунок 3.2 — Схематическое изображение поправок предложенных в [40].

Остаточные эффекты азимутальной неоднородности аксептанса в данной работе оцениваются как разность между корреляцией компонент  $u_1$  и  $Q_1$ -векторов:

$$\delta_{acc.} = |\langle x_1 X_1 \rangle - \langle y_1 Y_1 \rangle|, \quad (3.1)$$

где  $\delta_{acc.}$  — остаточная ошибка после применения коррекций,  $x_1$  и  $y_1$ , и  $X_1$  и  $Y_1$  — компоненты  $u_1$  и  $Q_1$ -векторов соответственно.

Сравнение  $v_1^{uncorr.}$ , полученного с использованием различных компонент  $u_1$  и  $Q_1$ -векторов, представлено на рис 3.3. Направленный поток не корректирован на разрешение плоскости симметрии для оценки вклада неоднородного аксептанса трекинговой системы. После применения поправок на азимутальную анизотропию аксептанса, остаточный эффект составляет 2%.

### 3.1.3 Вычисление поравочного коэффициента разрешения $R_1$

Для расчета разрешения методом случайных подсобытий два вектора были определены из модулей детектора FW. Модули были распределены в две группы случайным образом для каждого события. На рис. 3.4 представлено разрешение плоскости симметрии рассчитанное методом случайных подсобы-

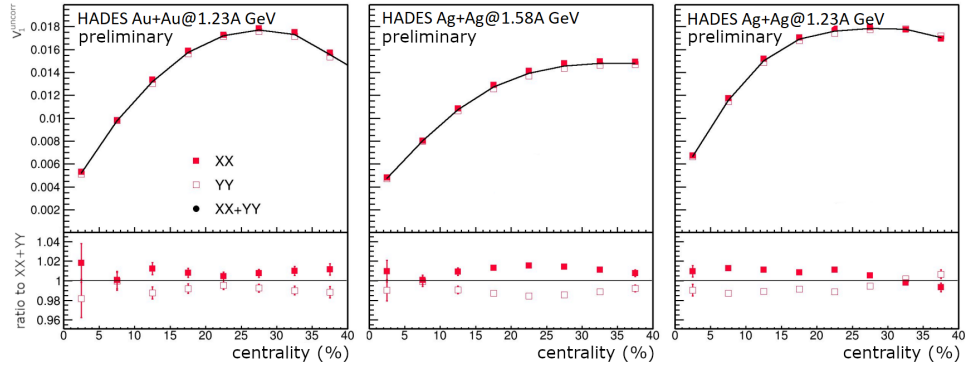


Рисунок 3.3 — Сравнение компонент корреляции  $\langle u_1 Q_1 \rangle$  после применения поправок на азимутальную неоднородность детектора для столкновений Au+Au@1.23A ГэВ (слева), Ag+Ag@1.23A ГэВ (посередине) и Ag+Ag@1.58A ГэВ (справа)

тий как функция центральности столкновения. Основным недостатком данного метода является отсутствие возможности сравнить полученные значения с другими оценками разрешения плоскости симметрии.

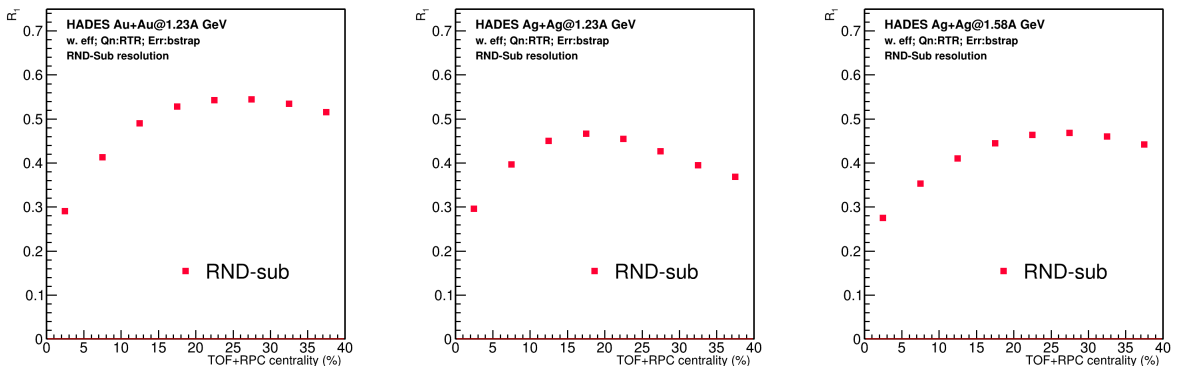


Рисунок 3.4 — Разрешение плоскости симметрии рассчитанное методом случайных подсобытий как функция центральности столкновения. Слева: для столкновений Au + Au при  $E_{kin}=1.23A$  ГэВ; посередине: для столкновений Ag + Ag при  $E_{kin}=1.23A$  ГэВ; справа: для столкновений Ag + Ag при  $E_{kin}=1.58A$  ГэВ;

Для расчета разрешения методом трёх подсобытий в работе введены 5  $Q_1$ -векторов. Используя в методе трех подсобытий различные комбинации векторов, можно оценить остаточные эффекты из-за непотоковых корреляций. Очевидно, что разрешение плоскости симметрии, посчитанное с использованием различных комбинаций, должны совпадать, а возможная разница будет связана

с эффектами не относящимися к коллективному движению частиц. Исключая из анализа разрешение полученное при помощи комбинаций, в которых два или более векторов коррелируют по непотоковому каналу, можно значительно уменьшить вклад непотоковых корреляций в полученные результаты. Таким образом, систематическая ошибка из-за эффектов, не связанных с коллективным движением частиц может быть рассчитана следующим образом:

$$\delta_{NF} = R_1\{a(b,c)\} - R_1\{d(e,f)\}, \quad (3.2)$$

где  $\delta_{NF}$  — ошибка из-за непотоковых корреляций, а символами от  $a$  до  $f$  обозначены различные  $Q_1$ -вектора.

Разрешение плоскости симметрии  $W1$ , полученное с использованием различных комбинаций  $Q_1$ -векторов, показано на рис 3.5. Разрешение  $R_1\{W1(W2,W3)\}$  заметно отличается от значений, полученных при помощи других комбинаций. Этот эффект может быть объяснён наличием непотоковых корреляций между парами  $Q_1$ -векторов  $W1$  и  $W2$ ,  $W2$  и  $W3$ . Эти векторы не имеют значительного разделения по быстроте, поэтому в значительной степени могут быть подвержены корреляциям не связанным с изначальной асимметрией области перекрытия. В столкновениях  $\text{Ag}+\text{Ag}$  при обеих энергиях,  $R_1\{W1(Mf,Mb)\}$  так же значительно отклоняется от среднего результата. Это может быть вызвано наличием корреляций из-за закона сохранения импульса между векторами  $Mf$  и  $Mb$ . В столкновениях  $\text{Au}+\text{Au}$  этот эффект менее выражен в силу большей множественности рожденных частиц.

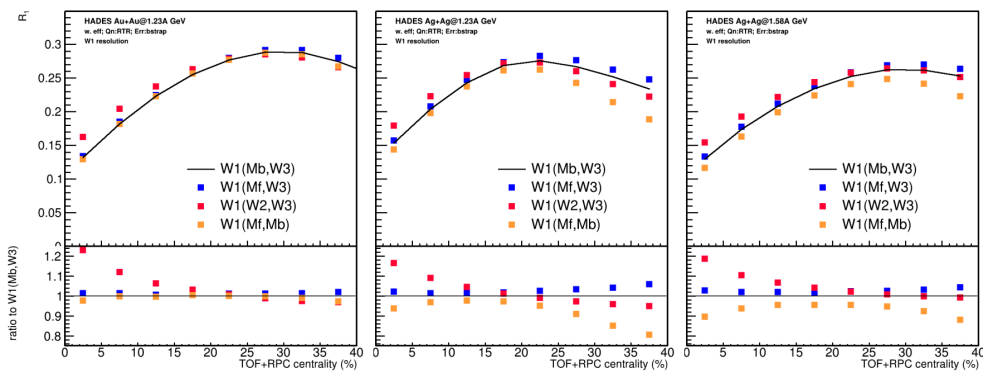


Рисунок 3.5 — Сравнение разрешений плоскости симметрии  $W1$  полученное с использованием различных комбинаций  $Q_1$ -векторов для  $\text{Au}+\text{Au}$ @1.23A ГэВ (слева),  $\text{Ag}+\text{Ag}$ @1.23A ГэВ (посередине) и  $\text{Ag}+\text{Ag}$ @1.58A ГэВ (справа)

## 3.2 Эксперимент BM@N

### 3.2.1 Кинематические окна, в которых были определены $Q_1$ -вектора

Для восстановления плоскости симметрии в эксперименте BM@N была использована информация с калориметра FHCAL. Модули детектора были разделены на 3 группы согласно их псевдобыстроте ( $F1$ ,  $F2$  и  $F3$ ). Схематические группы модулей изображены различными цветами на рис. 3.6 слева.

Дополнительно для исследования вклада непотоковых корреляций в измеренные значения коллективной анизотропии были введены два  $Q_1$ -вектора из треков заряженных частиц. Вектор  $Tp$  построен для протонов со значениями быстроты  $0.4 < y_{cm} < 0.6$  и поперечным импульсом  $0.2 < p_T < 2.0 \text{ GeV}/c$ . Вектор  $T\pi$  формировался для отрицательных пионов с быстротой и поперечным импульсом  $0.2 < y_{cm} < 0.8$  и  $0.1 < p_T < 0.5 \text{ GeV}/c$  соответственно. Соответствующие кинематические области изображены красными прямоугольниками на рис. 3.6 справа.

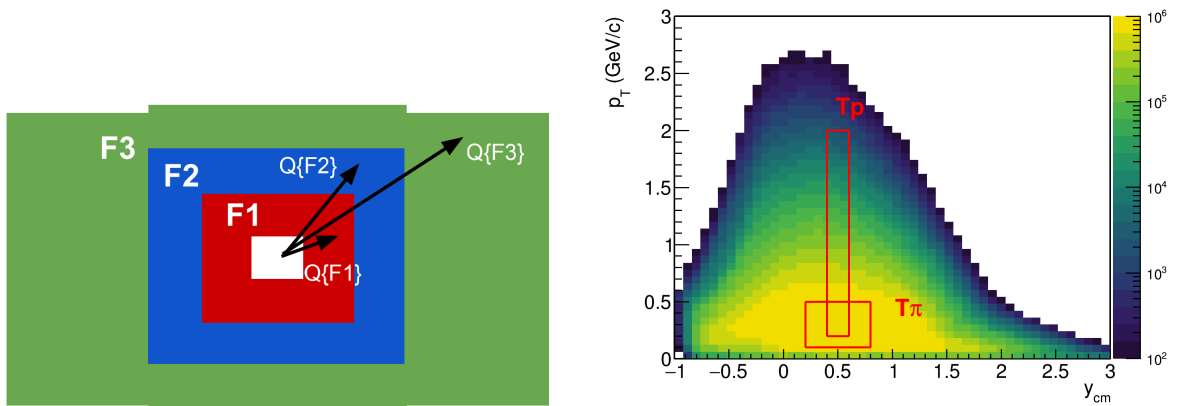


Рисунок 3.6 — Слева: Схема разделения модулей переднего адронного калориметра по группам для определения плоскости симметрии события. Справа: Кинематические окна для подсчета  $Q_1$ -векторов из треков заряженных частиц.

### 3.3 Выводы к главе 3

В главе обсуждаются методы определения плоскости симметрии столкновения а также способы вычисления разрешения плоскости симметрии при помощи переднего годоскопа FW в эксперименте HADES. Приводятся результаты применения коррекций на азимутальную анизотропию аксептанса установки HADES и обсуждаются остаточные систематические погрешности, связанные с этим эффектом. В главе представлены значения поправочного коэффициента разрешения  $R_1$  для плоскостей симметрии, определенных при помощи переднего годоскопа FW. Обсуждаются методы минимизации систематической ошибки связанной с непотоковыми корреляциями и вычисляется остаточная систематическая ошибка. В главе представлены кинематические диапазоны, использованные для вычисления  $Q_1$ -векторов в Монте-Карло симуляции эксперимента BM@N.

## Глава 4. Результаты анализа коллективной анизотропии

### 4.1 Результаты анализа экспериментальных данных HADES

### 4.2 Оценка вклада непотоковых корреляций в значения поправочного коэффициента разрешения $R_1$

Для оценки систематики из-за непотоковых корреляций в полученных результатах  $v_1$ , был использован аналогичный метод, что и для разрешения плоскости симметрии. Для каждой плоскости симметрии, направленный поток может быть скорректирован на поправочный коэффициент разрешения рассчитанный с использованием различных комбинаций  $Q_1$ -векторов. Сравнивая значения поправочного коэффициента, полученного при помощи различных комбинаций, можно оценить вклад непотоковых корреляций между  $Q_1$ -векторами. Для проверки величины непотоковых корреляций между векторами частиц  $u_1$  и вектором плоскости симметрии  $Q_1$ , можно сравнить значения  $v_1$ , полученные относительно различных плоскостей симметрии. Таким образом, сравнивая направленный поток  $v_1$ , полученный относительно различных плоскостей симметрии и деленный на поправочный коэффициент разрешения, вычисленный с использованием различных комбинаций  $Q_1$ -векторов.

На рис. 4.1 представлен направленный поток протонов  $v_1$ , рожденных в столкновении Au+Au при энергии  $E_{kin} = 1.23A$  ГэВ, как функция центральности столкновения, измеренный относительно различных  $Q_1$ -векторов. Коррекция на поправочный коэффициент разрешения выполнена с использованием различных комбинаций  $Q_1$ -векторов. Слева представлены значения  $v_1$  протонов измеренный относительно внутреннего подсобытия W1, справа — внешнего подсобытия W3 и подсобытия из треков заряженных частиц Mf. Результаты для комбинаций подсобытий, разделенных по быстроте, таких как например,  $W1(Mf, W3)$  и  $W1(Mb, W3)$  согласуются между собой в пределах 2%, за исключением наиболее центральных событий. Результаты для  $v_1$ , полученные с использованием комбинации не разделенных по быстроте  $Q_1$ -векторов (напри-

мер  $W1(W2,W3)$ ) значительно отличаются. Направленный поток протонов  $v_1$ , измеренный относительно различных плоскостей симметрии  $W1$  и  $W3$ , так же согласуется в пределах 2%. Значения  $v_1$  протонов, полученные относительно треков заряженных частиц  $Mf$ , систематически отличается от результатов полученных относительно плоскостей  $W1$  и  $W3$ . Отсюда можно сделать вывод о высокой примеси рожденных частиц в подсобытии  $Mf$ . В то же самое время, примесь рожденных частиц в подсобытиях  $W1$  и  $W3$  достаточно мала. В дальнейшем в качестве значений  $v_1$  протонов будет использовано среднее по всем комбинациям  $Q_1$ -векторов, разделенных по быстроте.

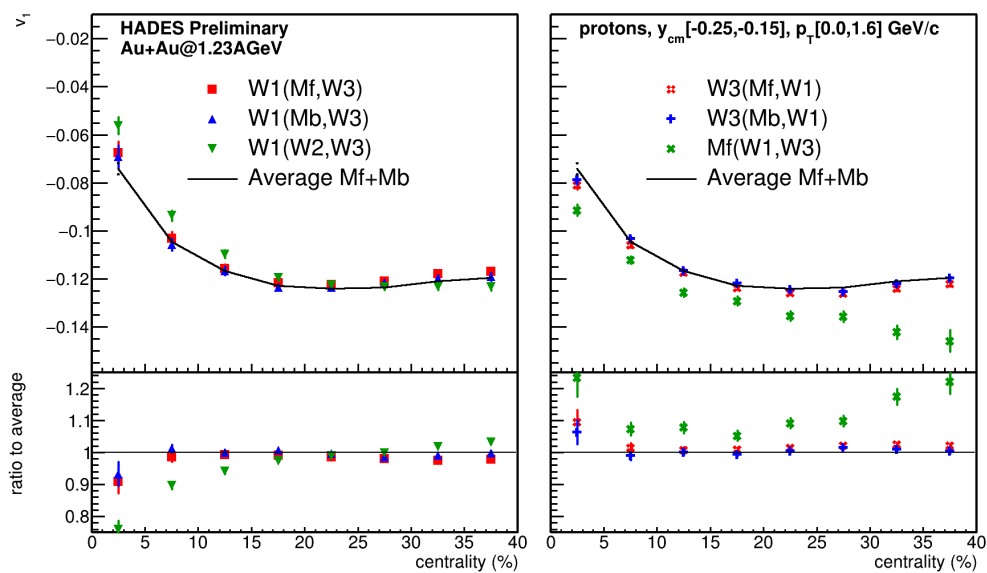


Рисунок 4.1 — Направленный поток протонов  $v_1$  рожденных в столкновении Au+Au при энергии  $E_{kin} = 1.23A$  ГэВ как функция центральности столкновения, измеренный при помощи различных комбинаций  $Q_1$ -векторов.

Слева представлены значения  $v_1$  протонов измеренный относительно внутреннего подсобытия W1, справа — внешнего подсобытия W3 и подсобытия из треков заряженных частиц Mf. Черной линией представлено среднее результатов полученных при помощи разделенных по быстроте комбинаций.

#### 4.2.1 Сравнение методов плоскости события и скалярного произведения

Измерения направленного потока в [35] были выполнены используя метод плоскости события. Для оценки возможной систематики, связанной с этим методом измерения  $v_1$ , направленный поток был рассчитан также методом скалярного произведения. Сравнение результатов полученных этими двумя методами позволит оценить вклад нелинейной зависимости  $v_1\{EP\}$  от акцептанса установки и реального значения  $v_1$ .

На рисунке 4.2 представлен направленный поток протонов рожденных в столкновениях Au+Au при энергии  $E_{kin} = 1.23A$  ГэВ как функция центральности, измеренный методом плоскости события и скалярного произведения. Значения  $v_1$ , полученные различными методами, хорошо согласуются между собой с учетом статистической ошибки.

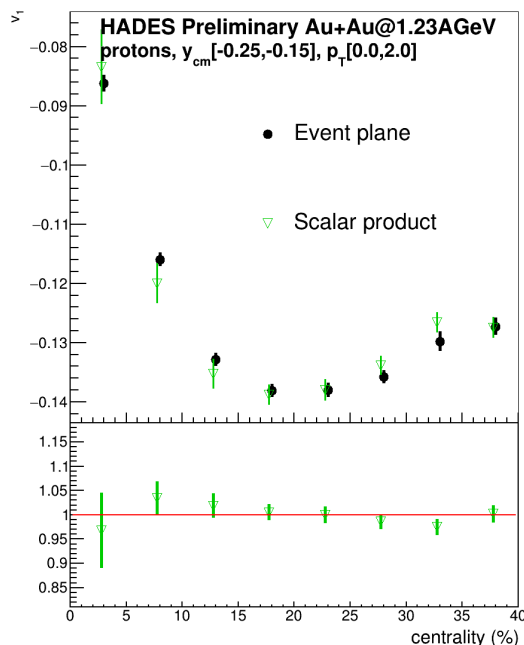


Рисунок 4.2 — Направленный поток протонов  $v_1$ , рожденных в столкновении Au+Au при энергии  $E_{kin} = 1.23A$  ГэВ как функция центральности столкновения. Результаты показаны для методов скалярного произведения (SP) и плоскости события (EP).

#### 4.2.2 Сравнение методов случайных подсобытий и метода трёх подсобытий

На рис. 4.3 показан направленный поток  $v_1$  протонов, рожденных в столкновении Au+Au при энергии  $E_{kin} = 1.23A$  ГэВ (слева), Ag + Ag при энергии  $E_{kin} = 1.23A$  ГэВ (посередине) и Ag + Ag при энергии  $E_{kin} = 1.58A$  ГэВ (справа) как функция центральности столкновения. Результаты представлены для методов трех подсобытий и метода случайных подсобытий. Для столкновений Au + Au при энергии  $E_{kin} = 1.23A$  ГэВ (слева) разница между двумя методами вычисления корректировочного коэффициента разрешения составляет менее 5% для среднечентральных столкновений. Однако для меньшей системы столкновения, разница значительно больше. Это может быть объяснено меньшей множественностью рожденных частиц и спектаторов, и большем относительном вкладе непотоковых корреляций между  $Q_1$ -векторами, используемыми для расчета разрешения плоскости симметрии. Наибольшая разница между двумя методами наблюдается для столкновений Ag + Ag при энергии  $E_{kin} = 1.58A$  ГэВ (справа). Этот факт объясняется меньшим значением направленного потока  $v_1$  спектаторов, отсюда больший относительный вклад непотоковых корреляций. На основании этого наблюдения, можно сделать вывод о ненадёжности метода случайных подсобытий для более лёгких систем.

#### 4.2.3 Оценка итоговой систематики в значения $v_1$ от непотоковых корреляций

На основании этих результатов, был сделан вывод о малом вкладе непотоковых корреляций в итоговые значения  $v_n$  протонов и лёгких ядер, измеренных на установке HADES. Эти результаты легли в основу систематической ошибки измерений коллективной анизотропии и позволили опубликовать полученные данные [35]. На рис. 4.4 приведен направленный поток  $v_1$  протонов рожденных в столкновениях ядер золота при кинетической энергии пучка  $E_{kin} = 1.23A$  ГэВ как функция быстроты и поперечного импульса.

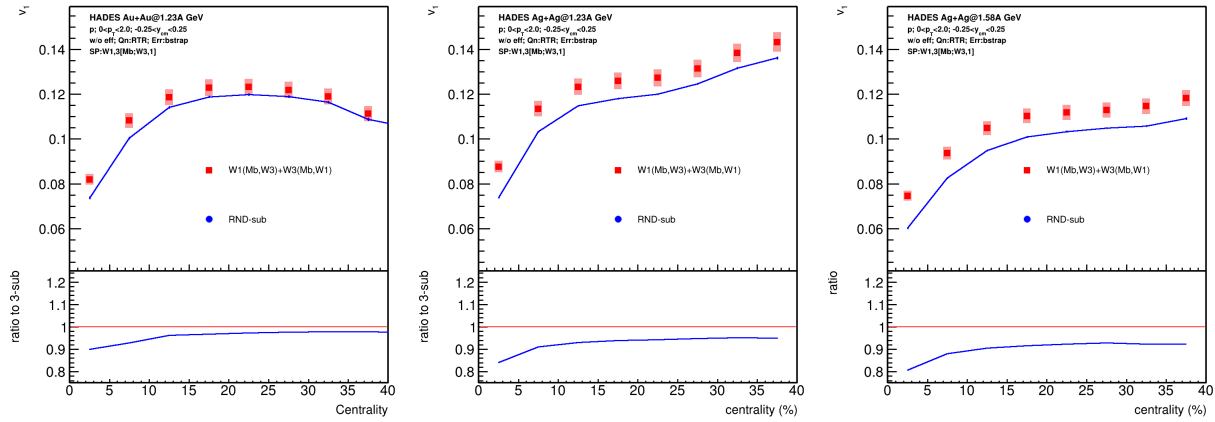


Рисунок 4.3 — Направленный поток  $v_1$  протонов, рожденных в столкновении Au+Au при энергии  $E_{kin}=1.23A$  ГэВ (слева), Ag + Ag при энергии  $E_{kin}=1.23A$  ГэВ (посередине) и Ag + Ag при энергии  $E_{kin}=1.58A$  ГэВ (справа) как функция центральности столкновения. Результаты показаны для методов трех подсобытий и метода случайных подсобытий.

#### 4.2.4 Сравнение результатов для $v_1$ протонов с опубликованными данными

На рис. 4.5 представлено сравнение направленного потока измеренного для столкновений Au + Au при энергии  $E_{kin}=1.23A$  ГэВ с опубликованными данными [35]. Направленный поток  $v_1$  как функция быстроты (слева) и поперечного импульса (справа) хорошо согласуется с опубликованной зависимостью для протонов.

#### 4.2.5 Направленный поток $v_1$ протонов как функции быстроты и поперечного импульса в столкновениях Au + Au и Ag + Ag

На рисунке 4.6 представлен направленный поток протонов  $v_1$  как функция (слева) быстроты системы центра масс  $y_{cm}$  и (справа) поперечного импульса  $p_T$  для столкновений Au+Au при энергии  $E_{kin}=1.23A$  ГэВ и Ag+Ag при энергиях  $E_{kin}=1.23A$  и  $1.58A$  ГэВ. Значения  $v_1$  протонов, в столкновениях Au+Au и Ag+Ag при одной энергии, хорошо согласуются с учетом система-

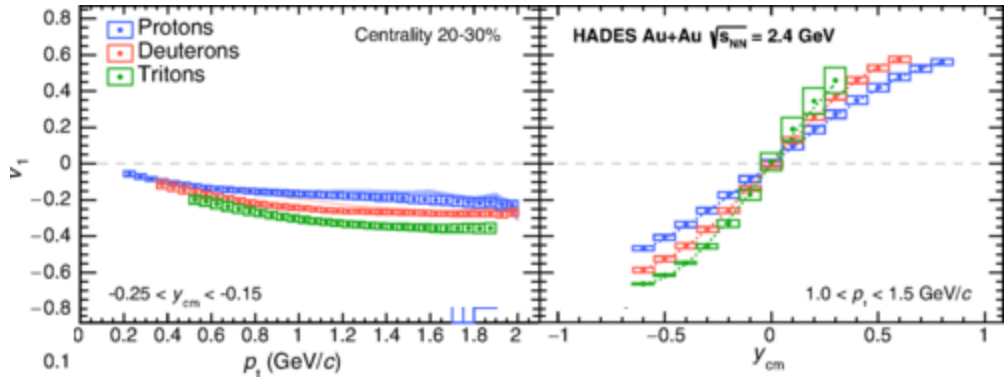


Рисунок 4.4 — Направленный поток ( $v_1$ ) протонов, дейтронов и тритонов рожденных в столкновении Au+Au при энергии  $E_{kin} = 1.23A$  ГэВ как функция быстроты (справа) и поперечного импульса (слева).

тической ошибки. Протоны, рожденные в столкновениях Ag+Ag при большей энергии  $E_{kin} = 1.58A$  ГэВ обладают меньшим  $v_1$ , поскольку направленный поток чувствителен ко времени взаимодействия области перекрытия и остатков сталкивающихся ядер. Чем меньше время взаимодействия (чем больше энергия столкновения) тем меньше итоговое значение направленного потока.

Модель JAM [12] с импульсно зависимым потенциалом хорошо описывает магнитуду  $v_1$  протонов и зависимость наблюдаемой от быстроты  $y_{cm}$ . Однако модель не способна описать зависимость  $v_1$  от поперечного импульса  $p_T$ .

#### 4.2.6 Проверка теоретических предсказаний эффектов масштабирования $v_1$ протонов в реалистичной модели Jet A-A Model (JAM)

На рис. 4.7 представлены теоретические предсказания значений направленного потока протонов  $v_1$  как функция быстроты столкновения  $y_{cm}$  (слева) и быстроты, нормированной на быстроту пучка  $y' = y_{cm}/y_{beam}$  (справа) из модели JAM. Результаты для различных систем при одной энергии столкновения хорошо согласуются между собой и с экспериментальными данными для  $v_1$  в столкновениях Au + Au при энергии  $E_{kin}=1.23A$  ГэВ. После нормировки быстроты столкновения на быстроту пучка, результаты можно описать единой кривой.

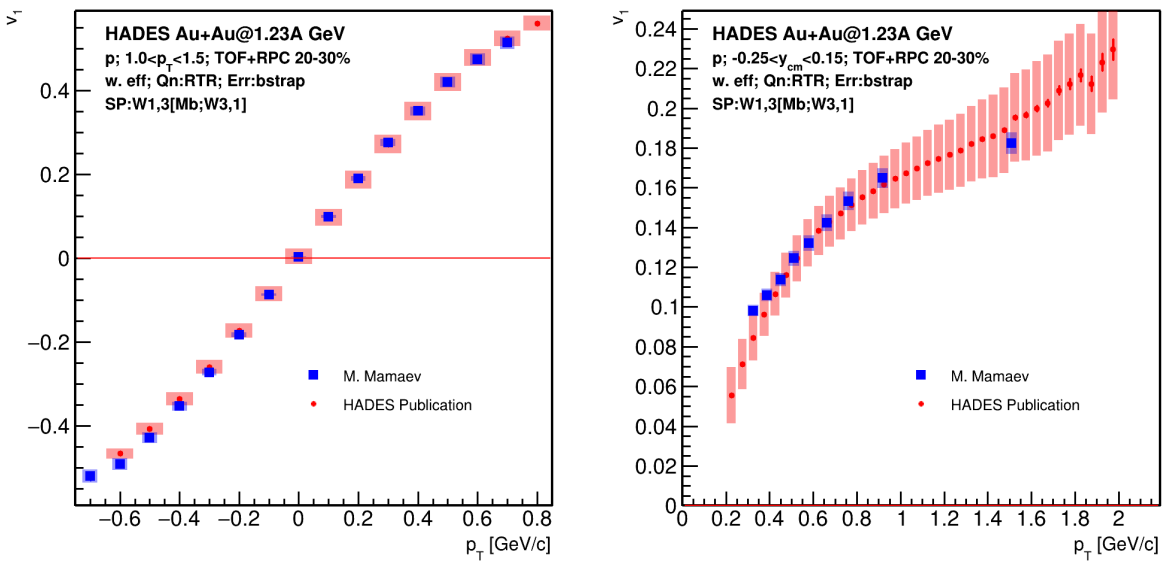


Рисунок 4.5 — Направленный поток ( $v_1$ ) протонов рожденных в столкновении Au+Au при энергии  $E_{kin} = 1.23A$  ГэВ как функция быстроты (справа) и поперечного импульса (слева). Сравнение полученных результатов с опубликованными данными [35].

Этот факт свидетельствует о едином механизме образования направленного потока в данной области энергии в тяжелых системах.

#### 4.2.7 Проверка эффектов масштабирования наклона направленного потока протонов в средних быстротах $dv_1/dy|_{y=0}$

Зависимость направленного потока протонов  $v_1$  как функция быстроты была параметризована кубической функцией  $v_1(y_{cm}) = a_0 + a_1 y_{cm} + a_3 y_{cm}^3$ . Затем наклон направленного потока протонов в нуле быстроты  $dv_1/dy_{cm}|_{y_{cm}=0}$  был извлечен как параметр  $a_1$ . На рис. 4.8 слева приведена зависимость наклона направленного потока в нуле быстроты как функция центральности столкновения. Наклоны  $dv_1/dy_{cm}|_{y_{cm}=0}$  протонов для столкновений Au+Au и Ag+Ag при одной энергии хорошо согласуются между собой за исключением наиболее центральных событий. Поскольку при большей энергии время пролета двух ионов меньше, наклон направленного потока протонов в столкновениях Ag+Ag при энергии  $E_{kin} = 1.58A$  ГэВ заметно меньше. Для коррекции на время пролета,

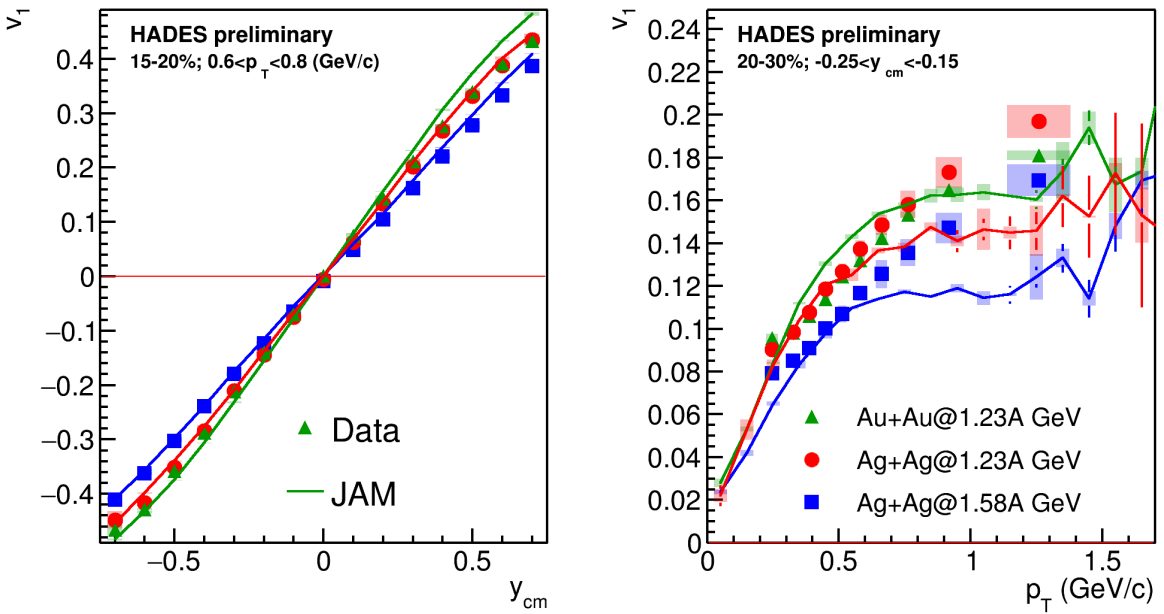


Рисунок 4.6 — Направленный поток протонов  $v_1$  как функция (слева) быстроты системы центра масс  $y_{cm}$  и (справа) поперечного импульса  $p_T$  для столкновений Au+Au при энергии  $E_{kin} = 1.23A$  ГэВ и Ag+Ag при энергиях  $E_{kin} = 1.23A$  и  $1.58A$  ГэВ. Линиями показаны данные, полученные из модели JAM с импульсно-зависимым потенциалом.

наклон направленного потока протонов  $dv_1/dy_{cm}|_{y_{cm}=0}$  был нормирован на быстроту пучка  $dv_1/dy_{cm}|_{y_{cm}=0} \times y_b = dv_1/dy'|_{y'=0}$ , где  $y_b$  — быстрота пучка (0.74 для  $E_{kin} = 1.23A$  ГэВ и 0.82 для  $E_{kin} = 1.58A$  ГэВ) и  $y' = y_{cm}/y_b$ . Наклон направленного потока протонов нормированный на быстроту  $dv_1/dy'|_{y'=0}$  пучка как функция центральности показан на рис. 4.8 в центре. За исключением наиболее центральных событий, зависимость наклона от центральности описывается одной кривой для всех трех наборов данных. В каждом классе центральности был вычислен средний прицельный параметр  $\langle b \rangle$ . Радиус ядра пропорционален корню кубическому из массового числа  $r_N \propto A^{1/3}$ . Для устранения зависимости от размера сталкиваемых ядер, средний прицельный параметр в классе центральности был нормирован на  $A^{1/3}$ . Наклон направленного потока протонов, нормированный на быстроту пучка  $dv_1/dy'|_{y'=0}$  как функция относительного прицельного параметра  $\langle b \rangle/A^{1/3}$  представлен на рис 4.8 справа. Данное преобразование улучшило согласие зависимостей наклона в центральных событиях.

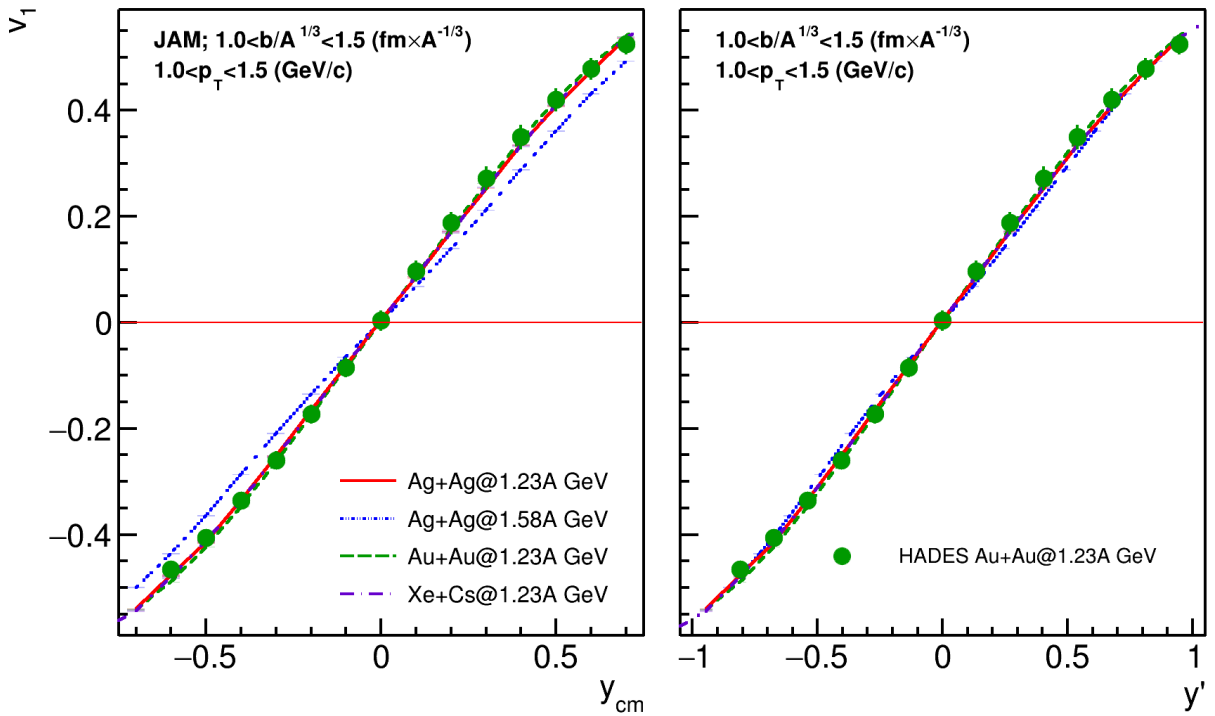


Рисунок 4.7 — Направленный поток протонов  $v_1$  как функция быстроты столкновения  $y_{cm}$  (слева) и быстроты, нормированной на быстроту пучка  $y' = y_{cm}/y_{beam}$  (справа) из модели ЯМ.

#### 4.2.8 Эффекты масштабирования для направленного потока $v_1$ протонов как функция поперечного импульса

На рис. 4.9 представлена зависимость от поперечного импульса  $p_T$  направленного потока  $v_1$  (слева) и направленного потока, нормированного на наклон в средних быстротах  $v_1/dv_1/dy|_{y=0}$  (справа). Результаты до нормировки для столкновений Au + Au и Ag + Ag при одной энергии находятся в хорошем согласии с учетом систематической ошибки. Результаты для столкновений Ag + Ag при большей энергии систематически ниже, поскольку величина направленного потока  $v_1$  зависит от времени пролета сталкивающихся ядер  $t_{pass}$ , которая меньше при более высокой энергии. После нормировки (см. справа), все результаты ложатся на единую кривую. Этот факт может свидетельствовать о едином механизме образования направленного потока в этой области энергии.

Описанный выше эффект был также обнаружен в модели с импульсно-зависимым потенциалом ЯМ. На рис. 4.10 представлена зависимость от попе-

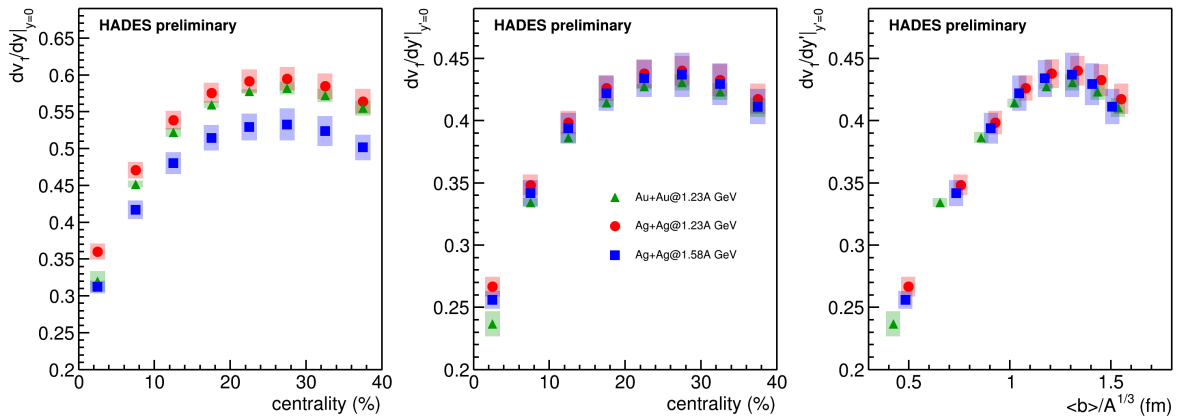


Рисунок 4.8 — (Слева) Наклон направленного потока в нуле быстроты  $dv_1/dy|_{y_{cm}=0}$  как функция центральности столкновений; (посередине) наклон направленного потока в нуле быстроты нормированный на быстроту пучка  $dv_1/dy|_{y'=0}$  как функция центральности столкновений; (справа) наклон направленного потока в нуле быстроты нормированный на быстроту пучка  $dv_1/dy|_{y'=0}$  как функция среднего прицельного параметра в классах центральности для столкновений Au+Au при энергии  $E_{kin} = 1.23A$  ГэВ и Ag+Ag при энергиях  $E_{kin} = 1.23A$  и  $1.58A$  ГэВ.

речного импульса  $p_T$  направленного потока  $v_1$  (слева) и направленного потока, нормированного на наклон в средних быстротах  $v_1/dv_1/dy|_{y=0}$  (справа) для различных систем из модели ЯМ. До нормировки результаты для направленного потока как функция  $p_T$  для столкновений при одной энергии так же находятся в довольно хорошем согласии. После нормировки, теоретические предсказания так же ложатся на единую кривую.

#### 4.2.9 Сравнение измеренного наклона направленного потока протонов в средних быстротах с мировыми данными

Сравнение полученных значений наклона направленного потока протонов  $dv_1/dy|_{y_{cm}=0}$  с существующими результатами показано на рис. 4.11. Значения  $dv_1/dy|_{y_{cm}=0}$  протонов в столкновениях Au + Au при  $E_{kin} = 1.23A$  ГэВ и Ag + Ag при  $E_{kin} = 1.23A$  и при  $E_{kin} = 1.58A$  ГэВ согласуются с измерениями с ранее доступными данными с других экспериментов.

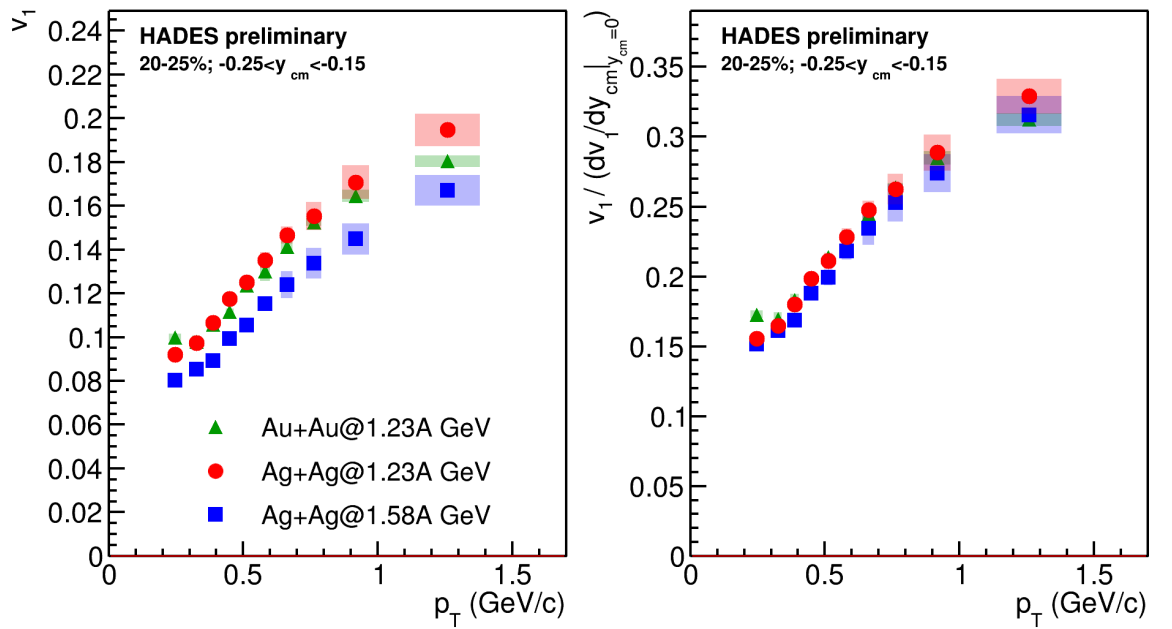


Рисунок 4.9 — Направленный поток протонов  $v_1$  как функция поперечного импульса  $p_T$ . Слева: направленный поток  $v_1$ , справа: направленный поток, нормированный на наклон в средних быстротах  $v_1/dv_1/dy|_{y=0}$ .

### 4.3 Результаты анализа Монте-Карло моделирования эксперимента BM@N

#### 4.3.1 Коррекция на азимутальную неоднородность аксептанса установки

Эффект применения коррекций на азимутальную неоднородность детектора представлен на рис 4.12.

Результаты получены для реалистичного моделирования отклика детектора с использованием программного пакета GEANT4. Разными цветами обозначен результат  $v_1$  протонов, полученный с использованием различных компонент  $u_1$ -вектора. Маркеры обозначают результаты до и после коррекции на азимутальную неоднородность детектора. Черной линией обозначена зависимость  $v_1$  протонов извлеченная напрямую из модели без реконструкции. После применения 3 ступеней коррекции, результаты полученные при помощи  $YY$  корреляции  $u_1$  и  $Q_1$ -векторов, хорошо согласуются с результатами извлеченными напрямую

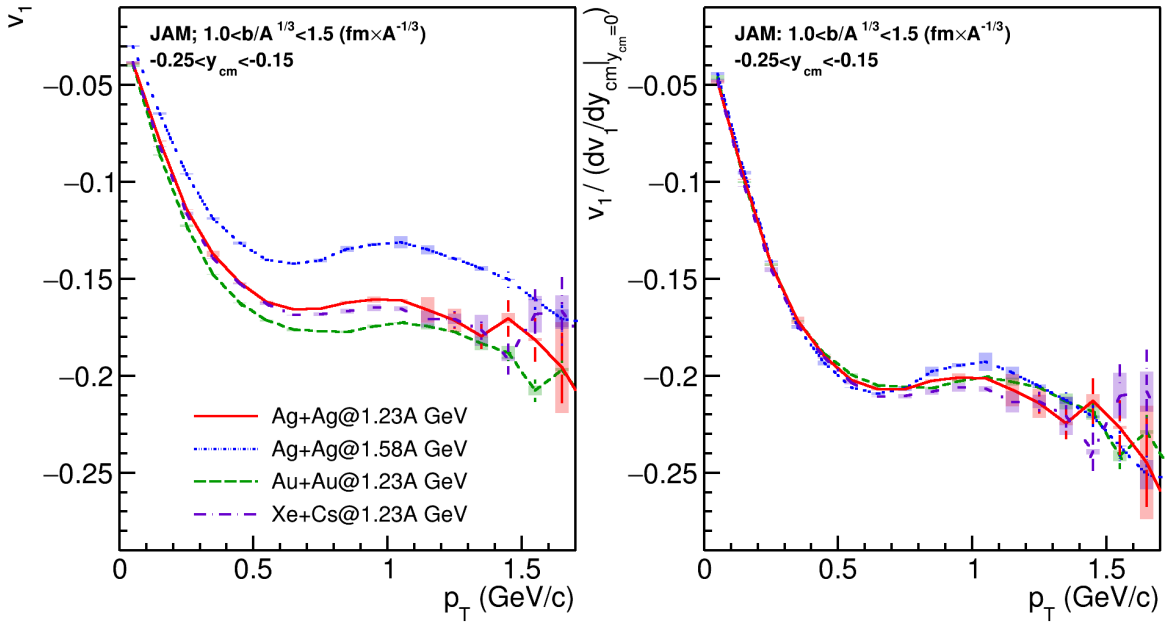


Рисунок 4.10 — Направленный поток протонов  $v_1$  как функция поперечного импульса  $p_T$  в модели ЯМ для различных сталкиваемых систем. Слева: направленный поток  $v_1$ , справа: направленный поток, нормированный на наклон в средних быстротах  $v_1/dv_1/dy|_{y=0}$ .

из модели. Напротив,  $v_1$ , посчитанный с использованием  $XX$ -компонент, расходится с модельной зависимостью  $v_1$  от быстроты. Причиной может служить отклонение частиц в направлении оси  $x$  в магнитном поле. В связи с этим, в дальнейшем для анализа будет использованы лишь корреляции  $YY$ -компонент  $u_1$  и  $Q_1$ -векторов.

### 4.3.2 Вычисление разрешения плоскости симметрии

На рис. 4.13 представлено разрешение плоскости симметрий  $F1, F2, F3$  (слева направо). Аналогично, разрешение посчитанное с использованием комбинаций, не разделенных по быстроте  $Q_1$ -векторов (к примеру,  $F1(F2,F3)$ ), отличается от значений рассчитанных при помощи комбинаций со значительным разделением по быстроте (к примеру,  $F1(Tp,F3)$ ). Значения  $R_1$ , полученные при помощи разделенных по быстроте комбинаций, согласуются между собой

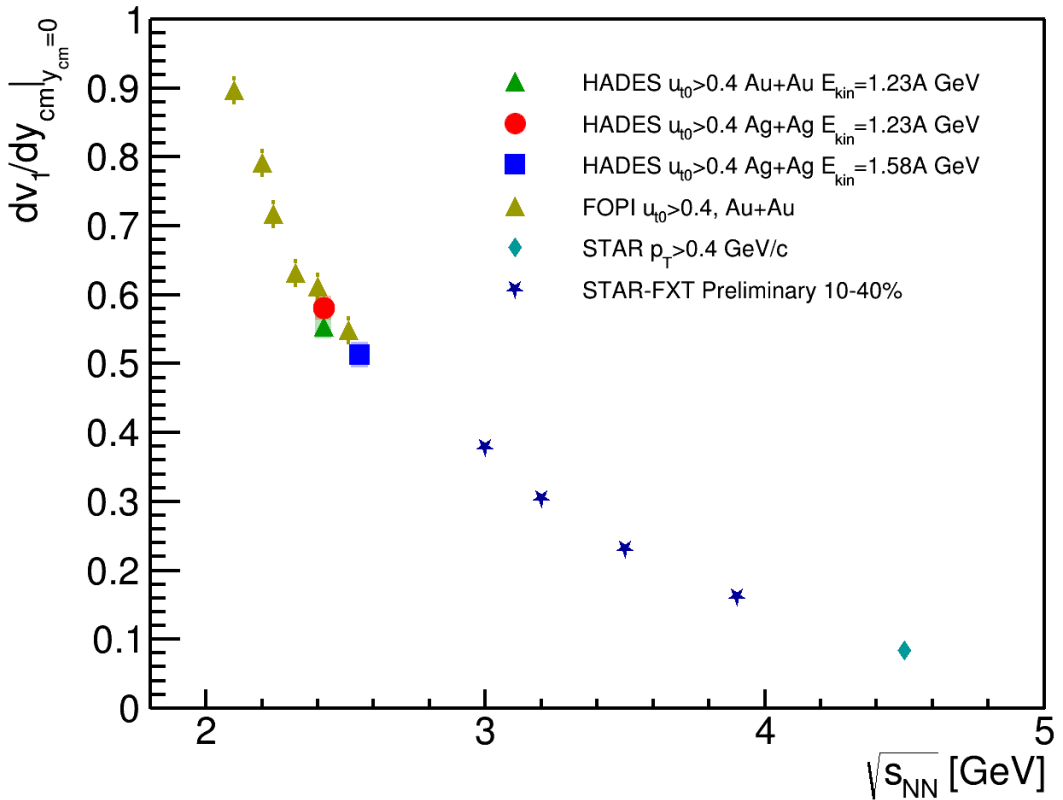


Рисунок 4.11 — Направленный поток протонов  $dv_1/dy|_{y_{cm}=0}$  как функция энергии столкновения  $\sqrt{s_{NN}}$ . Экспериментальные значения наклона направленного потока были взяты из следующих публикаций: E895 [10], FOPI [20], STAR [42].

в пределах статистической ошибки для всех трех плоскостей симметрии. Значительное отличие разрешений, полученных с использованием комбинаций не разделенных по быстроте  $Q_1$ -векторов, может быть объяснено распространением адронного ливня в поперечном направлении, что вызывает дополнительные корреляции между векторами  $F1$  и  $F2$ , и  $F1$  и  $F3$ .

#### 4.3.3 Исследование возможности измерения направленного и эллиптического потоков в эксперименте BM@N

На рис. 4.14 слева представлен направленный поток протонов, как функция быстроты в Монте-Карло моделировании столкновений  $Xe + Cs$  из модели JAM. На рис. 4.14 справа показан эллиптический поток протонов, как функция

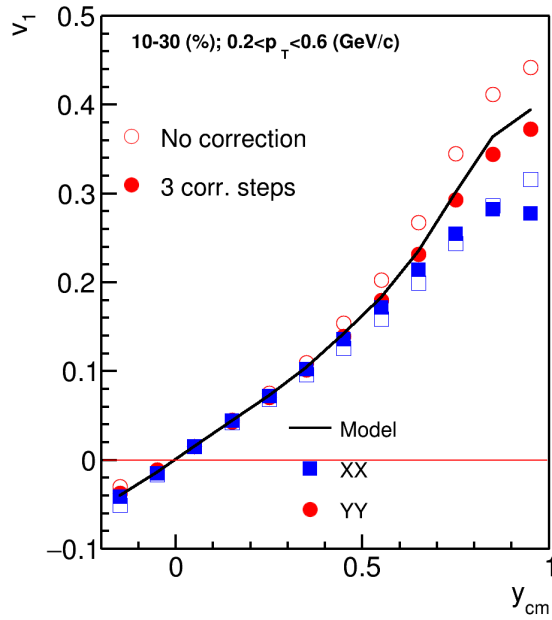


Рисунок 4.12 — Сравнение направленного потока  $v_1$  протонов рожденных в Монте-Карло моделировании столкновений Xe+Cs в эксперименте BM@N.

Направленный поток получен с использованием различных компонент  $u_1$ -вектора. Разными маркерами обозначены результаты до и после коррекции на азимутальную неоднородность аксептанса детектора.

поперечного импульса в Монте-Карло моделировании столкновений  $Xe + Cs$  из модели ЯМ. Разными цветами обозначена разная энергия столкновений. Линии обозначают  $v_1$  и  $v_2$  извлеченные напрямую из модели без реконструкции. Маркерами обозначены результаты анализа Монте-Карло моделирования отклика детектора. Между данными извлеченными из модели и результатами анализа после реалистичной цепочки реконструкции наблюдается согласие в пределах статистической ошибки.

#### 4.4 Выводы к главе 4

В главе приводятся результаты измерения направленного потока в столкновениях Au+Au при энергии  $1.23A$  ГэВ и Ag+Ag при энергиях  $1.23$  и  $1.58A$  ГэВ в эксперименте HADES. Результаты для  $v_1$  протонов согласуются с опубликованными коллаборацией HADES. В главе приводится детальное описание про-

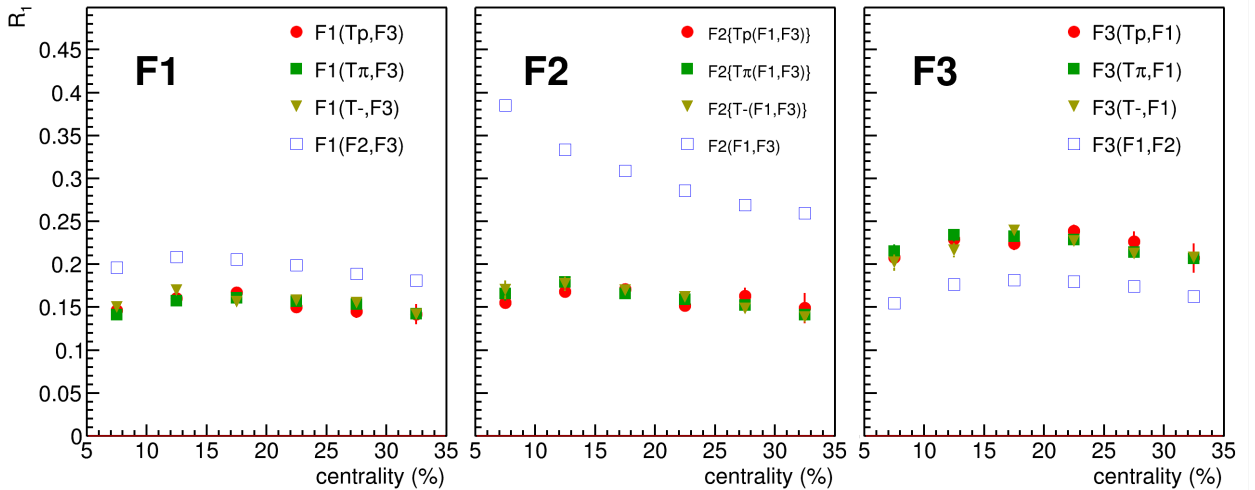


Рисунок 4.13 — Разрешение плоскостей симметрии слева:  $F_1$ , посередине:  $F_2$ , справа:  $F_3$ . Различные маркеры и цвета обозначают комбинации  $Q_1$ -векторов, использованных для расчета разрешения плоскости симметрии.

цесса вычисления систематической ошибки, связанной с непотоковыми корреляциями, включенными в финальный опубликованный результат [35]. Произведено сравнение методов вычисления  $v_1$ : методов плоскости события и скалярного произведения и систематическая разница оказалась в пределах статистической ошибки. Сравнение направленного потока протонов, измеренных при помощи метода случайных и метода трех подсобытий показывает систематическую разницу порядка 5% для среднечентральных столкновений ядер Au+Au. Использование метода случайных подсобытий для вычисления  $v_1$  протонов в столкновениях ядер Ag+Ag даёт большую систематическую ошибку, которая может достигать 15%. На основании этих оценок, была вычислена систематическая ошибка на измеренные значения коллективных потоков протонов, включенная в публикацию [35]. В главе обсуждаются свойства масштабирования направленного потока протонов  $v_1$  с энергией столкновений и размером системы. Обнаружено, что направленный поток протонов не зависит от энергии столкновений и размера системы в столкновениях Au+Au при энергии 1.23A ГэВ и Ag+Ag при энергиях 1.23 и 1.58A ГэВ в эксперименте HADES. Значения наклона направленного потока  $dv_1/dy$  после коррекции на размер системы и быстроту пучка описываются универсальной зависимостью от относительного прицельного параметра. Наклон направленного потока  $dv_1/dy$  в столкновениях Au+Au при энергии 1.23A ГэВ и Ag+Ag при энергиях 1.23 и 1.58A ГэВ в

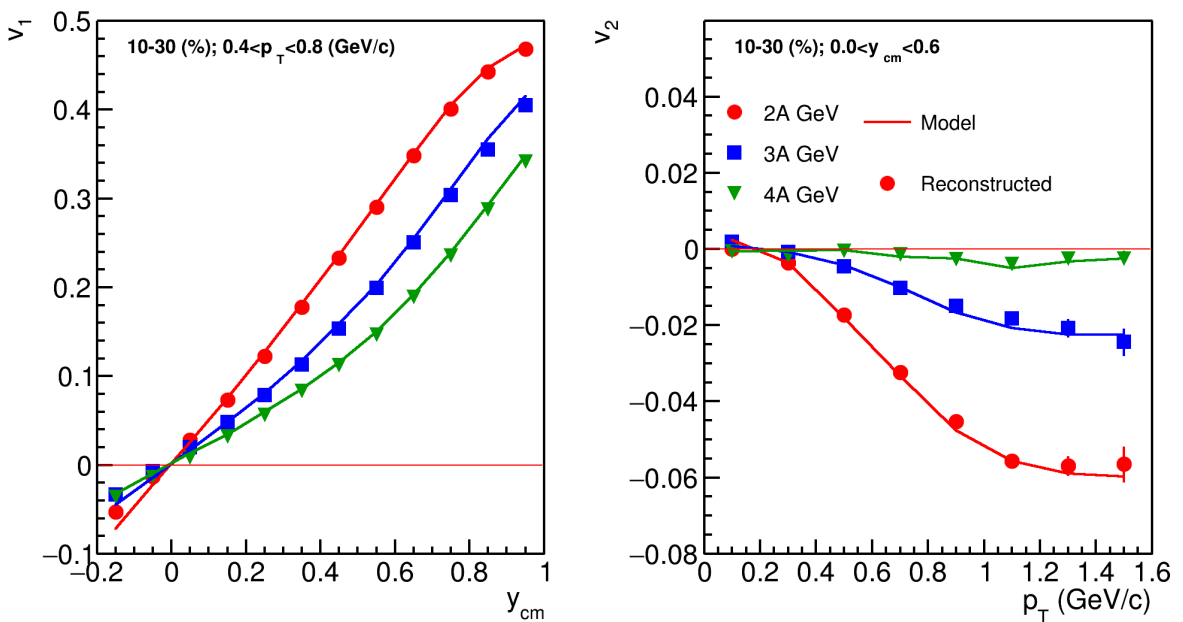


Рисунок 4.14 — Направленный (слева) и эллиптический (справа) поток протонов как функция быстроты и поперечного импульса соответственно в Монте-Карло моделировании столкновений  $Xe + Cs$  из модели JAM. Разными цветами обозначена разная энергия столкновений. Линии обозначают  $v_1$  и  $v_2$  извлеченные напрямую из модели без реконструкции. Маркерами обозначены результаты анализа Монте-Карло моделирования отклика детектора.

эксперименте HADES хорошо согласуется с мировыми данными. В главе представлены результаты исследования Монте-Карло моделирования эксперимента BM@N на возможность измерения направленного и эллиптического потока в первом физическом сеансе установки. Используя методы, опробованные на экспериментальных данных набранных на установке HADES, была разработана физическая программа измерения коллективной анизотропии в эксперименте BM@N.

## Заключение

Основные результаты работы заключаются в следующем.

1. Разработан метод учета корреляций не связанных с коллективным движением рожденных частиц (непотоковых корреляций) и изучено их влияние на результаты измерения коллективных потоков в области энергий 1.2-4 АГэВ.
2. Впервые получены зависимости  $v_1$  протонов от быстроты и поперечного импульса, а так же наклона  $dv_1/dy_{cm}|_{y_{cm}}$  в области средних быстрот в столкновениях Au + Au при энергии  $E_{kin} = 1.23A$  ГэВ и Ag + Ag при энергиях  $E_{kin} = 1.23A$  и  $E_{kin} = 1.58A$  ГэВ в эксперименте HADES. Полученные новые результаты измерения  $v_1$  протонов современными методами анализа являются принципиально важными для проверки и дальнейшего развития теоретических моделей ядро-ядерных столкновений.
3. Обнаружено масштабирование направленного потока протонов с временем пролета ядер  $t_{pass}$  и геометрией столкновения в области энергий  $E_{kin} = 1.23A$  и  $E_{kin} = 1.58A$  ГэВ, что позволяет оценить влияние спектаторов налетающего ядра на формирование направленного потока протонов.
4. На основе моделирования установки детально изучены возможности измерения коллективных потоков протонов на экспериментальной установке BM@N на ускорителе NUCLOTRON-NICA (ОИЯИ, Дубна). Это позволило расширить существующую физическую программу эксперимента BM@N.

И какая-нибудь заключающая фраза.

## Словарь терминов

**Фазовая диаграмма** — графическое отображение равновесного состояния бесконечной физико-химической системы при условиях, отвечающих координатам рассматриваемой точки на диаграмме (носит название фигуративной точки).

**Бариохимический потенциал** — термодинамическая функция, применяемая при описании состояния систем с переменным числом частиц. Определяет изменение термодинамических потенциалов при изменении числа частиц в системе. Представляет собой адиабатическую энергию добавления одного бариона в систему без совершения работы.

**Прицельный параметр** — отрезок, соединяющий центры сталкивающихся ядер.

**Плоскость реакции** — плоскость определенная направлениями пучка и прицельного параметра.

**Плоскость симметрии** — экспериментальная оценка плоскости реакции в конкретном событии столкновения ядер.

**Угол плоскости реакции (симметрии)** — азимутальный угол плоскости реакции (симметрии).

**Нуклон-участник (партиципант)** — нуклон, претерпевший неупругое рассеяние в процессе столкновения двух ядер.

**Нуклон-наблюдатель (спектатор)** — нуклон, претерпевший упругое рассеяние в процессе столкновения двух ядер.

**Рожденная в столкновении частица** — частица, которая является продуктом реакции неупругого рассеяния нуклонов-участников.

**Поперечный импульс,  $p_T$**  — проекция импульса на плоскость поперечную направлению пучка.

**Продольный импульс,  $p_z$**  — проекция импульса на ось направления пучка.

**Полная энергия,  $E$**  — релятивистская энергия частицы,  $E = \sqrt{mc^2 + p^2}$ .

**Быстрота** — Величина, определенная по формуле  $y = 0.5 \ln \frac{E+p_z}{E-p_z}$ , где  $E$  — полная энергия частицы,  $p_z$  — продольный импульс частицы. Аддитивна относительно преобразований Лоренца.

**Коллективные анизотропные потоки** — коэффициенты разложения в ряд Фурье азимутального распределения частиц относительно плоскости реакции.

**Направленный поток**,  $v_1$  — первый коэффициент разложения в ряд Фурье азимутального распределения частиц относительно плоскости реакции.

**Эллиптический поток**,  $v_2$  — второй коэффициент разложения в ряд Фурье азимутального распределения частиц относительно плоскости реакции.

**Центральность столкновения** — отношение сечения взаимодействия данной группы столкновений к полному сечению неупругого взаимодействия.

**Непотоковые корреляции** — корреляции, не связанные с коллективным движением частиц.

**Единичный вектор частицы**,  $u_n$  — вектор, поставленный в соответствие каждой частицы в событии столкновения ядер. Определяется как  $u_n = \cos n\phi, \sin n\phi$ , где  $\phi$  — азимутальный угол частицы.

**Вектор события**,  $Q_n$  — вектор, определенный как сумма по группе  $u_n$ -векторов в одном событии. Является оценкой ориентации плоскости реакции в данном событии.

**Поправочный коэффициент разрешения плоскости симметрии**,  $R_n$  — коэффициент, определенный как средний косинус разности угла плоскости реакции и плоскости симметрии  $R_n = \langle \cos n(\Psi_S - \Psi_R) \rangle$ , где  $\Psi_R$  — угол плоскости реакции,  $\Psi_S$  — угол плоскости симметрии.

## Список литературы

1. *Danielewicz P., Lacey R., Lynch W. G.* Determination of the equation of state of dense matter // Science. — 2002. — т. 298. — с. 1592–1596.
2. Mapping the Phases of Quantum Chromodynamics with Beam Energy Scan / A. Bzdak [и др.] // Phys. Rept. — 2020. — т. 853. — с. 1—87.
3. *Xu N., et. al.* Nuclear Matter at High Density and Equation of State //. — 2022.
4. *Esumi S.* Results from beam energy scan program at RHIC-STAR // PoS. — 2022. — т. CPOD2021. — с. 001.
5. *Abgrall N., et. al.* NA61/SHINE facility at the CERN SPS: beams and detector system // JINST. — 2014. — т. 9. — P06005.
6. *Senger P.* The heavy-ion program at the upgraded Baryonic Matter@Nuclotron Experiment at NICA // PoS. — 2022. — т. CPOD2021. — с. 033.
7. *Agakishiev G., et. al.* The High-Acceptance Dielectron Spectrometer HADES // Eur. Phys. J. A. — 2009. — т. 41. — с. 243–277.
8. *Voloshin S. A., Poskanzer A. M., Snellings R.* Collective phenomena in non-central nuclear collisions // Landolt-Bornstein / под ред. R. Stock. — 2010. — т. 23. — с. 293–333.
9. *Pinkenburg C., et. al.* Elliptic flow: Transition from out-of-plane to in-plane emission in Au + Au collisions // Phys. Rev. Lett. — 1999. — т. 83. — с. 1295–1298.
10. *Liu H., et. al.* Sideward flow in Au + Au collisions between 2-A-GeV and 8-A-GeV // Phys. Rev. Lett. — 2000. — т. 84. — с. 5488–5492.
11. *Chung P., et. al.* Differential elliptic flow in 2-A-GeV - 6-A-GeV Au+Au collisions: A New constraint for the nuclear equation of state // Phys. Rev. C. — 2002. — т. 66. — с. 021901.
12. *Nara Y.* JAM: an event generator for high energy nuclear collisions // EPJ Web of Conferences. т. 208. — EDP Sciences. 2019. — с. 11004.
13. *Belenkij S. Z., Landau L. D.* Hydrodynamic theory of multiple production of particles // Usp. Fiz. Nauk. — 1955. — т. 56. — с. 309.

14. Highly excited nuclear matter / G. F. Chapline [и др.] // Phys. Rev. D. — 1973. — т. 8. — с. 4302—4308.
15. Scheid W., Muller H., Greiner W. Nuclear Shock Waves in Heavy-Ion Collisions // Phys. Rev. Lett. — 1974. — т. 32. — с. 741—745.
16. Gustafsson H. A., et. al. Collective Flow Observed in Relativistic Nuclear Collisions // Phys. Rev. Lett. — 1984. — т. 52. — с. 1590—1593.
17. Demoulin M., et. al. Measurement of a baryon azimuthal emission pattern in Ne + (NaF, Nb, Pb) collisions at 800-MeV per nucleon // Phys. Lett. B. — 1990. — т. 241. — с. 476—480.
18. Gustafsson H. A., et. al. OBSERVATION OF STRONG AZIMUTHAL ASYMMETRY BETWEEN SLOW AND FAST PARTICLES FROM HIGH-ENERGY NUCLEAR COLLISIONS // Z. Phys. A. — 1985. — т. 321. — с. 389—393.
19. A New Component of the Collective Flow in Relativistic Heavy Ion Collisions / H. H. Gutbrod [и др.] // Phys. Lett. B. — 1989. — т. 216. — с. 267—271.
20. Reisdorf W., et. al. Systematics of azimuthal asymmetries in heavy ion collisions in the 1 A GeV regime // Nucl. Phys. A. — 2012. — т. 876. — с. 1—60.
21. Herrmann N., Wessels J. P., Wienold T. Collective flow in heavy ion collisions // Ann. Rev. Nucl. Part. Sci. — 1999. — т. 49. — с. 581—632.
22. Voloshin S., Zhang Y. Flow study in relativistic nuclear collisions by Fourier expansion of Azimuthal particle distributions // Z. Phys. C. — 1996. — т. 70. — с. 665—672.
23. Poskanzer A. M., Voloshin S. A. Methods for analyzing anisotropic flow in relativistic nuclear collisions // Phys. Rev. C. — 1998. — т. 58. — с. 1671—1678.
24. Stock R. Relativistic nucleus–nucleus collisions: from the BEVALAC to RHIC // Journal of Physics G: Nuclear and Particle Physics. — 2004. — т. 30, № 8. — S633.
25. Kruse H., Jacak B. V., Stoecker H. Microscopic theory of pion production and sideways flow in heavy ion collisions // Phys. Rev. Lett. — 1985. — т. 54. — с. 289—292.

26. *Molitoris J. J., Stoecker H.* FURTHER EVIDENCE FOR A STIFF NUCLEAR EQUATION OF STATE FROM A TRANSVERSE MOMENTUM ANALYSIS OF Ar (1800-MEV/NUCLEON) + KCl // Phys. Rev. C. — 1985. — т. 32. — с. 346—348.
27. *Gale C., Bertsch G., Das Gupta S.* Heavy-ion collision theory with momentum-dependent interactions // Phys. Rev. C. — 1987. — т. 35. — с. 1666—1671.
28. Importance of Momentum Dependent Interactions for the Extraction of the Nuclear Equation of State From High-energy Heavy Ion Collisions / J. Aichelin [и др.] // Phys. Rev. Lett. — 1987. — т. 58. — с. 1926—1929.
29. Azimuthal distributions in heavy ion collisions and the nuclear equation of state / G. M. Welke [и др.] // Phys. Rev. C. — 1988. — т. 38. — с. 2101—2107.
30. Effects of Gogny-type interactions on the nuclear flow / F. Haddad [и др.] // Phys. Rev. C. — 1995. — т. 52. — с. 2013—2020.
31. Excitation function of energy density and partonic degrees of freedom in relativistic heavy ion collisions / H. Weber [и др.] // Nucl. Phys. A / под ред. F. Karsch, M. P. Lombardo. — 1998. — т. 642. — с. 121—129.
32. *Mamaev M., Golosov O., Selyuzhenkov I.* Directed flow of protons with the event plane and scalar product methods in the HADES experiment at SIS18 // J. Phys. Conf. Ser. / под ред. Р. Тетерин. — 2020. — т. 1690, № 1. — с. 012122.
33. *Borghini N., Dinh P. M., Ollitrault J.-Y.* Flow analysis from multiparticle azimuthal correlations // Phys. Rev. C. — 2001. — т. 64. — с. 054901.
34. *Bhalerao R. S., Ollitrault J.-Y.* Eccentricity fluctuations and elliptic flow at RHIC // Phys. Lett. B. — 2006. — т. 641. — с. 260—264.
35. *Adamczewski-Musch J., Mamaev M., et. al.* Directed, Elliptic, and Higher Order Flow Harmonics of Protons, Deuterons, and Tritons in Au+Au Collisions at  $\sqrt{s_{NN}} = 2.4$  GeV // Phys. Rev. Lett. — 2020. — т. 125. — с. 262301.
36. *Mamaev M., Golosov O., Selyuzhenkov I.* Estimating Non-Flow Effects in Measurements of Anisotropic Flow of Protons with the HADES Experiment at GSI // Phys. Part. Nucl. — 2022. — т. 53, № 2. — с. 277—281.
37. *Mamaev M.* Performance Towards Spectator Symmetry Plane Estimation Using Forward Hadron Calorimeter in the BM@N Experiment // Phys. Part. Nucl. Lett. — 2023. — т. 20, № 5. — с. 1205—1208.

38. *Mamaev M., Taranenko A.* Toward the System Size Dependence of Anisotropic Flow in Heavy-Ion Collisions at  $\sqrt{s_{NN}} = 2\text{--}5 \text{ GeV}$  // Particles. — 2023. — т. 6, № 2. — с. 622–637.
39. *Mamaev M.* Baryonic Matter @ Nuclotron: Upgrade and Physics Program Overview // Physics of Atomic Nuclei. — 2024. — т. 87, № 1. — с. 311–318.
40. *Selyuzhenkov I., Voloshin S.* Effects of non-uniform acceptance in anisotropic flow measurement // Phys. Rev. C. — 2008. — т. 77. — с. 034904.
41. *Adamczewski-Musch J., et. al.* Centrality determination of Au + Au collisions at 1.23A GeV with HADES // Eur. Phys. J. A. — 2018. — т. 54, № 5. — с. 85.
42. *Adam J., et. al.* Flow and interferometry results from Au+Au collisions at  $\sqrt{s_{NN}} = 4.5 \text{ GeV}$  // Phys. Rev. C. — 2021. — т. 103, № 3. — с. 034908.

## Список рисунков

1.1 Наклон $F = d\langle p_x/A \rangle/dy _{y=0}$ как функция энергии столкновения для симметричных систем [21]. . . . .	13
1.2 Эллиптический поток как функция энергии столкновения [24]. . . . .	14
1.3 Сравнение данных для наклона бокового потока (слева) и эллиптического потока (справа) как функция энергии с теоретическими расчетами для разных значений коэффициента несжимаемости [1]. . . . .	17
1.4 Схематичное изображение механизмов рождения направленного (bounce-off) эллиптического (squeeze-out) потоков. . . . .	21
1.5 Схематическое представление сталкивающихся ядер в плоскости перпендикулярной направлению пучка. . . . .	26
2.1 Схема эксперимента HADES . . . . .	33
2.2 Фотография мишени для . . . . .	35
2.3 Схематическое изображение трекинговой системы эксперимента HADES. . . . .	39
2.4 Азимутальный акцептанс трекинговой системы эксперимента HADES в зависимости от быстроты частицы. . . . .	40
2.5 Эффективность реконструкции протонов как функция быстроты ( $y$ ) и поперечного импульса ( $p_T$ ) для столкновений Au + Au при энергии $E_{kin}=1.23A$ ГэВ (слева), Ag + Ag при энергии $E_{kin}=1.23A$ ГэВ (в центре) и $E_{kin}=1.58A$ ГэВ (справа). . . . .	41
2.6 Распределение заряженных частиц, зарегистрированных трекинговой системой HADES по относительной скорости $\beta$ и импульсу делённому на заряд $p/q$ . . . . .	42
2.7 Распределение заряженных частиц, зарегистрированных трекинговой системой HADES по квадрату массы $m^2$ и импульсу делённому на заряд $p/q$ : Для всех заряженных частиц (слева), для отобранных протонов (справа). . . . .	43
2.8 Распределение множественности заряженных срабатываний времязролетной системы в столкновениях Au + Au при энергии $E_{kin}=1.23A$ ГэВ и Ag + Ag при $E_{kin}=1.23A$ ГэВ и $E_{kin}=1.58A$ ГэВ. . . . .	44

2.9	Распределение множественности заряженных срабатываний времяпролетной системы в столкновениях $\text{Ag} + \text{Ag}$ при энергии $E_{kin}=1.58\text{A}$ ГэВ. Вертикальными линиями обозначены границы классов центральности. . . . .	45
2.10	Схема расположения модулей переднего гаммоскопа FW. . . . .	46
2.11	Распределение сигнала в модулях сцинтиляционной стенки FW для столкновений $\text{Au} + \text{Au}$ при $E_{kin}=1.23\text{A}$ ГэВ (слева), $\text{Ag} + \text{Ag}$ при $E_{kin}=1.23\text{A}$ ГэВ (посередине) и $E_{kin}=1.58\text{A}$ ГэВ (справа). . . . .	47
2.12	Схема эксперимента BM@N. . . . .	48
2.13	Схематическое изображение трекинговой системы в эксперименте BM@N. Цифрами (1) обозначена мишень, (2) — Barell Detector, (3) — STS, (4) — GEM, (5) — Beam Pipe . . . . .	49
2.14	Азимутальный аксептанс заряженных частиц в зависимости от псевдобыстроты. . . . .	50
2.15	Разрешение трекинговой системы по импульсу в эксперименте BM@N. Различными цветами и маркерами показана различная энергия столкновения. . . . .	51
2.16	Распределение множественности заряженных частиц в эксперименте BM@N. Вертикальными линиями изображены границы классов центральности. . . . .	52
2.17	Распределение заряженных частиц по относительной скорости $\beta = v/c$ и импульсу деленному на заряд $p/q$ . . . . .	53
2.18	Распределение квадрата массы заряженной частицы в зависимости от импульса $p/q$ для TOF-400 (слева) и TOF-700 (справа). Сверху представлены распределения для всех заряженных частиц, снизу — для отобранных протонов. . . . .	54
2.19	Распределение протонов по быстроте $y_{cm}$ и поперечному импульсу $p_T$ , идентифицированных при помощи TOF-400 (слева сверху), TOF-700 (слева снизу), с использованием обоих TOF-детекторов (справа). . . . .	55
2.20	Схема расположения модулей переднего адронного калориметра FHCAL. . . . .	55

3.1	Аксептанс по псевдобыстроте $\eta$ для подсобытий из FW и поперечному импульсу $p_T$ для подсобытий из MDC, использованных для расчета направленного потока протонов в столкновениях ядер золота и серебра. . . . .	57
3.2	Схематическое изображение поправок предложенных в [40]. . . . .	58
3.3	Сравнение компонент корреляции $\langle u_1 Q_1 \rangle$ после применения поправок на азимутальную неоднородность детектора для столкновений Au+Au@1.23A ГэВ (слева), Ag+Ag@1.23A ГэВ (посередине) и Ag+Ag@1.58A ГэВ (справа) . . . . .	59
3.4	Разрешение плоскости симметрии рассчитанное методом случайных подсобытий как функция центральности столкновения. Слева: для столкновений Au + Au при $E_{kin}=1.23A$ ГэВ; посередине: для столкновений Ag + Ag при $E_{kin}=1.23A$ ГэВ; справа: для столкновений Ag + Ag при $E_{kin}=1.58A$ ГэВ; . . . . .	59
3.5	Сравнение разрешений плоскости симметрии $W1$ полученное с использованием различных комбинаций $Q_1$ -векторов для Au+Au@1.23A ГэВ (слева), Ag+Ag@1.23A ГэВ (посередине) и Ag+Ag@1.58A ГэВ (справа) . . . . .	60
3.6	Слева: Схема разделения модулей переднего адронного калориметра по группам для определения плоскости симметрии события. Справа: Кинематические окна для подсчета $Q_1$ -векторов из треков заряженных частиц. . . . .	61
4.1	Направленный поток протонов $v_1$ рожденных в столкновении Au+Au при энергии $E_{kin} = 1.23A$ ГэВ как функция центральности столкновения, измеренный при помощи различных комбинаций $Q_1$ -векторов. Слева представлены значения $v_1$ протонов измеренный относительно внутреннего подсобытия W1, справа — внешнего подсобытия W3 и подсобытия из треков заряженных частиц Mf. Черной линией представлено среднее результатов полученных при помощи разделенных по быстроте комбинаций. . . . .	64

- 4.2 Направленный поток протонов  $v_1$ , рожденных в столкновении Au+Au при энергии  $E_{kin} = 1.23A$  ГэВ как функция центральности столкновения. Результаты показаны для методов скалярного произведения (SP) и плоскости события (EP). . . . . 65
- 4.3 Направленный поток  $v_1$  протонов, рожденных в столкновении Au+Au при энергии  $E_{kin} = 1.23A$  ГэВ (слева), Ag + Ag при энергии  $E_{kin} = 1.23A$  ГэВ (посередине) и Ag + Ag при энергии  $E_{kin} = 1.58A$  ГэВ (справа) как функция центральности столкновения. Результаты показаны для методов трех подсобытий и метода случайных подсобытий. . . . . 67
- 4.4 Направленный поток ( $v_1$ ) протонов, дейtronов и тритонов рожденных в столкновении Au+Au при энергии  $E_{kin} = 1.23A$  ГэВ как функция быстроты (справа) и поперечного импульса (слева). 68
- 4.5 Направленный поток ( $v_1$ ) протонов рожденных в столкновении Au+Au при энергии  $E_{kin} = 1.23A$  ГэВ как функция быстроты (справа) и поперечного импульса (слева). Сравнение полученных результатов с опубликованными данными [35]. . . . . 69
- 4.6 Направленный поток протонов  $v_1$  как функция (слева) быстроты системы центра масс  $y_{cm}$  и (справа) поперечного импульса  $p_T$  для столкновений Au+Au при энергии  $E_{kin} = 1.23A$  ГэВ и Ag+Ag при энергиях  $E_{kin} = 1.23A$  и  $1.58A$  ГэВ. Линиями показаны данные, полученные из модели JAM с импульсно-зависимым потенциалом. . . . . 70
- 4.7 Направленный поток протонов  $v_1$  как функция быстроты столкновения  $y_{cm}$  (слева) и быстроты, нормированной на быстроту пучка  $y' = y_{cm}/y_{beam}$  (справа) из модели JAM. . . . . 71

- 4.8 (Слева) Наклон направленного потока в нуле быстроты  $dv_1/dy|_{y_{cm}=0}$  как функция центральности столкновений; (посередине) наклон направленного потока в нуле быстроты нормированный на быстроту пучка  $dv_1/dy|_{y'=0}$  как функция центральности столкновений; (справа) наклон направленного потока в нуле быстроты нормированный на быстроту пучка  $dv_1/dy|_{y'=0}$  как функция среднего прицельного параметра в классах центральности для столкновений Au+Au при энергии  $E_{kin} = 1.23A$  ГэВ и Ag+Ag при энергиях  $E_{kin} = 1.23A$  и  $1.58A$  ГэВ. . . . . 72
- 4.9 Направленный поток протонов  $v_1$  как функция поперечного импульса  $p_T$ . Слева: направленный поток  $v_1$ , справа: направленный поток, нормированный на наклон в средних быстротах  $v_1/dv_1/dy|_{y=0}$ . . . . . 73
- 4.10 Направленный поток протонов  $v_1$  как функция поперечного импульса  $p_T$  в модели JAM для различных сталкиваемых систем. Слева: направленный поток  $v_1$ , справа: направленный поток, нормированный на наклон в средних быстротах  $v_1/dv_1/dy|_{y=0}$ . . . . . 74
- 4.11 Направленный поток протонов  $dv_1/dy|_{y_{cm}=0}$  как функция энергии столкновения  $\sqrt{s_{NN}}$ . Экспериментальные значения наклона направленного потока были взяты из следующих публикаций: E895 [10], FOPI [20], STAR [42]. . . . . 75
- 4.12 Сравнение направленного потока  $v_1$  протонов рожденных в Монте-Карло моделировании столкновений Xe+Cs в эксперименте BM@N. Направленный поток получен с использованием различных компонент  $u_1$ -вектора. Разными маркерами обозначены результаты до и после коррекции на азимутальную неоднородность аксептанса детектора. . . . . 76
- 4.13 Разрешение плоскостей симметрии слева:  $F1$ , посередине:  $F2$ , справа:  $F3$ . Различные маркеры и цвета обозначают комбинации  $Q_1$ -векторов, использованных для расчета разрешения плоскости симметрии. . . . . 77

4.14 Направленный (слева) и эллиптический (справа) поток протонов как функция быстроты и поперечного импульса соответственно в Монте-Карло моделировании столкновений  $Xe + Cs$  из модели JAM. Разными цветами обозначена разная энергия столкновений. Линии обозначают  $v_1$  и  $v_2$  извлеченные напрямую из модели без реконструкции. Маркерами обозначены результаты анализа Монте-Карло моделирования отклика детектора.

**Список таблиц**